#### **Thèse**

# Contribution à l'étude de l'influence de la rugosité et des effets non-Newtoniens dans les contacts sévères lubrifiés

Présentée devant L'Institut National des Sciences Appliquées de Lyon

## Pour obtenir **Le grade de DOCTEUR**

Spécialité:

**GENIE MECANIQUE** 

Formation doctorale : **GENIE MECANIQUE** 

École doctorale : Mécanique, Energétique, Génie Civil, Acoustique MEGA

### Par **KANE Malal**

Soutenue le 10 mars 2003 devant la Commission d'examen

#### Jury MM.

BOU-SAÏD Benyebka thèse	Maître de conférences	HDR	INSA de Lyon	Directeur de
DALMAZ Gérard	Professeur	INS	A de Lyon	Président de Jury
FLAMAND Louis	Professeur	INS	A de Lyon	•
JAÏ Mohamed	Maître de conférences	INS	A de Lyon	
NAJJI Brahim	Professeur	EN	IM de Rabat	Rapporteur
VILLECHAISE Bernard	Professeur	IJТ	Γ d'Angoulème	e Rapporteur

#### INSA DE LYON

DEPARTEMENT DES ETUDES DOCTORALES ET RELATIONS INTERNATIONALES SCIENTIFIQUES

MARS 2002

#### Ecoles Doctorales et Diplômes d'Etudes Approfondies

#### habilités pour la période 1999-2003

ECOLES DOCTORALES n° code national	RESPONSABLE PRINCIPAL	CORRESPONDANT INSA	DEA INSA n° code national	RESPONSABLE DEA INSA
CHIMIE DE LYON (Chimie, Procédés, Environnement) EDA206	M. D. SINOU UCBL1 04.72.44.62.63 Sec 04.72.44.62.64 Fax 04.72.44.81.60	M. R. GOURDON 87.53 Sec 84.30 Fax 87.17	Chimie Inorganique 910643 Sciences et Stratégies Analytiques 910634 Sciences et Techniques du Déchet 910675	M. R. GOURDON Tél 87.53 Fax 87.17
ECONOMIE, ESPACE ET  MODELISATION DES  COMPORTEMENTS  (E <sup>2</sup> MC)  EDA417	M.A. BONNAFOUS LYON 2 04.72.72.64.38 Sec 04.72.72.64.03 Fax 04.72.72.64.48	Mme M. ZIMMERMANN 84.71 Fax 87.96	Villes et Sociétés 911218 Dimensions Cognitives et Modélisation 992678	Mme M. ZIMMERMANN Tél 84.71 Fax 87.96 M. L. FRECON Tél 82.39 Fax 85.18
ELECTRONIOUE, ELECTROTECHNIQUE, AUTOMATIQUE (E.E.A.) EDA160	M. G. GIMENEZ INSA DE LYON 83.32 Fax 85.26		Automatique Industrielle 910676 Dispositifs de l'Electronique Intégrée 910696 Génie Electrique de Lyon 910065 Images et Systèmes 992254	M. M. BETEMPS Tél 85.59 Fax 85.35 M. D. BARBIER Tél 85.47 Fax 60.81 M. J.P. CHANTE Tél 87.26 Fax 85.30 Mme I. MAGNIN Tél 85.63 Fax 85.26
EVOLUTION, ECOSYSTEME, MICROBIOLOGIE, MODELISATION (E2M2) EDA403	M. J.P FLANDROIS UCBL1 04.78.86.31.50 Sec 04.78.86.31.52 Fax 04.78.86.31.49	M. S. GRENIER 79.88 Fax 85.34	Analyse et Modélisation des Systèmes Biologiques 910509	M. S. GRENIER Tél 79.88 Fax 85.34
INFORMATIQUE ET INFORMATION POUR LA SOCIETE (EDIIS) EDA 407	M. J.M. JOLION INSA DE LYON 87.59 Fax 80.97		Documents Multimédia, Images et Systèmes d'Information Communicants 992774 Extraction des Connaissances à partir des Données 992099 Informatique et Systèmes Coopératifs pour l'Entreprise 950131	M. A. FLORY Tél 84.66 Fax 85.97 M. J.F. BOULICAUT Tél 89.05 Fax 87.13 M. A. GUINET Tél 85.94 Fax 85.38
INTERDISCIPLINAIRE SCIENCES-SANTE (EDISS) EDA205	M. A.J. COZZONE UCBL1 04.72.72.26.72 Sec 04.72.72.26.75 Fax 04.72.72.26.01	M. M. LAGARDE 82.40 Fax 85.24	Biochimie <b>930032</b>	M. M. LAGARDE Tél 82.40 Fax 85.24
MATERIAUX DE LYON UNIVERSITE LYON 1 EDA 034	M. J. JOSEPH ECL 04.72.18.62.44 Sec 04.72.18.62.51 Fax 04.72.18.60.90	M. J.M. PELLETIER 83.18 Fax 84.29	Génie des Matériaux : Microstructure, Comportement Mécanique, Durabilité 910527 Matériaux Polymères et Composites 910607 Matière Condensée, Surfaces et Interfaces 910577	M. J.M.PELLETIER Tél 83.18 Fax 85.28 M. H. SAUTEREAU Tél 81.78 Fax 85.27 M. G. GUILLOT Tél 81.61 Fax 85.31
MATHEMATIQUES ET INFORMATIQUE FONDAMENTALE	M. NICOLAS UCBL1 04.72.44.83.11	M. J. POUSIN 88.36 Fax 85.29	Analyse Numérique, Equations aux dérivées partielles et Calcul Scientifique	M. G. BAYADA Tél 83.12 Fax 85.29

(Math IF) EDA 409	Fax 04.72.43.00.35		910281	
MECANIQUE, ENERGETIQUE, GENIE CIVIL, ACOUSTIQUE (MEGA) EDA162	M. J. BATAILLE ECL 04.72.18.61.56 Sec 04.72.18.61.60 Fax 04.78.64.71.45	M. G.DALMAZ 83.03 Fax 04.72.89.09.80	Acoustique 910016 Génie Civil 992610 Génie Mécanique 992111 Thermique et Energétique 910018	M. J.L. GUYADER Tél 80.80 Fax 87.12 M. J.J.ROUX Tél 84.60 Fax 85.22 M. G. DALMAZ Tél 83.03 Fax 04.78.89.09.80 M. J. F. SACADURA Tél 81.53 Fax 88.11

En grisé : Les Ecoles doctorales et DEA dont l'INSA est établissement principal

#### **OCTOBRE 2002**

#### INSTITUT NATIONAL DES SCIENCES APPLIQUEES DE LYON

Directeur: STORCK A.

Professeurs:

AUDISIO S. PHYSICOCHIMIE INDUSTRIELLE

BABOT D. CONT. NON DESTR. PAR RAYONNEMENT IONISANTS

BABOUX J.C. GEMPPM\*\*\*

**BALLAND B.** PHYSIQUE DE LA MATIERE

BAPTISTE P. PRODUCTIQUE ET INFORMATIQUE DES SYSTEMES MANUFACTURIERS

**BARBIER D.** PHYSIQUE DE LA MATIERE

BASTIDE J.P. LAEPSI\*\*\*

BAYADA G. MATHEMATIQUE APPLIQUEES DE LYON

BENADDA B. DEPT GEN

BETEMPS M. AUTOMATIQUE INDUSTRIELLE

BIENNIER F. PRODUCTIQUE ET INFORMATIQUE DES SYSTEMES MANUFACTURIERS

BLANCHARD J.M. LAEPSI\*\*\*\*

BOISSON C. VIBRATIONS-ACOUSTIQUE BOIVIN M. (Prof. émérite) MECANIQUE DES SOLIDES

BOTTA H. UNITE DE RECHERCHE EN GENIE CIVIL - Développement Urbain BOTTA-ZIMMERMANN M. (Mme) UNITE DE RECHERCHE EN GENIE CIVIL - Développement Urbain

BOULAYE G. (Prof. émérite) INFORMATIQUE

BOYER J.C. MECANIQUE DES SOLIDES

BRAU J. CENTRE DE THERMIQUE DE LYON - Thermique du bâtiment

**BREMOND G.** PHYSIQUE DE LA MATIERE

BRISSAUD M. GENIE ELECTRIQUE ET FERROELECTRICITE

**BRUNET M.** MECANIQUE DES SOLIDES

BRUNIE L. INGENIERIE DES SYSTEMES D'INFORMATION

BUREAU J.C. CEGELY\*
CAVAILLE J.Y. GEMPPM\*\*\*

CHANTE J.P. CEGELY\*- Composants de puissance et applications

CHOCAT B. UNITE DE RECHERCHE EN GENIE CIVIL - Hydrologie urbaine

COMBESCURE A. MECANIQUE DES CONTACTS

COUSIN M. UNITE DE RECHERCHE EN GENIE CIVIL - Structures

**DAUMAS F.** (Mme) CENTRE DE THERMIQUE DE LYON - Energétique et Thermique

**DOUTHEAU A.** CHIMIE ORGANIQUE

**DUFOUR R.**MECANIQUE DES STRUCTURES**DUPUY J.C.**PHYSIQUE DE LA MATIERE

EMPTOZ H. RECONNAISSANCE DES FORMES ET VISION ESNOUF C. GEMPPM\*\*\*

EYRAUD L. (Prof. émérite) GENIE ELECTRIQUE ET FERROELECTRICITE

FANTOZZI G. GEMPPM\*\*\*

FAVREL J. PRODUCTIQUE ET INFORMATIQUE DES SYSTEMES MANUFACTURIERS

**FAYARD J.M.** BIOLOGIE FONCTIONNELLE, INSECTES ET INTERACTIONS

FAYET M. MECANIQUE DES SOLIDES
FERRARIS-BESSO G. MECANIQUE DES STRUCTURES
FLAMAND L. MECANIQUE DES CONTACTS

FLORY A. INGENIERIE DES SYSTEMES D'INFORMATION

FOUGERES R. GEMPPM\*\*\*
FOUQUET F. GEMPPM\*\*\*

FRECON L. REGROUPEMENT DES ENSEIGNANTS CHERCHEURS ISOLES

**GERARD J.F.** INGENIERIE DES MATERIAUX POLYMERES

GERMAIN P.

GIMENEZ G.

GOBIN P.F. (Prof. émérite)

LAEPSI\*\*\*

CREATIS\*\*

GEMPPM\*\*\*

GONNARD P. GENIE ELECTRIQUE ET FERROELECTRICITE

GONTRAND M. PHYSIQUE DE LA MATIERE

GOUTTE R. (Prof. émérite)
GOUJON L.
GOURDON R.

CREATIS\*\*
GEMPPM\*\*\*
LAEPSI\*\*\*\*.

GRANGE G. GENIE ELECTRIQUE ET FERROELECTRICITE

GUENIN G. GEMPPM\*\*\*

**GUICHARDANT M.**BIOCHIMIE ET PHARMACOLOGIE **GUILLOT G.**PHYSIQUE DE LA MATIERE

GUINET A. PRODUCTIQUE ET INFORMATIQUE DES SYSTEMES MANUFACTURIERS

GUYADER J.L. VIBRATIONS-ACOUSTIQUE

GUYOMAR D. GENIE ELECTRIQUE ET FERROELECTRICITE
HEIBIG A. MATHEMATIQUE APPLIQUEES LYON
JACQUET RICHARDET G. MECANIQUE DES STRUCTURES

JAYET Y. GEMPPM\*\*

JOLION J.M. RECONNAISSANCE DES FORMES ET VISION JULLIEN J.F. UNITE DE RECHERCHE EN GENIE CIVIL - Structures

JUTARD A. (Prof. émérite) AUTOMATIQUE INDUSTRIELLE

**KASTNER R.**UNITE DE RECHERCHE EN GENIE CIVIL - Géotechnique **KOULOUMDJIAN J.**INGENIERIE DES SYSTEMES D'INFORMATION

LAGARDE M.
BIOCHIMIE ET PHARMACOLOGIE

LALANNE M. (Prof. émérite)
MECANIQUE DES STRUCTURES

LALLEMAND A.
CENTRE DE THERMIQUE DE LYON - Energétique et thermique

LALLEMAND M. (Mme)
CENTRE DE THERMIQUE DE LYON - Energétique et thermique

LAREAL P.
UNITE DE RECHERCHE EN GENIE CIVIL - Géotechnique

LAUGIER A.PHYSIQUE DE LA MATIERELAUGIER C.BIOCHIMIE ET PHARMACOLOGIELEJEUNE P.UNITE MICROBIOLOGIE ET GENETIQUE

LUBRECHT A. MECANIQUE DES CONTACTS

MASSARD N. INTERACTION COLLABORATIVE TELEFORMATION TELEACTIVITE

MAZILLE H. PHYSICOCHIMIE INDUSTRIELLE

 MERLE P.
 GEMPPM\*\*\*

 MERLIN J.
 GEMPPM\*\*\*

MIGNOTTE A. (Mle) INGENIERIE, INFORMATIQUE INDUSTRIELLE

MILLET J.P. PHYSICOCHIMIE INDUSTRIELLE

MIRAMOND M. UNITE DE RECHERCHE EN GENIE CIVIL - Hydrologie urbaine

MOREL R. MECANIQUE DES FLUIDES ET D'ACOUSTIQUES

MOSZKOWICZ P. LAEPSI\*\*\*\*
MOURA A. GEMPPM\*\*\*

NARDON P. (Prof. émérite) BIOLOGIE FONCTIONNELLE, INSECTES ET INTERACTIONS

NIEL E. AUTOMATIQUE INDUSTRIELLE

NORTIER P. DREP
ODET C. CREATIS\*\*
OTTERBEIN M. (Prof. émérite) LAEPSI\*\*\*\*

PARIZET E. VIBRATIONS-ACOUSTIQUE

PASCAULT J.P. INGENIERIE DES MATERIAUX POLYMERES

PAVIC G. VIBRATIONS-ACOUSTIQUE

PELLETIER J.M. GEMPPM\*\*\*

**PERA J.**UNITE DE RECHERCHE EN GENIE CIVIL – Matériaux

PERRIAT P. GEMPPM\*\*\*

PERRIN J. INTERACTION COLLABORATIVE TELEFORMATION TELEACTIVITE

**PINARD P.** (Prof. émérite) PHYSIQUE DE LA MATIERE

PINON J.M. INGENIERIE DES SYSTEMES D'INFORMATION

PONCET A. PHYSIQUE DE LA MATIERE

POUSIN J.MODELISATION MATHEMATIQUE ET CALCUL SCIENTIFIQUEPREVOT P.INTERACTION COLLABORATIVE TELEFORMATION TELEACTIVITE

PROST R. CREATIS\*\*

RAYNAUD M. CENTRE DE THERMIQUE DE LYON - Transferts Interfaces et Matériaux

REDARCE H. AUTOMATIQUE INDUSTRIELLE

**REYNOUARD J.M.** UNITE DE RECHERCHE EN GENIE CIVIL - Structures

RIGAL J.F. MECANIQUE DES SOLIDES RIEUTORD E. (Prof. émérite) MECANIQUE DES FLUIDES

ROBERT-BAUDOUY J. (Mme) (Prof. émérite) GENETIQUE MOLECULAIRE DES MICROORGANISMES

ROUBY D. GEMPPM\*\*\*

ROUX J.J. CENTRE DE THERMIQUE DE LYON – Thermique de l'Habitat

RUBEL P. INGENIERIE DES SYSTEMES D'INFORMATION

RUMELHART C. MECANIQUE DES SOLIDES

SACADURA J.F. CENTRE DE THERMIQUE DE LYON - Transferts Interfaces et Matériaux

SAUTEREAU H. INGENIERIE DES MATERIAUX POLYMERES

SCAVARDA S. AUTOMATIQUE INDUSTRIELLE SOUIFI A. PHYSIQUE DE LA MATIERE

SOUROUILLE J.L. INGENIERIE INFORMATIQUE INDUSTRIELLE

THOMASSET D. AUTOMATIQUE INDUSTRIELLE

**UBEDA S.** CENTRE D'INNOV. EN TELECOM ET INTEGRATION DE SERVICES

THUDEROZ C. ESCHIL – Equipe Sciences Humaines de l'Insa de Lyon

UNTERREINER R. CREATIS\*\*

VELEX P. MECANIQUE DES CONTACTS

VIGIER G. GEMPPM\*\*\*
VINCENT A. GEMPPM\*\*\*
VRAY D. CREATIS\*\*

**VUILLERMOZ P.L.** (Prof. émérite) PHYSIQUE DE LA MATIERE

Directeurs de recherche C.N.R.S.:

**BERTHIER Y.** MECANIQUE DES CONTACTS

CONDEMINE G.UNITE MICROBIOLOGIE ET GENETIQUECOTTE-PATAT N. (Mme)UNITE MICROBIOLOGIE ET GENETIQUE

FRANCIOSI P. GEMPPM\*\*\*

MANDRAND M.A. (Mme)

POUSIN G.

UNITE MICROBIOLOGIE ET GENETIQUE
BIOLOGIE ET PHARMACOLOGIE

ROCHE A. INGENIERIE DES MATERIAUX POLYMERES

SEGUELA A. GEMPPM\*\*\*

Directeurs de recherche I.N.R.A. :

FEBVAY G. BIOLOGIE FONCTIONNELLE, INSECTES ET INTERACTIONS

#### LISTE DES PROFESSEURS

GRENIER S. BIOLOGIE FONCTIONNELLE, INSECTES ET INTERACTIONS RAHBE Y. BIOLOGIE FONCTIONNELLE, INSECTES ET INTERACTIONS

Directeurs de recherche I.N.S.E.R.M. : PRIGENT A.F. (Mme) BIOLOGIE ET PHARMACOLOGIE

MAGNIN I. (Mme) CREATIS\*\*

CENTRE DE GENIE ELECTRIQUE DE LYON \* CEGELY

\*\* CREATIS CENTRE DE RECHERCHE ET D'APPLICATIONS EN TRAITEMENT DE L'IMAGE ET DU SIGNAL

\*\*\**GEMPPM* 

GROUPE D'ETUDE METALLURGIE PHYSIQUE ET PHYSIQUE DES MATERIAUX LABORATOIRE D'ANALYSE ENVIRONNEMENTALE DES PROCEDES ET SYSTEMES INDUSTRIELS \*\*\*\*LAEPSI

#### REMERCIEMENTS

Je ne saurais présenter ce travail sans exprimer ma profonde gratitude à toutes les personnes qui m'ont permis de le mener à bien.

Je tiens à exprimer ma très vive gratitude à Monsieur BOU-SAÏD, mon directeur de thèse, pour ses conseils tout au long de ce travail et pour la qualité de son encadrement.

Mes remerciements vont aussi à Monsieur JAÏ, Maître de conférences, INSA de Lyon, pour avoir accepté de faire partie du jury et pour toutes les discussions que nous eues sur l'homogénéisation, Monsieur CIUPERCA, Maître de conférences, Université Claude Bernard Lyon1, pour les discussions fructueuses que nous avons eues.

Je tiens à remercier Monsieur NAJJI, Professeur, ENIM de RABAT (Maroc), Monsieur VILLECHAISE, Professeur, d'avoir accepté d'être les rapporteurs de ma thèse et d'avoir bien voulu faire partie du jury.

Mes remerciements vont également à Monsieur DALMAZ, Professeur, Université CLAUDE BERNARD Lyon 1, INSA de Lyon, d'avoir accepté de présider mon jury, Monsieur FLAMAND, Professeur à l'INSA de Lyon, directeur du Laboratoire de Mécanique des Contacts (LMC), de m'avoir accueilli dans son laboratoire et d'avoir accepté de faire partie du jury.

Je tiens à remercier tous les membres du Laboratoire de Mécanique des Contacts pour leur sympathie ainsi que pour l'ambiance chaleureuse qui règne à l'intérieur du laboratoire.

Je tiens à remercier Fanta SENE KANE, ma femme, pour sa patience et sa compréhension pendant toute la durée de ma thèse.

#### **NOMENCLATURE**

#### **SYMBOLES**

x, y, z Coordonnées cartésiennes

r,  $\theta$ , z Coordonnées cylindriques

 $x_1, y_1, z_1$  Coordonnées cartésiennes homogénéisées

 $x_2$ ,  $y_2$ ,  $z_2$  Coordonnées cartésiennes homogénéisées locales

P Pression (Pa)

 $\overline{P} = \frac{Ph^2}{\mu Ub}$  La pression addimentionnée

F Force de frottement (N)

 $\overline{F} = \frac{F}{\mu Ua} \left(\frac{h}{b}\right)$  La force de frottement addimentionnée

Q Débit  $(m^3.s^{-1})$ .

 $\overline{Q} = \frac{Q}{LUh}$  Débit addimentionné

W Charge portante (W)

 $\overline{W} = \frac{W}{\mu U a} \left(\frac{h}{b}\right)^2$  Charge addimentionnée

T Température absolue (K)

h Epaisseur (m)

 $h_0$  Epaisseur sans rugosités (m)

 $h_{\min}$  Epaisseur minimale (m)

$H_1$	Hauteur de la surface inférieure $(m)$
$H_2$	Hauteur de la surface supérieure $(m)$
μ	Viscosité dynamique (Pa.s)
υ	Viscosité cinématique $(m^2/s)$
u, $v$ et $w$	Vitesses du fluide suivant $x$ , $y$ et $z$ $(m)$
$U_1, V_1, W_1$	Vitesses de la surface inférieure suivant les trois directions $(m/s)$
$U_2, V_2, W_2$	Vitesses de la surface supérieure suivant les trois directions $(m/s)$
C	Jeu radial $(m)$
e	Excentricité $(m)$
$\mathcal{E}_r$	Excentricité relative (Sans dimension)
a, b	Longueur et largeur du contact $(m)$
$\delta_{\scriptscriptstyle 1}$ , $\delta_{\scriptscriptstyle 2}$	Amplitudes des rugosités des deux surfaces (m)
$\delta = \delta_1 + \delta_2$	Rugosité combinée $(m)$
$\phi_x$ , $\phi_y$	Facteurs correcteurs au débit de Poiseuille
$\phi_s$	Facteur correcteur au débit de couette
γ	Paramètre directionnelle de la rugosité
$\sigma$	Variance
$W_1$ , $W_2$ , $W_3$ ,	$\chi$ Solutions des problèmes locaux
$\mathcal{E}$	Variable introduite pour l'homogénéisation
R	Rayon de l'arbre $(m)$
$n_r$	Nombre de rugosité
$\alpha$	Amplitude des rugosités $(m)$
a, b, c, m, n,	Constantes dépendant du lubrifiant
VI	Indice de viscosité

$ au_{ij}$	Contraintes de cisaillement $(Pa)$
$ au_e$	Contrainte équivalente de Von Mises $(Pa)$
$ au_r$	Contrainte de référence (Pa)
$ au_L$	Contrainte limite $(Pa)$
$\dot{\gamma}_{ij}$	Taux des vitesses de déformations $(s^{-1})$
$\dot{{\gamma}}^{v}_{ij}$	Taux des vitesses de déformations visqueuses $(s^{-1})$
$\dot{\gamma}^e_{ij}$	Taux des vitesses de déformations élastiques $(s^{-1})$
G	Module de cisaillement du fluide.
A	Paramètre de comportement rhéologique
$I_m, I_{m2}, J_m, J$	Coefficients intervenant dans l'expression des vitesses du fluide
$K_{mx}, K_{mx2}, K_{mx2}$	$K_{my}$ Coefficients intervenant dans l'expression des vitesses du fluide de l'équation de Reynolds non newtonien
$L_{mx}, L_{my}, G_m,$	$F_m$ Coefficients intervenant dans l'expression des vitesses du fluide
	de l'équation de Reynolds non newtonien

#### **INDICES**

0,1,2... L'ordre de développement de la formule de Taylor intervenant dans l'homogénéisation.

#### TABLE DES MATIERES

REM	IERCIEMENTS	7
NON	MENCLATURE	8
TAB	LE DES MATIERES	12
TAB	LE DES ILLUSTRATIONS	16
TAB	LE DES TABLEAUX	17
INTI	RODUCTION GENERALE	19
CHA	APITRE 1: ETUDE BIBLIOGRAPHIQUE	23
I	introduction	23
II	Lubrification hydrodynamique	26
III	Géométrie locale	29
F	Rugosité de surface	29
IV	Prise en compte de la rugosité :	29
A	Analyse stochastique	30
A	Analyse déterministe	33
A	Analyse « homogénéisation »	34
V	Conclusion	35
CHA	APITRE 2 : HOMOGENEISATION DE L'EQUATION DE REYNOLDS	
NEV	VTONIEN	36
I	Introduction	36
II	Equations de base	37
III	Homogénéisation de l'équation de Reynolds newtonien	39
IV	Résolution des problèmes locaux et du problème homogénéisé	43
V	Géométrie du contact	44
E	Epaisseur globale sans rugosités	44
F	Forme des rugosités considérées	45

VI	Comparaison entre la méthode homogénéisée et la méthode directe	46
VII	Deux dimensions	47
Va	ariation du nombre de rugosités $(n_r)$	47
Va	ariation de l'amplitude des rugosités ( $\alpha$ )	50
VIII	Trois dimensions	52
	Rugosités anisotropes	52
Va	ariation du nombre de rugosités $(n_r)$	52
Va	ariation de l'amplitude des rugosités (α)	54
	Rugosités quelconques	57
Va	ariation du nombre de rugosités $(n_r)$	57
Va	ariation de l'amplitude des rugosités ( \alpha )	59
Va	ariation du nombre de rugosités $(n_r)$	61
Va	ariation de l'amplitude des rugosités ( \alpha )	63
IX	Synthèse des différents resulats	
X	Conclusion	65
	PITRE 3 : EQUATION DE REYNOLDS NON-NEWTONIEN	
I	introduction	66
II	Fluides non-newtoniens:	67
Ch	nronologie des travaux dans ce domaine	69
Le	es lois définies explicites :	69
Le	s lois définies implicites :	70
III	Rhéologie:	71
Mo	odèle Newtonien :	71
Mo	odèle visqueux non linéaire :	72
Mo	odèle viscoélastique linéaire :	73
Mo	odèle viscoélastique non linéaire:	74
IV	Equation généralisée de la mécanique des films minces non-newtonien :	: 75
Eq	uations d'équilibre :	75
Eq	uation de comportement :	76
Eq	uation de continuité	77
	Résolution de l'équation de Reynolds non-newtonien	
Eq	uation de Reynolds non-Newtonien pour un palier:	80

R	ésolution de l'équation de Reynolds Modifiée :	81
VI	Résultats :	82
M	Iodèle Newtonien :	83
V	ariation de l'amplitude des rugosités ( $\alpha$ )	83
M	Iodèle visqueux non linéaire :	84
	Modèle viscoélastique de type Ree-Eyring	85
V	ariation de la contrainte de référence $(\tau_r)$	85
V	fariation du nombre de rugosités $(n_r)$	88
V	ariation de l'amplitude des rugosités ( $\alpha$ )	90
	Modèle viscoplastique de type Winer	91
V	ariation de la contrainte limite ( $\tau_L$ )	92
V	ariation du nombre de rugosités $(n_r)$	93
V	ariation de l'amplitude des rugosités $(\alpha)$	94
VII	Conclusion	96
CHA	PITRE 4: HOMOGENEISATION DE L'EQUATION DE REYNOLI	DS POUR
UN F	LUIDE NON-NEWTONIEN	97
I	Introduction	97
II	Homogénéisation de l'équation de Reynolds « non-newtonien »	98
III	Résolution des problèmes locaux et du problème homogénéisé	101
IV	Paramètres et résultats	103
L	es caractéristiques étudiés	103
T	ypes de rugosités étudiés	104
L	es lois étudiées	104
R	ésultats : Modèle newtonien	106
	Charge supportée par le contact	106
	Maximum de pression	107
R	ésultats : Modèle viscoélastique de type Ree-Eyring	108
	Charge supportée par le contact	108
	Débit axial	113
	Force de frottement	118
	Maximum de pression	123
V	Conclusion	128

CON	ICLUSION GENERALE ET PERSPECTIVES	129
REF	ERENCES BIBLIOGRAPHIQUES	131
ANN	NEXE 1: EXPRESSIONS DE $\dfrac{d au_{ij}}{dt}$ [42]	137
I	Dérivée de JAUMAN	137
II	Dérivée d'OLDROYD	138
III	Dérivée intrinsèque	138
ANN	IEXE 2 : ETABLISSEMENT DE L'EQUATION DE REYNOLDS NON	
NEW	/TONIEN [42]	139
ANN	IEXE 3 : EXPRESSION DES COEFFICIENTS HOMOGENEISES DE	
L'EQ	QUATION DE REYNOLDS NON-NEWTONIEN	143
ANN	IEXE 4 : LES RESULTATS DU MODELE VISCOPLASTIQUE	149
I	Charge supportée par le contact	150
II	Débit axial	153
III	Force de frottement	155
IV	Maximum De Pression	157
V	Analyse et conclusion	159

#### TABLE DES ILLUSTRATIONS

Figure 2 : Section droite d'un palier	
1 Said 2 : Seed on arotte a un paner	
Figure 4 : Epaisseur du film local	1
Figure 5 : Système d'axes	7
Figure 6 : Algorithme de résolution de la pression homogénéisée	3
Figure 7 : Epaisseur du film d'huile sans rugosités.	5
Figure 8 : Variation de la viscosité avec la température pour une huile minérale [31] 6	7
Figure 9 : Définition de l'indice de viscosité.	9
Figure 10 : Système d'axes	1
Figure 11 : Système d'axes.	5
Figure 12 : Equilibre d'un élément infiniment petit	6
Figure 13 : Palier et son développé.	0
Figure 14 : Algorithme de résolution de l'équation de Reynolds Modifiée82	2
Figure 15 : Système d'axes	

#### TABLE DES TABLEAUX

Tableau 1 : les trois formes de rugosités à étudier	45
Tableau 2 : Variation du nombre de rugosité en deux dimensions avec les trois formes	48
Tableau 3 : Variation de l'amplitude des rugosités en deux dimensions avec les trois formes	s <b>5</b> 1
Tableau 4 : rugosité anisotrope, variation du nombre de rugosités	. 54
Tableau 5 : rugosité anisotrope, variation de l'amplitude des rugosités	.56
Tableau 6 : rugosité quelconque, variation du nombre de rugosités	. 58
Tableau 7 : rugosité quelconque, variation de l'amplitude des rugosités.	60
Tableau 8 : rugosité transversale, variation du nombre de rugosités.	62
Tableau 9 : rugosité transversale, variation de l'amplitude des rugosités	64
Tableau 10 : Les types de rugosités étudiés	. 83
Tableau 11 : Modèle Newtonien avec variation de l'amplitude des rugosités	84
Tableau 12 : Modèle Viscoélastique de type Ree-Eyring avec variation de la Contrainte de	
référence	87
Tableau 13 : Tableau 14 : Modèle Viscoélastique de type Ree-Eyring avec variation du	
nombre des rugosités.	89
Tableau 15 : Modèle Viscoélastique de type Ree-Eyring avec variation de l'amplitude des	
rugosités.	91
Tableau 16 : Modèle viscoplastique de type Winer avec variation de la contrainte limite	.93
Tableau 17 : Modèle viscoplastique de type Winer avec variation du nombre des rugosités	94
Tableau 18 : Modèle viscoplastique de type Winer avec variation de l'ampitude des	
rugosités.	95
Tableau 19 : formes de rugosités étudiées	104
Tableau 20 : Variation de la charge dans le modèle Newtonien	106
Tableau 21 : Variation de la pression dans le modèle Newtonien	107
Tableau 22 : Variation de la Charge dans le modèle viscoélastique, Orientation 1 1	08
Tableau 23 : Variation de la Charge dans le modèle viscoélastique, Orientation 2 1	09

#### TABLE DES TABLEAUX

Tableau 24 : Variation de la Charge dans le modèle viscoélastique, Orientation 3 110
Tableau 25 : Variation de la Charge dans le modèle viscoélastique, Orientation 4 111
Tableau 26 : Variation de la Charge dans le modèle viscoélastique, Orientation 5 112
Tableau 27 : Variation du débit axial dans le modèle viscoélastique, Orientation 1
Tableau 28 : Variation du débit axial dans le modèle viscoélastique, Orientation 2 114
Tableau 29 : Variation du débit axial dans le modèle viscoélastique, Orientation 3 115
Tableau 30 : Variation du débit axial dans le modèle viscoélastique, Orientation 4 116
Tableau 31 : Variation du débit axial dans le modèle viscoélastique, Orientation 5 117
Tableau 32 : Variation de la force dans le modèle viscoélastique, Orientation 1 118
Tableau 33 : Variation de la force dans le modèle viscoélastique, Orientation 2119
Tableau 34 : Variation de la force dans le modèle viscoélastique, Orientation 3
Tableau 35 : Variation de la force dans le modèle viscoélastique, Orientation 4 121
Tableau 36 : Variation de la force dans le modèle viscoélastique, Orientation 5 122
Tableau 37 : Variation de la pression dans le modèle viscoélastique, Orientation 1
Tableau 38 : Variation de la pression dans le modèle viscoélastique, Orientation 2 124
Tableau 39 : Variation de la pression dans le modèle viscoélastique, Orientation 3 125
Tableau 40 : Variation de la pression dans le modèle viscoélastique, Orientation 4 126
Tableau 41 : Variation de la pression dans le modèle viscoélastique, Orientation 5 127
Tableau 42 : Orientations étudiées
Tableau 43 : Variation de la charge, modèle viscoplastique
Tableau 44 : Variation du débit, modèle viscoplastique
Tableau 45 : Variation de la force de frottement, modèle viscoplastique
Tableau 46 : Variation de la pression, modèle viscoplastique

#### INTRODUCTION GENERALE

Un système mécanique est un ensemble de pièces liées entre elles et en mouvement les unes par rapport aux autres. Ces pièces frottent les unes contre les autres et on lubrifie généralement le contact pour ainsi éviter une usure trop rapide de ces pièces.

La surface des ces pièces n'est pas lisse, car portant les traces de mouvement de la machine outils qui les a usinées. L'étude de l'influence de ces rugosités présentes sur la surface des pièces en même temps que la lubrification du contact peut contribuer à l'amélioration des performances et la durée de vie des mécanismes . Il est utile de préciser que l'existence des défauts de forme sur ces surfaces n'est pas toujours nuisible et même que certains mécanismes tels que les joints d'étanchéité, ne fonctionneraient pas sans leurs présences. Il n'en reste pas moins que leur présence modifie considérablement le comportement des machines.

Depuis très longtemps, ayant compris l'importance de la lubrification des machines sur leurs performances, on a cherché à améliorer les huiles qui servent de corps séparateur entre les surfaces frottantes pour augmenter ces performances. Les changements intervenus dans la composition de ces huiles lubrifiantes a modifié la réponse de ces dernières dans certaines conditions de fonctionnement et ainsi a changé les caractéristiques de fonctionnement des mécanismes.

Par ailleurs s'étant rendu compte que la performance et la durée de vie des pièces dépendaient largement de la qualité de leur usinage, donc de la rugosité des surfaces, des études furent entreprises pour mieux comprendre afin de maîtriser l'influence de ce paramètre rugosité des surfaces sur les systèmes mécaniques.

Ainsi la détermination des performances d'un contact lubrifié dépend entre autres, d'une caractérisation rigoureuse des surfaces en présence et d'une représentation aussi fidèle et complète que possible du lubrifiant soumis aux sollicitations internes et externes . Lorsque les conditions de fonctionnement sont dites 'sévères' il est impératif de caractériser et de modéliser le plus correctement possible ces deux aspects. Des modèles ont été mis en place

pour prévoir le comportement des contacts lubrifiés. Ainsi, l'élaboration de la théorie de la lubrification par film mince apparaît en 1886 avec le modèle mathématique établi par Reynolds connu sous le nom « d'équation de Reynolds » . Cette équation qui peut s'écrire sous différentes formes, est le plus souvent une équation non linéaire aux dérivées partielles. La plus part des techniques numériques existantes ont été utilisées pour la résoudre.

La résolution de cette équation permet d'accéder à la distribution du champ de pression dans un contact lubrifié et ainsi à ses caractéristiques de fonctionnement (capacité de charge, débit, force de frottement,...). Une des principales hypothèses émises par Reynolds est que le lubrifiant possède un comportement newtonien, c'est à dire que la contrainte de cisaillement est proportionnelle au gradient de vitesse dans l'épaisseur du film. A partir des années 1960 des étapes décisives ont pu être franchies dans le domaine de la lubrification hydrodynamique, lorsque l'ordinateur est venu ajouter aux connaissances physiques sa puissance de calcul, et ainsi permettre d'élaborer des modèles numériques capables de représenter très ' finement ' des comportements complexes des films d'huile dans les contacts tels que les paliers et les butées.

En effet compte tenu des sollicitations très sévères du fluide lors de certaines situations telles que le démarrage du système mécanique (roulements, engrenages, cames, ...) et de l'apparition sur le marché de divers produits lubrifiants de composition complexe (graisse, bitume, ...), la réponse du lubrifiant ne peut plus être modélisée par une loi de type visqueux linéaire. L'équation de Reynolds classique n'est plus adaptée dans ce cadre. Ainsi de nouvelles équations, prenant en compte toute la complexité de la réponse du fluide, on été mises en place et nommées généralement : équation de Reynolds Modifiée non-Newtonienne. Parmi ces équations nous avons retenu celle proposée par Najji et al [46] équation qui nous a parue très générale et très adaptée à notre étude et que nous développerons plus loin dans ce mémoire.

Cette équation est une équation aux dérivée partielles du second ordre de type elliptique qui n'admet pas de solutions analytiques. Des méthodes numériques ont été mises en place pour sa résolution et qui prennent en compte les phénomènes intervenant dans un contact lubrifié présentés plus haut.

Notre contribution par cette étude sera de mettre en place un nouveau modèle qui prend en compte ces phénomènes, explicitement les effets de rugosité des surfaces et les effets non-Newtoniens, en utilisant une nouvelle technique de calcul dite « homogénéisation » technique que l'on exposera dans ce mémoire.

Ainsi dans ce travail, nous proposons une nouvelle méthode pour prédire les différentes caractéristiques d'un contact (pression, débit, charge, force de frottement...) où le lubrifiant est soumis à un cisaillement continu. Cette modélisation peut tenir en compte la plus part des lois rhéologiques (newtonien, viscoélastique, viscoplastique, ...) généralement rencontrées en lubrification.

Dans le premier chapitre de ce manuscrit, une étude bibliographique sera présentée pour essayer de situer l'intérêt de notre contribution par rapport à ce qui se fait dans le domaine de la lubrification. On verra comment la géométrie locale est décrite et est prise en compte dans les calculs des contacts. On passera en revue les méthodes de calcul utilisées jusque là pour tenir compte des rugosités (stochastique, déterministe et homogénéisation) et la non linéarité de la loi rhéologique du fluide. Après analyse de ces méthodes de calcul pour déterminer les avantages et inconvénients de chacune d'elle, une conclusion sera tirée quand à celle qui sera retenue pour nos développements.

Dans le second chapitre, l'équation de base de la lubrification dite «équation de Reynolds» sera rapidement décrite avec ces hypothèses. Les techniques classiques et la nouvelle technique dite de «l'homogénéisation» lui seront appliquées afin de les comparer et de valider notre approche . Ainsi, une présentation détaillée sur la technique de l'homogénéisation sera faite. Après analyse des résultats, une conclusion sera tirée quant à la validité de cette technique.

Dans le troisième chapitre, une étude bibliographique sur le comportement des fluides sera réalisée. Les différentes lois rhéologiques du fluide seront passées en revue, la mise en place de l'équation de Reynolds «non-newtonien» retenue prenant en compte ces lois rhéologiques sera exposée. Une résolution numérique classique de cette équation sera effectuée afin d'évaluer l'influence des paramètres comme les propriétés de la géométrie du contact et les paramètres de la loi rhéologique du fluide sur les caractéristiques du contact telles que la pression, la force de frottement, le débit axial et la charge que peut supporter le contact. On analysera l'influence de ces paramètres sur les caractéristiques du contact pour pouvoir ensuite les comparer aux résultats obtenus dans la dernière partie de ce mémoire dans laquelle on appliquera l'homogénéisation à l'équation de Reynolds «non-newtonien».

Dans le dernier chapitre, l'homogénéisation sera appliquée à l'équation de Reynolds « non-newtonien » et les développements effectués seront exposés. L'algorithme pour la résolution numérique sera décrit . Une étude paramétrique sera proposée afin de déterminer las paramètres influents sur les caractéristiques d'un contact lubrifié en condition dites

sévères. Les résultats seront discutés et comparés à ceux obtenus à partir d'une manière classique.

Enfin une conclusion générale sera présentée pour rappeler l'essentiel des résultats obtenus ainsi que l'intérêt de notre contribution. Des perspectives seront dégagées.

#### **CHAPITRE 1: ETUDE BIBLIOGRAPHIQUE**

#### I INTRODUCTION

Le fonctionnement de tous les systèmes mécaniques obéit obligatoirement à des phases de démarrage et d'arrêt plus ou moins fréquentes. En dehors de l'aspect instationnaire non abordé ici nous nous retrouvons en conditions de contact dites sévères La maîtrise de ces étapes et de leurs conséquences tel que l'usure sur le système mécanique a indéniablement un impact sur l'économie. Ainsi, la connaissance du déroulement de ces phases permettra entre autre de réaliser des améliorations dans la conception et la fabrication des composantes concernées afin d'augmenter leur fiabilité et mettre en place une sérieuse campagne de maintenance pouvant augmenter leur durée de vie. Cette durée de vie est entièrement liée à ce qu'on peut appeler par la suite « la cinétique d'usure ».

Mais déterminer cette cinétique n'est pas une chose aisée, car cette étude est pluridisciplinaire. Prenons l'exemple des paliers: lors du démarrage ou de l'arrêt du rotor, nous pouvons identifier trois phases bien distinctes où les lois régissant le contact dans le palier sont différentes :

- La première, il y a contact « Solide/Solide » entre l'arbre et le coussinet. Cette phase correspond au moment où l'arbre est posé sur le fond du coussinet, le rotor ne tourne pas.
- La deuxième, le rotor commence à accélérer ou est en fin de décélération, il y a contact entre l'arbre et le coussinet mais dans cette phase, nous nous trouvons en lubrification mixte à cause de l'existence de lubrifiant dans certaines zones localisées du contact. Dans le cas du démarrage, la génération de pression hydrodynamique n'est pas encore suffisante pour faire décoller l'arbre et dans le cas de l'arrêt, elle n'est pas suffisante pour continuer à assurer la portance donc l'arbre entre en contact avec le coussinet.

• La troisième, le rotor tourne à une vitesse suffisamment importante pour créer une portance hydrodynamique. Nous nous retrouvons donc dans une phase de lubrification hydrodynamique. Il n'y a plus de contact partiel entre l'arbre et le coussinet.

Pour étudier ces phases, on se propose de réaliser un « zoom » au niveau du contact et voir localement les mécanismes mis en jeu pour en dégager une approche plus systémique nous permettant de scinder le problème en sous-problèmes. Ces sous-problèmes identifiés, nous essayerons d'identifier les travaux qui s'y rapportent pour dégager ce qui a été déjà réalisé et ainsi mettre en exergue notre contribution.

Pour une approche plus schématique aidant à mieux localiser la position relative des deux surfaces en regard en fonction des phases de contact sévères, nous allons prendre l'exemple du palier et faire un zoom sur la zone de contact. On va se rapporter aux schémas suivants:

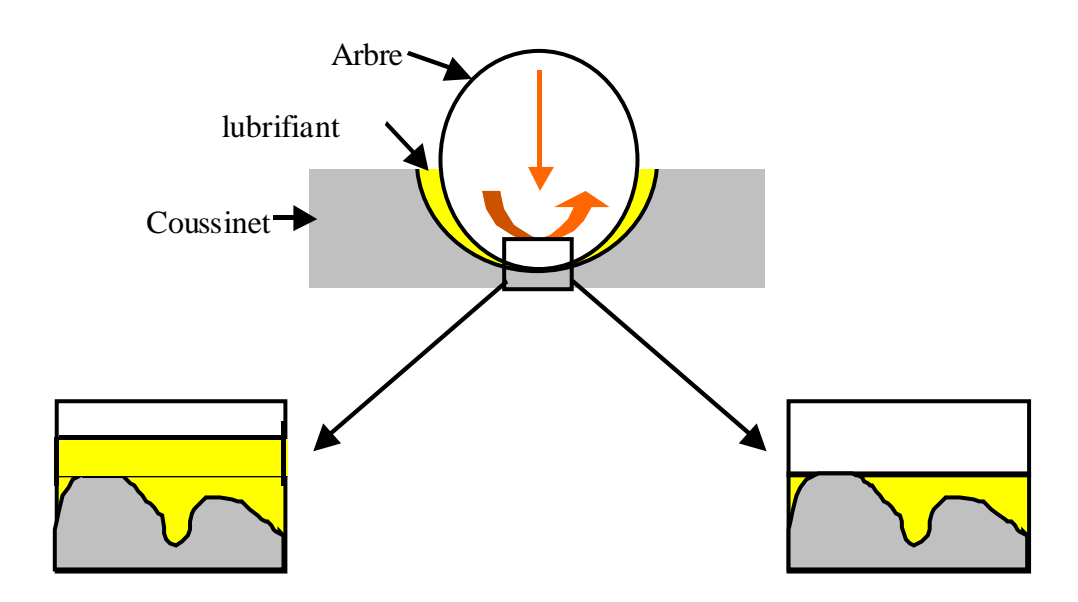


Figure 1: zoom sur le contact dans un palier

En se plaçant dans des conditions de contact sévères, nous allons essayer de décrire ce qui se passe au niveau du contact en essayant de dégager les régimes de lubrification en cours. Ainsi, on pourra mieux cibler notre bibliographie et essayer de développer les thèmes rencontrées lors de ces phases. Nous nous limiterons ici aux paliers.

En fonctionnement, les centres du coussinet et de l'arbre ne coïncident pas, il existe un coin convergent—divergent, le lubrifiant est entraîné dans cet espace convergent par la rotation de l'arbre (en supposant bien entendu qu'il y a adhérence du fluide aux parois) et il y a création d'un champ de pression qui s'oppose à la charge. Cette pression générée par le déplacement relatif des surfaces tend à entraîner le fluide à séparer complètement les surfaces : on est en présence d'un régime de lubrification hydrodynamique (HD).

Ce film fluide peut séparer totalement les surfaces du contact, ce qui suppose que les défauts de surfaces tel que les aspérités peuvent ne pas être prises en compte dans les calculs car leurs dimensions sont largement inférieures à celles de l'épaisseur du film.

Pour des épaisseurs de film mince, la pression hydrodynamique peut être très importante et engendrer des déformations élastiques sur les surfaces en contact. Dans cette configuration, on se trouve en régime de lubrification élastohydrodynamique (EHD).

Si cette épaisseur de film est très mince de l'ordre de grandeurs des rugosités, il y aura par endroits contact entre les deux surfaces, on parlera alors de lubrification limite et de lubrification mixte. Tout ceci nous conduit à nous intéresser à la géométrie locale des surfaces en contact.

Ce film fluide obéit à une loi de comportement. L'étude de ces lois de comportement fait partie du domaine de la rhéologie, elle établit une relation entre le taux des vitesses de déformation de cisaillement et la contrainte de cisaillement.

Cette loi de comportement peut dépendre de la nature du fluide, de la température et de la pression dans le contact.

#### II LUBRIFICATION HYDRODYNAMIQUE

En régime hydrodynamique pur, le film d'huile sépare complètement les deux surfaces en contact. On supposera que l'écoulement du fluide à travers le contact est laminaire et isotherme et sans effets d'inertie.

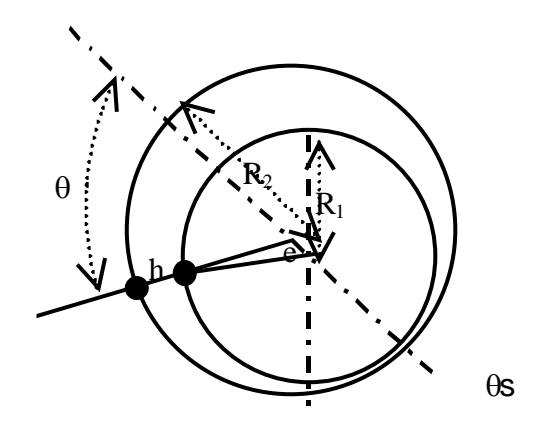


Figure 2: Section droite d'un palier

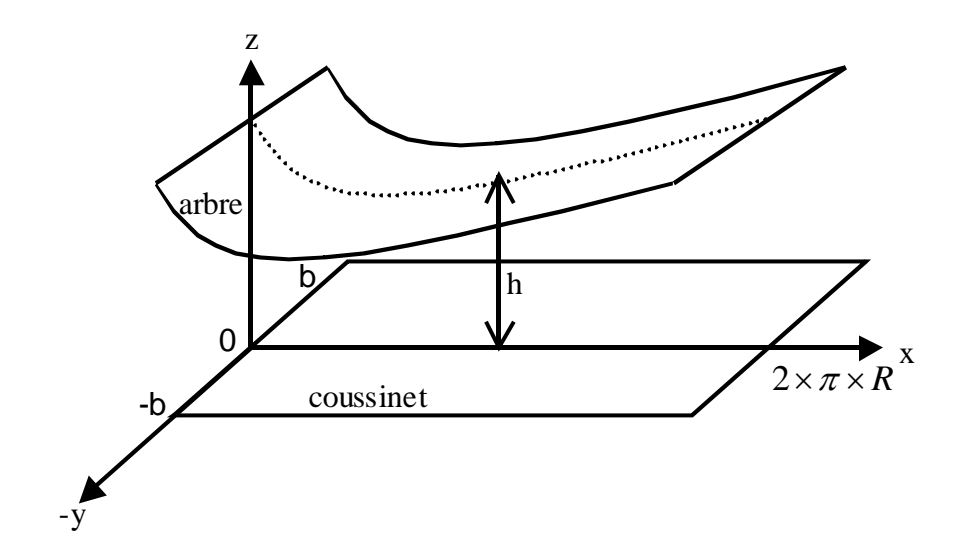


Figure 3: Palier développé

L'équation permettant de décrire le film fluide entre les deux surfaces en contact est l'équation de **Reynolds** dont on reviendra sur les hypothèses dans le prochain chapitre. L'équation de Reynolds classique la plus connue pour un fluide **newtonien** incompressible et isovisqueux s'écrit :

$$\frac{\partial}{\partial x} \left( h^3 \frac{\partial P}{\partial x} \right) + \frac{\partial}{\partial y} \left( h^3 \frac{\partial P}{\partial y} \right) = 6\mu \left[ \left( U_1 + U_2 \right) \frac{\partial h}{\partial x} + 2W_2 \right]$$

Dans cette expression,

• P : représente la pression,

• x et y : les coordonnées circonférentielles et axiale,

• h : l'épaisseur du film lubrifiant,

•  $W_2$ : la vitesse linéaire de l'arbre suivant l'axe z,

•  $U_1$  et  $U_2$  : sont les vitesses suivant l'axe x de l'arbre et le coussinet et

•  $\mu$  : la viscosité dynamique du fluide.

Pour un palier aligné, l'épaisseur, h, du film d'huile est indépendante de y et en négligeant la courbure des surfaces s'écrit classiquement:

$$h = C\left(1 + \varepsilon_r \cos \theta\right)$$

• Avec  $\varepsilon_r = e/C$  l'excentricité relative variant entre 0 et 1.

Les conditions aux limites donnant les solutions les plus exactes et vérifiées dans de nombreuses expériences sont celles de **SIFT**, dites encore conditions de **REYNOLDS**. Ces

conditions respectent le mieux la continuité du débit, contrairement à celles de **GÜMBEL** ou **SOMMERFELD** et supposent que pour une abscisse inconnue, la pression et le gradient de pression s'annulent. En supposant l'existence d'une rainure axiale en  $\theta = 2\pi$ :

- $P(\theta, y = b) = P(\theta, y = -b) = 0$
- $P(\theta, y) = 0 \Leftrightarrow \theta_s \le \theta \le 2\pi$
- $P(\theta = 0, y) = 0$
- $\frac{\partial P}{\partial \theta}(\theta = \theta_s, y) = 0$

#### **Équation 1**

De nombreux développements concernant le traitement de non linéarités telles que la turbulence ,les effets d'inertie, les effets thermiques [1] ainsi que les effets **non-newtoniens** [43] ont conduit à la réécriture de cette équation pour en tenir compte. Nous ne détaillerons pas la nouvelle écriture de cette équation pour les fluides non-newtoniens ici, mais serons amenés à établir son développement au fur et à mesure du déroulement du manuscrit.

La résolution de l'équation de Reynolds, n'est pas évidente car c'est une équation aux dérivées partielles du second ordre de type elliptique non linéaire n'admettant pas de solutions analytiques à part quelques cas particuliers qui sont les paliers infiniment courts et infiniment long ou certaines conditions particulières de fonctionnement qui simplifient le problème. La difficulté d'obtenir une solution analytique satisfaisante n'est pas due seulement à la forme de l'équation mais également aux conditions limites.

Il est donc nécessaire de faire appel aux méthodes numériques. Les plus utilisées sont la méthode des différences finies et celle des éléments finis. Pour résoudre cette équation il est nécessaire de définir parfaitement entre autres la géométrie du contact.

#### III GÉOMÉTRIE LOCALE

Plus l'épaisseur du film diminue, plus les défauts de forme des surfaces qui l'entourent prennent de l'importance et plus les conditions réelles de formation ou de maintien du film s'éloignent de celles calculées, en considérant des surfaces idéales : cylindres de révolution. Ces défauts de forme peuvent provenir d'origines diverses : lors de la fabrication par exemple.

#### Rugosité de surface

La rugosité est l'un des défauts de forme introduite pendant la fabrication. Elle s'ajoute à d'autres imperfections que l'on peut relever sur une surface finie, telles que :

- **L'erreur de forme**, qui entraîne des écarts de grandes longueurs d'ondes par rapport à la surface nominale. Elle se situe entre les erreurs géométriques et les erreurs de finitions.
- **La texture**, qui est une combinaison d'écarts de longueurs d'ondes assez petites de la surface par rapport à la surface nominale. Elle comprend :
  - La rugosité, composée des plus fines irrégularités (de plus petites longueurs d'onde) ;
  - L'ondulation, qui est une erreur située en terme de longueur d'onde entre la rugosité et l'erreur de forme ;
  - **L'orientation**, qui se réfère à la direction prédominante de la texture de la surface. Cette orientation se présente sous forme de stries directionnelles en travers de la surface. Elle peut être transversale, longitudinale ou anisotrope.

Après la définition des termes utilisés pour la description de la géométrie locale des surfaces en contact, nous allons voir comment cette dernière intervient dans notre étude.

#### IV PRISE EN COMPTE DE LA RUGOSITÉ :

La prise en compte de la rugosité des surfaces dans l'étude de la lubrification peut se faire en considérant les paramètres statistiques de la rugosité : on va parler dans ce cas d'analyse stochastique, soit en faisant une description géométrique de celle-ci : cette fois le terme utilisé est : analyse déterministe. En ce qui nous concerne, nous allons introduire une

troisième analyse que l'on nommera « **analyse homogénéisation** » qui revient à diviser le problème en deux : un problème local et un problème global. Chacune de ces approches sera discutée pour apprécier ses avantages et ses inconvénients.

#### **Analyse stochastique**

L'approche stochastique a été introduite pour la première fois par TZENG et SAIDEL en 1967 pour étudier un patin avec une rugosité transverse unidimensionnelle [2].

En 1971 CHRISTENSEN et TONDER [3] développent l'équation de Reynolds moyennée pour analyser la répartition de la pression en présence de rugosités unidirectionnelles. Dans cette équation, ils introduisent des facteurs de correction provenant de la théorie stochastique pour tenir compte des effets de la rugosité dans les patins. En 1978, PATIR et CHENG [4] proposent une équation de Reynolds moyennée dans laquelle plusieurs facteurs de correction des débits sont introduits pour tenir compte de l'effet de la rugosité dans les trois directions.

Ces facteurs de correction sont obtenus par simulation numérique des débits sur les paliers. Cette méthode est basée sur la résolution numérique de l'équation de Reynolds pour un modèle de contact avec une rugosité de surface générée aléatoirement, et sur la dérivation de l'équation de Reynolds moyennée à partir des quantités moyennes de flux.

En 1997, BOEDO et BOOKER [5] utilisent la théorie des éléments finis pour l'analyse de la performance d'un palier avec une rugosité isotropique et ses effets sur la déformation élastique du palier. Dans cette étude, le fluide est supposé newtonien. Récemment, ZHANG et CHENG [6], en 2000, utilisent le modèle de lubrification mixte pour étudier les effets non-newtoniens et thermiques en régime hydrodynamique dans les paliers chargés en mode transitoire.

Dans un travail plus récent encore, en 2001, WANG et KEITH [7] ont utilisé la théorie de cavitation développée par ELROD en 1981 [8], par VIJAYARAGHAVAN et KEITH

[9] pour analyser les effets de la rugosité et les effets non-newtoniens. Les trois types de rugosité ont été étudiés : longitudinal, axial et isotrope, avec un chargement dynamique dans les paliers.

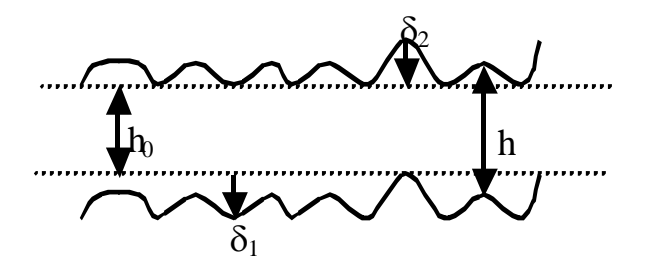


Figure 4: Epaisseur du film local

L'épaisseur locale du film :

$$h = h_0 + \delta_1 + \delta_2$$

#### Avec:

- $h_0$ : l'épaisseur nominale du film, définie comme la distance entre le niveau moyen de chacune des deux surfaces.
- δ<sub>1</sub> et δ<sub>2</sub>: les amplitudes des rugosités des deux surfaces mesurées par rapport à leur niveau moyen. Chacune de ces deux grandeurs peut être assimilée à une distribution gaussienne des hauteurs, de valeur moyenne nulle et de variance respectives σ<sub>1</sub><sup>2</sup> et σ<sub>2</sub><sup>2</sup>. La rugosité combinée δ = δ<sub>1</sub> + δ<sub>2</sub> a pour variance σ<sup>2</sup> égale à la somme des variances.

Par exemple l'équation de Reynolds moyennée en compressible sera :

$$\nabla \cdot \left( \frac{\rho \phi_p h^3}{12\eta} \nabla p \right) = \nabla \left( \rho \phi_c h U \right) + \frac{U_1 + U_2}{2} \sigma \frac{\partial \left( \rho \phi_s \right)}{\partial x} + \frac{\partial \left( \rho \phi_c h \right)}{\partial t}$$

Équation 1: Equation de Reynolds homogénéisée en compressible

En incompressible,  $\rho$  devient une constante, on obtient :

$$\frac{\partial}{\partial x} \left( \phi_x \frac{h^3}{12\eta} \frac{\partial p}{\partial x} \right) + \frac{\partial}{\partial y} \left( \phi_y \frac{h^3}{12\eta} \frac{\partial p}{\partial y} \right) = \frac{U_1 + U_2}{2} \frac{\partial h_T}{\partial x} + \frac{U_1 + U_2}{2} \sigma \frac{\partial \phi_s}{\partial x} + \frac{\partial h_T}{\partial t}$$

Équation 2: Equation de Reynolds homogénéisée en incompressible

#### Avec:

• *p* : la pression moyenne,

•  $U_1$  et  $U_2$ : les vitesses des deux surfaces en regard,

•  $\eta$  : la viscosité du lubrifiant,

- $\phi_x$  et  $\phi_y$  : les facteurs correcteurs au débit de Poiseuille. Ils traduisent la perturbation du débit généré par la différence de pression entre les limites du volume élémentaire représentatif due aux rugosités. Ils sont inférieurs à 1,
- $\phi_s$  : le facteur correcteur au débit de couette. Il traduit le fait que, par le jeu de la cinématique, des poches se forment et contribuent à alimenter ou non le contact de lubrifiant.

Les expressions de ces facteurs empiriques peuvent se trouver dans les travaux de PATIR et CHENG [10], [11], CHRISTENSEN et TONDER [12] et WU et ZHENG (1989) [13].

Connaissant la variance  $\sigma$  de la rugosité et la hauteur nominale de film h, un rapport  $\frac{h}{\sigma}$  a été défini [14]. Il permet de déterminer l'importance de la rugosité sur la lubrification. On retrouve ce rapport dans tous les travaux utilisant l'équation de Reynolds homogénéisée [13].

- Pour  $\frac{h}{\sigma} > 3$ : les effets de la rugosité ne sont pas importants, et l'équation de Reynolds classique pour les surfaces lisses est suffisante.
- Pour  $\frac{h}{\sigma} \rightarrow 3$ : les effets commencent à devenir non négligeables.
- Pour  $\frac{h}{\sigma}$  < 3, on considère que les aspérités interagissent les unes avec les autres, et le régime de lubrification est mixte.

Les propriétés directionnelles de la rugosité sont décrites par un paramètre empirique de forme  $\gamma$ , introduit par KUBO et PEKLENIK [15].

Il est défini comme étant le rapport des longueurs de corrélation en x et y.

$$\gamma = \frac{\lambda_{0,5x}}{\lambda_{0,5y}}$$

Il peut être interprété comme le rapport de la longueur sur la largeur d'une aspérité représentative des rugosité purement transversale, isotrope ou purement longitudinale correspondent à des valeurs de  $\gamma$  respectivement de 0, 1 et  $\infty$ .

Pour résumer, on peut dire que l'approche stochastique est basée sur l'introduction de facteurs d'écoulement dans l'équation de Reynolds et d'une rugosité aléatoire sur les surfaces en contact. La génération de rugosité se fait suivant une loi gaussienne et les paramètres importants dans ce type d'analyse sont  $\frac{h}{\sigma}$  traduisant l'importance de la rugosité

et  $\gamma$  désignant son orientation. L'approche stochastique connaît des limites. En effet, seule une description globale est possible, on ne peut avoir accès aux informations locales. Ainsi, deux profils de rugosités différents mais possédant les mêmes propriétés statistiques conduiront aux mêmes répartitions de pression. Il est nécessaire donc d'envisager d'autres types d'analyses car notre étude doit tenir compte de l'aspect local et global de la rugosité ainsi du possible caractère anisotropique .

#### Analyse déterministe

Ce type d'analyse est basée sur une description de profils de surfaces simplifiées, en prenant par exemple un profil modélisé par une fonction périodique ou des profils réels.

Ainsi, il n'est plus nécessaire de connaître les paramètres statistiques relatifs au type de rugosité. Au lieu de considérer des facteurs de flux dans l'équation de Reynolds, on l'utilise sous sa forme classique. C'est dans l'équation de l'épaisseur du film où sont pris en compte les rugosités.

En 1992, KWEH et AL [16], [17] se sont intéressés au cas d'un contact introduisant une rugosité transverse sinusoïdale tridimensionnelle. Un aplatissement des rugosités est constaté après contact pour un contact EHD fortement chargé et à haute température.

En 1992, VENNER et AL [18] introduisent un profil de rugosité mesuré au cas d'un contact linéique.

En 1994, GRENWOOD et AL [19] traitent le problème inverse c'est à dire qu'à partir des variations sinusoïdales de la pression, ont recherché la rugosité de la surface qui s'y rapporte. La reproduction de la rugosité de la surface revient à regarder les variations de la pression et ne reprendre que les petites variations : Les composantes de basses fréquences (l'ondulation) d'une rugosité de surface sont très aplaties alors que les composantes de hautes fréquences (rugosité) sont encore présentes après déformation.

En 1994, AI et CHENG [20] utilisent dans leurs travaux un profil de surface mesuré.

En 1997, ZHU et AI [21] ont utilisé un relevé tridimensionnel de rugosité de surface pour étudier un contact ponctuel. Ils montrent que le pic maximum de pression est une variable locale qui dépend largement des aspérités et de leurs pentes.

L'approche déterministe permet de prendre en compte de manière plus réaliste les rugosités. Les travaux effectués avec ce type d'approche sont basés sur l'application de

l'équation de Reynolds et montrent qu'une description précise de la rugosité est une donnée importante. Elle permet d'obtenir des informations locales telles que les variations rapides locales de la pression. Cependant, cette approche reste très coûteuse en espace mémoire car il faut raffiner au maximum le maillage pour pouvoir décrire les plus petites ondulations de la rugosité.

#### Analyse « homogénéisation »

L'approche de l'homogénéisation revient à réécrire le problème posé en deux autres : un **problème local** et un **problème homogénéisé**. Cependant les coefficients du problème global dépendent de la solution des problèmes locaux.

La difficulté de cette technique réside dans le découplage des deux problèmes à partir du problème global à cause de la présence de non-linéarités [42]. Les coefficients du problème homogénéisé dépendant de la solution du problème local et ne peuvent être calculés qu'après traitement de ce dernier.

En 2000 cette technique a été exposée et appliquée à l'équation de Reynolds compressible par BUSCAGLIA G. et JAÏ M. [22] en se basant sur les travaux de BENSOUSSAN et LIONS concernant les structures périodiques non linéaires. De cette étude, il en ressort que cette méthode est bien adaptée aux problèmes avec une rugosité anisotrope. Cependant elle présente peu d'intérêt pour les problèmes avec une rugosité transversale et longitudinale ou d'une manière générale quelconque par rapport au flux du fluide.

C'est aussi une technique qui ne nécessite pas un maillage très fin pour prendre en compte l'effet de la rugosité, car cette dernière est prise en compte pendant le calcul des problèmes locaux, d'où un temps de calcul moindre comparé aux techniques classiques.

Cette technique nous a semblé aussi comme étant très bien adaptée aux besoins d'économie de place mémoire et aux exigences de rapidité de calcul que l'on recherche de plus en plus . Elle sera utilisée par la suite pour le calcul des paramètres de contact. La technique de programmation introduite ici va inclure d'autres' astuces' qui permettront par exemple de libérer de la place mémoire au fur et à mesure de l'exécution des programmes.

Dans la suite, cette technique sera détaillée et appliquée à l'équation de Reynolds newtonien en incompressible et à l'équation de Reynolds non-Newtonien.

#### V CONCLUSION

Dans ce premier chapitre, nous avons commencé par situer le contexte de notre étude dans les systèmes mécaniques en général, et l'exemple du palier mécanisme très important par exemple dans les systèmes rotoriques a été retenu. Une étude bibliographique liée à la thématique de l'étude a été faite afin de répertorier une bonne partie des travaux qui ont été réalisés dans le domaine d'étude des paliers. Pour une analyse plus fine du contact, la notion de géométrie locale a été introduite, et la rugosité a été définie. Les différentes techniques d'analyse des paramètres de contact prenant en compte ces rugosités ont été répertoriées et expliquées. L'analyse de ces techniques nous a aidé à en choisir la plus récente qui est la technique de l'homogénéisation. Cette technique nous semble être la mieux adaptée et la plus performante pour la prise en compte des rugosités non quelconques . Elle présente aussi des avantages quant aux besoins actuels de rapidité de calcul et aux exigences d'occupation minimum d'espace mémoire donc de coût de calcul.

# CHAPITRE 2 : HOMOGENEISATION DE L'EQUATION DE REYNOLDS NEWTONIEN

#### I INTRODUCTION

Ce chapitre a pour but de présenter la technique de l'homogénéisation puis de la valider en comparant les résultats obtenus à partir de cette technique avec ceux issus des techniques classiques.

Le contexte de notre étude ayant été défini, l'homogénéisation ayant été choisie parmi les techniques d'analyse des rugosités de surface que l'on a répertoriées, nous allons appliquer cette technique à l'équation de Reynolds classique en ne prenant pas en compte dans un premier temps le comportement non newtonien du fluide dans nos conditions de contact dites sévères. Les hypothèses et les équations de base ayant conduit à l'obtention de l'équation homogénéisée seront posées. La technique de l'homogénéisation sera détaillée et l'algorithme de résolution des équations homogénéisées sera exposé. La géométrie de notre contact sera définie et les expressions analytiques des rugosités utilisées seront présentées.

Une fois les équations et le programme numérique de résolution mis en place, l'influence des divers paramètres mis en jeu sera étudiée. Les résultats seront présentés sous forme comparative avec ceux obtenus avec les techniques dites classiques. Les résultats seront discutés pour évaluer les avantages et les inconvénients de la technique « homogénéisation » comparée aux techniques classiques. Enfin une synthèse sera réalisée en conclusion.

#### II EQUATIONS DE BASE

Dans un article publié en 1886, Osborne REYNOLDS établit les bases de la lubrification hydrodynamique. Les hypothèses utilisées pour l'obtention de cette équation sont :

- L'épaisseur du film est très faible devant ses autres dimensions,
- L'écoulement est laminaire,
- Le lubrifiant obéit à la loi de Newton, sa viscosité est constante et il est incompressible,
- Les forces massiques et le forces d'inertie dans le fluide sont négligées,
- La courbure générale du film est négligée,
- La vitesse du fluide selon l'épaisseur est très faible devant les autres vitesses,
- Les gradients de vitesse selon l'épaisseur du film sont prépondérants devant les autres.

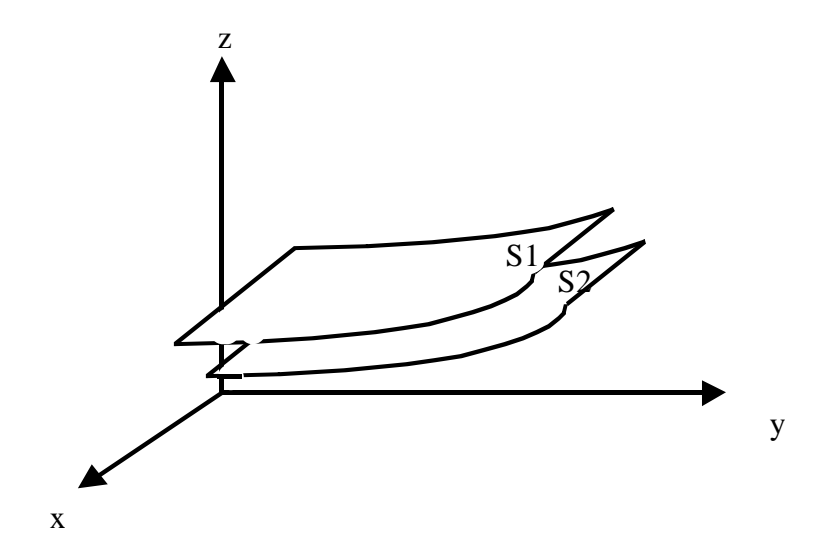


Figure 5: Système d'axes

#### On notera:

- $\mu$ : la viscosité dynamique du fluide,
- P: la pression qui règne dans le fluide,
- h : l'épaisseur du fluide,

- u, v et w: la vitesse du fluide suivant les directions x, y et z,
- $U_1$  et  $U_2$ : les vitesses des parois 1 et 2 suivant la direction x,
- $V_1$  et  $V_2$ : les vitesses des parois 1 et 2 suivant la direction y.

Compte tenu de ces hypothèses, les équations de Navier-Stokes [23] se réduisent à :

$$\begin{cases} \frac{\partial P}{\partial x} = \mu \frac{\partial^2 u}{\partial z^2} \\ \frac{\partial P}{\partial y} = \mu \frac{\partial^2 v}{\partial z^2} \\ \frac{\partial P}{\partial z} = 0 \end{cases}$$

### **Équation 3**

Par intégration et en supposant qu'il n'y a pas de glissement entre le fluide et les surfaces en contact, on obtient le champ de vitesse dans le fluide :

$$\begin{cases} u = \frac{1}{2\mu} \frac{\partial P}{\partial x} (z - h)z + U_1 \frac{h - z}{h} + U_2 \frac{z}{h} \\ v = \frac{1}{2\mu} \frac{\partial P}{\partial y} (z - h)z \\ w = 0 \end{cases}$$

**Équation 4** 

Ces expressions reportées dans l'équation de continuité [Équation 5]:

$$\frac{\partial u}{\partial x} + \frac{\partial v}{\partial y} + \frac{\partial w}{\partial z} = 0$$

### **Équation 5**

et intégrée à travers l'épaisseur du film donnent l'équation de Reynolds:

$$\frac{\partial}{\partial x} \left( h^3 \frac{\partial P}{\partial x} \right) + \frac{\partial}{\partial y} \left( h^3 \frac{\partial P}{\partial y} \right) = 6\mu \left[ \left( U_1 - U_2 \right) \frac{\partial h}{\partial x} + 2W_2 \right]$$
**Équation 6**

Cette équation [Équation 6]est à la base de la lubrification hydrodynamique.

## III HOMOGÉNÉISATION DE L'ÉQUATION DE REYNOLDS NEWTONIEN

En partant de l'Équation 6, et en posant pour plus de simplicité:

- $\bullet V = U_1 U_2$
- $\bullet \quad W_2 = 0$
- $\bullet$   $x_1 = x$
- $x_2 = y$
- $\bullet$   $x_3 = z$

et

 $6\mu V = \Lambda$ 

on obtient:

$$\nabla \cdot \left(h^3 \nabla p\right) = \Lambda \frac{\partial h}{\partial x_1}$$

## **Équation 7**

Avec  $x_1, x_2, x_3$  les coordonnées de notre repère cartésien ( $\Omega = (x_1, x_2)$ ).

On introduit la notion de coordonnées locales en posant [22]:

$$h(x_1, x_2) = h_0(x_1, x_2) + h_1(\frac{x_1}{\varepsilon}, \frac{x_2}{\varepsilon})$$

**Équation 8** 

Avec  $h_1$ , une fonction périodique de période  $\varepsilon$ , caractérisant la partie rugueuse de la hauteur du film.

Introduisons les variables locales en posant  $(y_1, y_2) = \left(\frac{x_1}{\varepsilon}, \frac{x_2}{\varepsilon}\right)$ , et faisons un développement asymptotique de TAYLORD de la pression en écrivant :

$$p(x_1, x_2) = p_0(x_1, x_2) + \varepsilon p_1(x_1, x_2, y_1, y_2) + \varepsilon^2 p_2(x_1, x_2, y_1, y_2) + \dots$$
 Équation 9

Où  $p_1, p_2,...$ , sont des fonctions périodiques par rapport aux variables  $(y_1, y_2)$ . Utilisons la règle de différenciation suivante :

$$\frac{\partial}{\partial x_i} = \frac{\partial}{\partial x_i} + \frac{1}{\varepsilon} \frac{\partial}{\partial y_i}$$

### **Équation 10**

reportons l'Équation 9 dans l'Équation 7.

Après identification par rapport à  $\varepsilon^i$ , on obtient les équations suivantes :

Identification par rapport à  $\varepsilon^0$ :

$$\frac{\partial}{\partial x_{1}} \left( h^{3} \left( \frac{\partial p_{0}}{\partial x_{1}} + \frac{\partial p_{1}}{\partial y_{1}} \right) \right) + \frac{\partial}{\partial x_{2}} \left( h^{3} \left( \frac{\partial p_{0}}{\partial x_{2}} + \frac{\partial p_{1}}{\partial y_{2}} \right) \right) = \Lambda \frac{\partial h}{\partial x_{1}} - \nabla_{y} \cdot \left( h^{3} \nabla_{x} p_{1} \right)$$

**Équation 11** 

Identification par rapport à  $\varepsilon^{-1}$ :

$$\nabla_{y} \cdot \left(h^{3} \nabla_{y} p_{1}\right) = \Lambda \frac{\partial h}{\partial y_{1}} - \nabla_{y} h^{3} \cdot \nabla_{x} p_{0}$$

### **Équation 12**

Identification par rapport à  $\varepsilon$ :

$$\nabla_x \cdot \left( h^3 \nabla_x p_1 \right) = 0$$

### **Équation 13**

Avec  $\nabla_x$  et  $\nabla_y$  équivalents respectivement à  $(\partial/\partial x_1, \partial/\partial x_2)$  et  $(\partial/\partial y_1, \partial/\partial y_2)$ .

Pour découpler  $p_0$  et  $p_1$  on considère les problèmes locaux suivants :

$$-\nabla_{y}.\left(h^{3}\nabla_{y}w_{1}\right) = \frac{\partial h^{3}}{\partial y_{1}}$$

## **Équation 14**

$$-\nabla_{y} \cdot \left(h^{3} \nabla_{y} w_{2}\right) = \frac{\partial h^{3}}{\partial y_{2}}$$

## **Équation 15**

$$\nabla_{y} \cdot \left( h^{3} \nabla_{y} \chi \right) = \Lambda \frac{\partial h}{\partial y_{1}}$$

#### **Équation 16**

Les conditions aux limites pour les problèmes locaux sont :  $w_1, w_2$  et  $\chi$  sont nulles sur la frontière et sont des fonctions périodiques.

On remplace ces dernières équations (Équation 14, Équation 15, Équation 16) dans l'Équation 12 et on intègre sur le domaine normalisé  $Y = [0,1[\times]0,1[$ :

On obtient:

$$p_1 = w_1 \frac{\partial p_0}{\partial x_1} + w_2 \frac{\partial p_0}{\partial x_2} + \chi + C(x_1, x_2)$$

# **Équation 17**

En remplaçant cette expression dans l'Équation 11 et en intégrant par rapport à y , on obtient l'équation du problème homogénéisé :

$$\begin{cases} -\nabla \cdot ([A]\nabla p_0) = \nabla \cdot [\theta] & \text{sur le domaine } \Omega \\ p_0 = 0 & \text{sur les bords } \partial \Omega \end{cases}$$

Avec:

$$\begin{bmatrix}
A \end{bmatrix} = \begin{pmatrix}
\int_{Y} h^{3} \left( 1 + \frac{\partial w_{1}}{\partial y_{1}} \right) dy & \int_{Y} h^{3} \left( \frac{\partial w_{2}}{\partial y_{1}} \right) dy \\
\int_{Y} h^{3} \left( \frac{\partial w_{1}}{\partial y_{2}} \right) dy & \int_{Y} h^{3} \left( 1 + \frac{\partial w_{2}}{\partial y_{2}} \right) dy
\end{pmatrix}$$
et
$$\begin{bmatrix}
\theta
\end{bmatrix} = \begin{pmatrix}
\int_{Y} \left( h^{3} \frac{\partial \chi}{\partial y_{1}} - \Lambda h \right) dy \\
\int_{Y} \left( h^{3} \frac{\partial \chi}{\partial y_{2}} \right) dy
\end{pmatrix}$$

**Équation 19** 

Ainsi, on obtient les problèmes locaux [Équation 14, Équation 15 et Équation 16] et le problème homogénéisé [Équation 18].

Ces problèmes n'ont pas de solutions analytiques, il est donc nécessaire d'utiliser des techniques numériques.

### IV RÉSOLUTION DES PROBLÈMES LOCAUX ET DU PROBLÈME HOMOGÉNÉISÉ

Les équations représentant les problèmes locaux et celui homogénéisé sont des équations aux dérivée partielles du second ordre de type elliptique qui n'admettent pas de solutions analytiques. Ainsi, pour résoudre ces équations, on utilise ici la méthode des différences finies méthode facile à mettre en œuvre et qui a déjà largement fait ses preuves. Cette technique est développée dans la littérature tant du point de vue mathématique que du point de vue de son utilisation [25], [26], [27], [27], [29]. La méthode utilisée sera celle des relaxations successives (S.O.R).

On présente ci-dessous l'algorithme de résolution mis en place pour la résolution du problème homogénéisé:

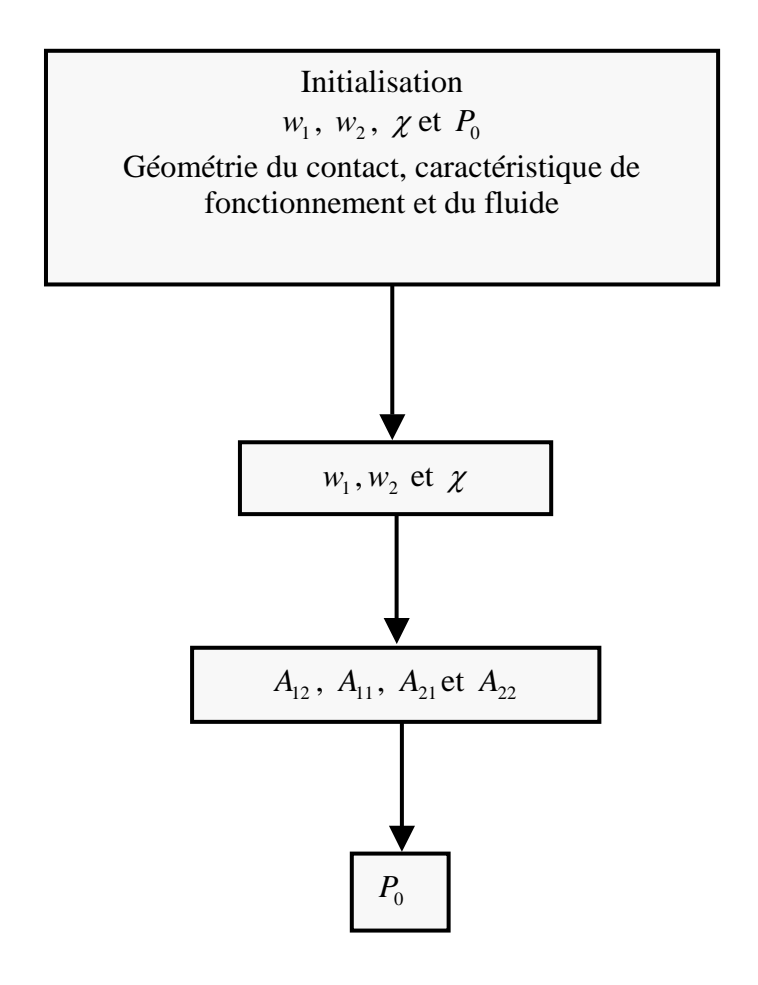


Figure 6 : Algorithme de résolution de la pression homogénéisée

### V GÉOMÉTRIE DU CONTACT

Avant d'effectuer le calcul de la pression homogénéisée, il y a lieu de définir la géométrie du contact. Cette définition revient à décrire analytiquement la forme de l'épaisseur du film lubrifiant piégé entre les deux surfaces en regard . La hauteur du film peut s'écrire:

$$h = h_0 + \delta$$

## **Équation 20**

Avec:

h : l'épaisseur globale du film,

h<sub>0</sub>: l'épaisseur globale sans rugosités,

 $\delta$  : amplitude des rugosités.

## Epaisseur globale sans rugosités

L'épaisseur du film considérée sera celle d'un contact cylindre-plan puisque l'on ne s'intéresse ici qu'à une géométrie confinée. Cette géométrie équivalente peut s'écrire:

$$h_0 = h_{\min} + \frac{(x-a)^2}{2 * R}$$

# **Équation 21**

Avec:

•  $h_{\min}$  : l'épaisseur minimale,

• R : le rayon équivalent,

• *a* : demi largeur de contact.

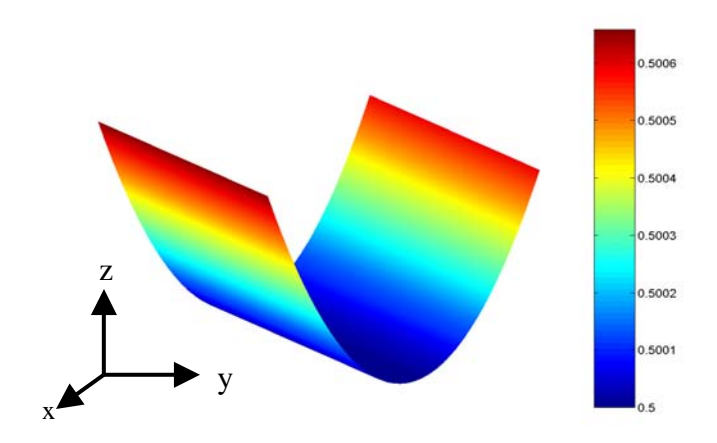


Figure 7 : épaisseur du film d'huile sans rugosités.

## Forme des rugosités considérées

Trois formes de rugosité seront considérées par la suite : une forme de rugosité anisotrope, une rugosité quelconque et enfin une rugosité transversale [Tableau 1].

- Rugosités anisotropes :  $\delta = \alpha \sin \left( 2\pi n_r \left( \frac{x}{a} + \frac{y}{b} \right) \right)$
- Rugosités quelconques :  $\delta = \alpha \sin\left(\frac{2\pi n_r y}{b}\right) \times \cos\left(\frac{2\pi n_r x}{a}\right)$
- Rugosités transversales :  $\delta = \alpha \sin\left(\frac{2\pi n_r x}{a}\right)$

Avec:

- $\alpha$ : amplitude des rugosités,
- $n_r$ : nombre de rugosités,
- $\bullet$  a et b: demi largeur et demi longueur du contact.

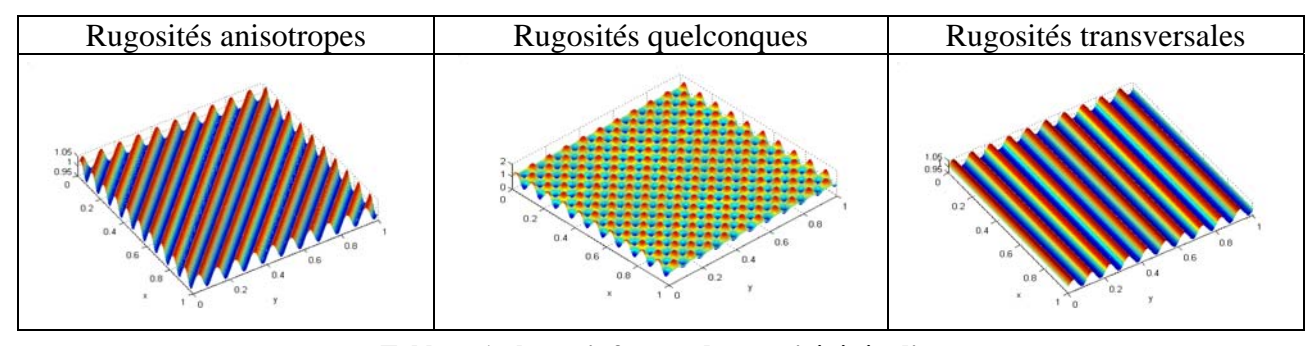


Tableau 1 : les trois formes de rugosités à étudier

La géométrie du contact est obtenue en ajoutant à l'épaisseur globale « lisse » et les rugosités.

## VI COMPARAISON ENTRE LA MÉTHODE HOMOGÉNÉISÉE ET LA MÉTHODE DIRECTE

L'homogénéisation de l'équation de Reynolds pour un fluide Newtonien étant effectuée, le logiciel réalisant la résolution numérique des équations utiles étant élaboré, nous allons effectuer des simulations numériques pour comparer les résultats obtenus avec ceux issues du programme basé sur une discrétisation directe par la méthode des différences finies de l'équation de Reynolds. Les deux programmes seront soumis aux mêmes conditions de fonctionnement et les mêmes paramètres leur seront appliqués afin de pouvoir réaliser une comparaison exhaustive.

Nous réalisons des simulations numériques en faisant varier les trois paramètres principaux de la rugosité qui sont :

- la forme des rugosités : elle peut être anisotrope, quelconque ou transversale,
- le nombre de rugosité : qui est défini comme étant le nombre de périodes
- l'amplitude de rugosité : qui sera donnée comme une valeur relative par rapport à la hauteur minimale du film.

Une étude en deux dimensions sera d'abord effectuée afin d'obtenir une première vue sur la comparaison entre les deux approches et sur l'efficacité de la technique de l'homogénéisation en deux dimensions, puis des représentations en trois dimensions seront accomplis enfin de parfaire l'analyse.

Les valeurs choisies sont toutes normalisées puisqu'il s'agit ici uniquement de recherche de comparaison entre deux approches différentes.

# VII DEUX DIMENSIONS (COUPES EFFECTUÉS SUR LA PLAN MÉDIAN)

Les calculs seront faits en trois dimensions pour pouvoir prendre en compte les trois formes de rugosité cités plus haut. Des coupes seront effectuées en  $y = \frac{b}{2}$ , c'est à dire au milieu de la longueur du contact et suivant le sens de la vitesse de la surface supérieure. Ainsi le représentations obtenues seront en deux dimensions.

Les résultats sont présentés sous forme de tableau dont les colonnes représentent les différentes formes de rugosités et les lignes soit le nombre de rugosité soit leurs amplitudes.

La solution dite exacte sur les légendes est celle obtenue par résolution directe de l'équation de Reynolds par différences finies, elle est superposée à la solution homogénéisée.

# Variation du nombre de rugosités $(n_r)$

- $\overline{h}_{\min}$  = 1
- $\mu$  = 1
- $\overline{V}$  = 1
- $R = 200 \overline{h}_{\min}$
- $\alpha = 0.3 \, \overline{h}_{\rm min}$

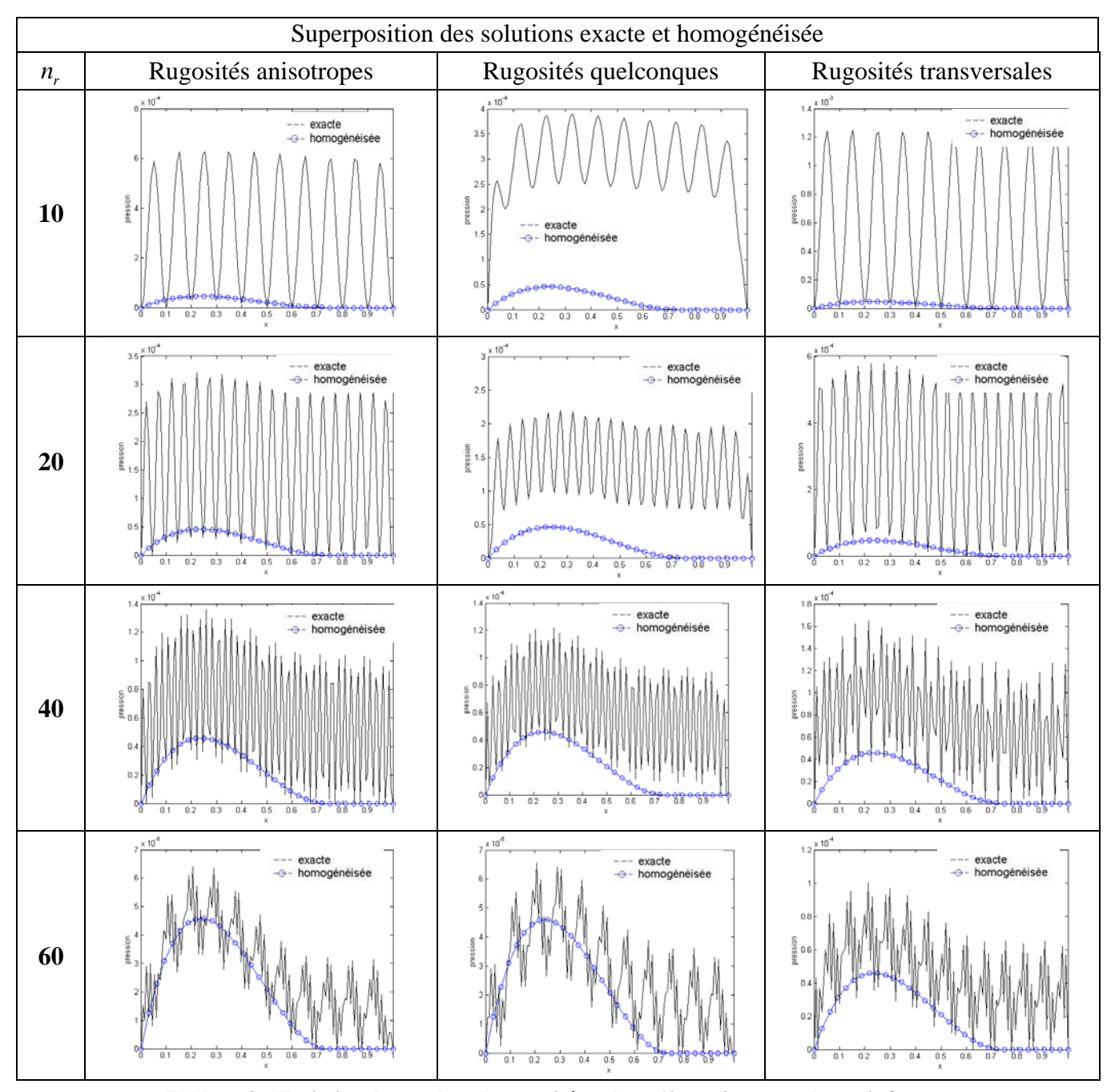


Tableau 2 : Variation du nombre de rugosité en deux dimensions avec les trois formes

On voit que la solution dite exacte devient irrégulière quand le nombre de rugosité devient important. Ceci est du à la limitation de la machine en espace mémoire, car pour avoir une solution régulière, il faut augmenter la finesse de la discrétisation.

Mais néanmoins, on remarque que l'augmentation du nombre de rugosités tant à ramener la solution dite exacte sur la solution homogénéisée qui, elle, reste insensible à cette variation.

On remarque que pour des nombres de rugosités faibles, la solution quelconque est éloignée de la solution homogénéisée.

Ces observations me mène à dire que:

- L'homogénéisation reste efficace quand le nombre de rugosité est grand par rapport à la longueur du contact quelque soit le type de rugosité. La répartition de la pression obtenue par la technique de l'homogénéisation est la limite de celle obtenue classiquement quant le nombre de rugosité tend vers l'infini.
- On remarque aussi que par rapport à la technique classique, on n'a pas besoin d'aussi grand besoin d'espace mémoire pour traiter un nombre de rugosité important.
- L'observation de la solution quelconque pour des nombres de rugosités faibles montre un écart assez important entre l'homogénéisée et la classique. Donc de la non efficacité de cette technique dans ces conditions.

On peut conclure que la méthode permet d'obtenir des résultats de champs de pression, avec des surfaces rugueuses, en considérant un nombre de points de calcul considérablement inférieur à celui d'une de discrétisation classique par différence finies. On se rend compte aussi que plus le nombre de période de rugosité est élevé, plus la solution classique se rapproche de la solution homogénéisée.

Ceci permet de valider le modèle dans les conditions ou le nombre de rugosité est grand.

# Variation de l'amplitude des rugosités ( $\alpha$ )

- $\overline{h}_{\min}$  = 1
- $\frac{\overline{\mu}}{\mu}$  = 1
- $\overline{V}$  = 1
- $R = 200 \overline{h}_{\min}$
- $\bullet$   $n_r$  =10

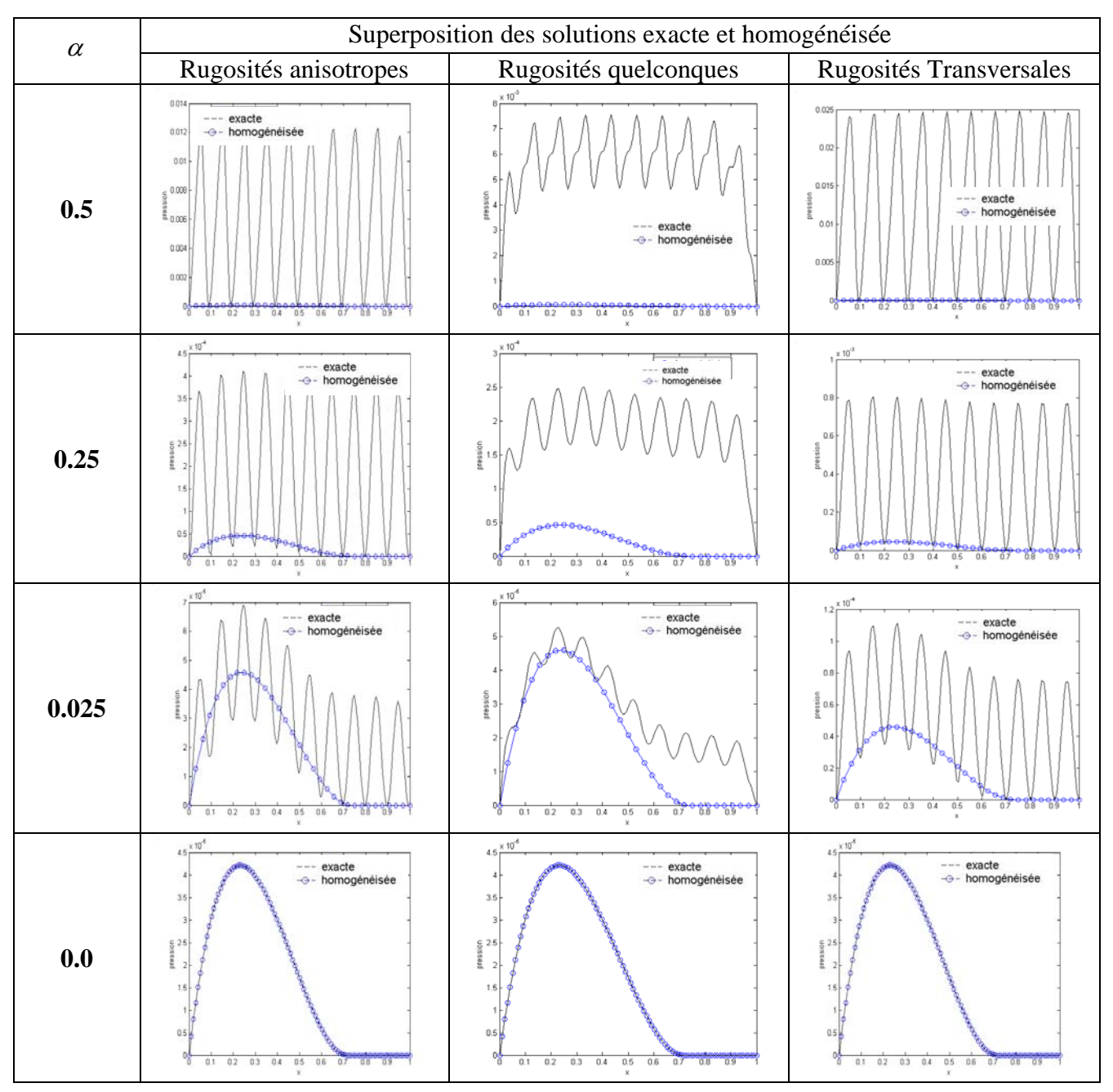


Tableau 3 : Variation de l'amplitude des rugosités en deux dimensions avec les trois formes

La diminution du nombre de rugosité fait tendre les deux solutions vers une même. Donc, ceci permet de valider le modèle dans le cas de faibles amplitudes de rugosités quelque soit leur nombre. Les deux solutions homogénéisée et classique dans le cas quelconque, restent toujours éloignées quand le nombre de rugosité est petit et leur amplitude grand par rapport à l'épaisseur du film, d'où la non efficacité de la méthode face à ce type de rugosité dans ces conditions.

### VIII TROIS DIMENSIONS

Dans cette partie, on s'intéressera à l'influence de la forme des rugosités. Ainsi, la répartition de la pression sur la zone de contact sera représentée.

Les résultats sont présentés sous forme de tableau dont les colonnes représentent les solutions exacte et homogénéisée, les lignes, le nombre de rugosités ou la variation de l'amplitude des rugosités.

Etant donné que la solution homogénéisée est insensible à la variation du nombre de rugosités, une seule représentation de la solution homogénéisée sera faite quand on fera varier le nombre de rugosités.

### Rugosités anisotropes

# Variation du nombre de rugosités $(n_r)$

- $\overline{h}_{\min}$  = 1
- $\mu$  = 1
- $\overline{V}$  = 1
- $R = 200 \overline{h}_{\min}$
- $\alpha = 0.25 \, \overline{h}_{\rm min}$

$n_r$	Pression exacte	Pression homogénéisée
10		
20		
40		

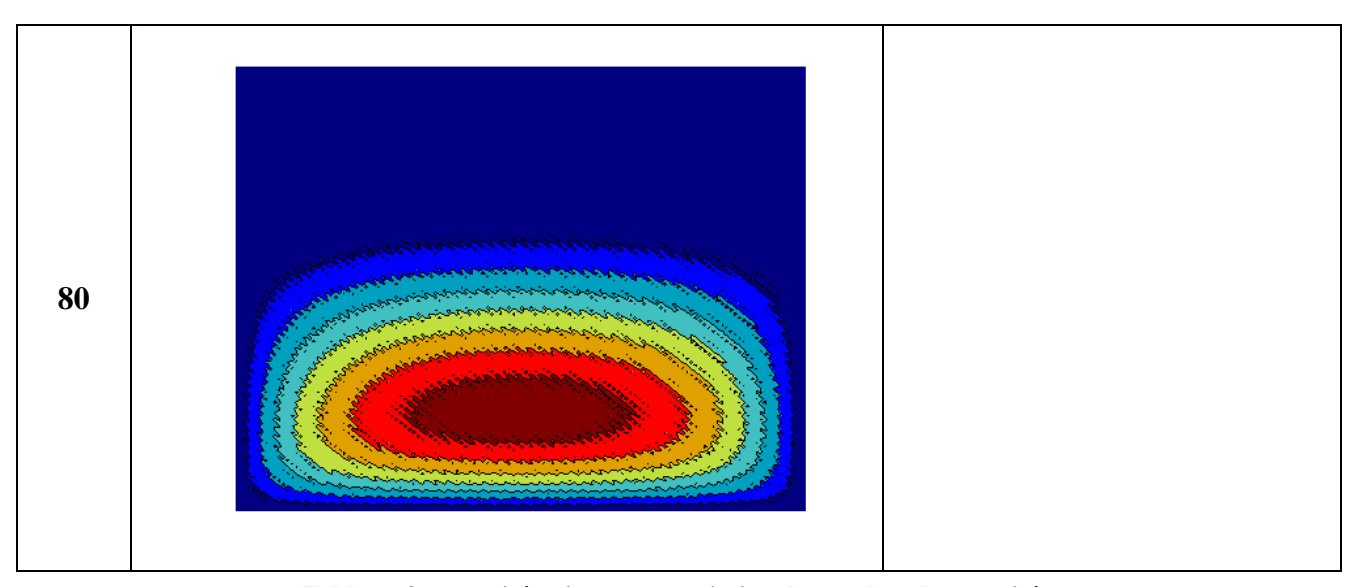


Tableau 4 : rugosité anisotrope, variation du nombre de rugosités.

On remarque que l'augmentation du nombre de rugosité fait tendre la Pression classique vers la Pression homogénéisée. Il est nécessaire néanmoins d'un nombre considérable de points de discrétisation pour que la Pression exacte se rapproche au mieux de la Pression homogénéisée.

# Variation de l'amplitude des rugosités ( $\alpha$ )

- $\overline{h}_{\min}$  = 1
- $\mu$  = 1
- $\overline{V}$  = 1
- $R = 200 \overline{h}_{\min}$
- $\bullet$   $n_r = 80$

α	Pression exacte	Pression homogénéisée
0.025		
0.2		
0.25	1	

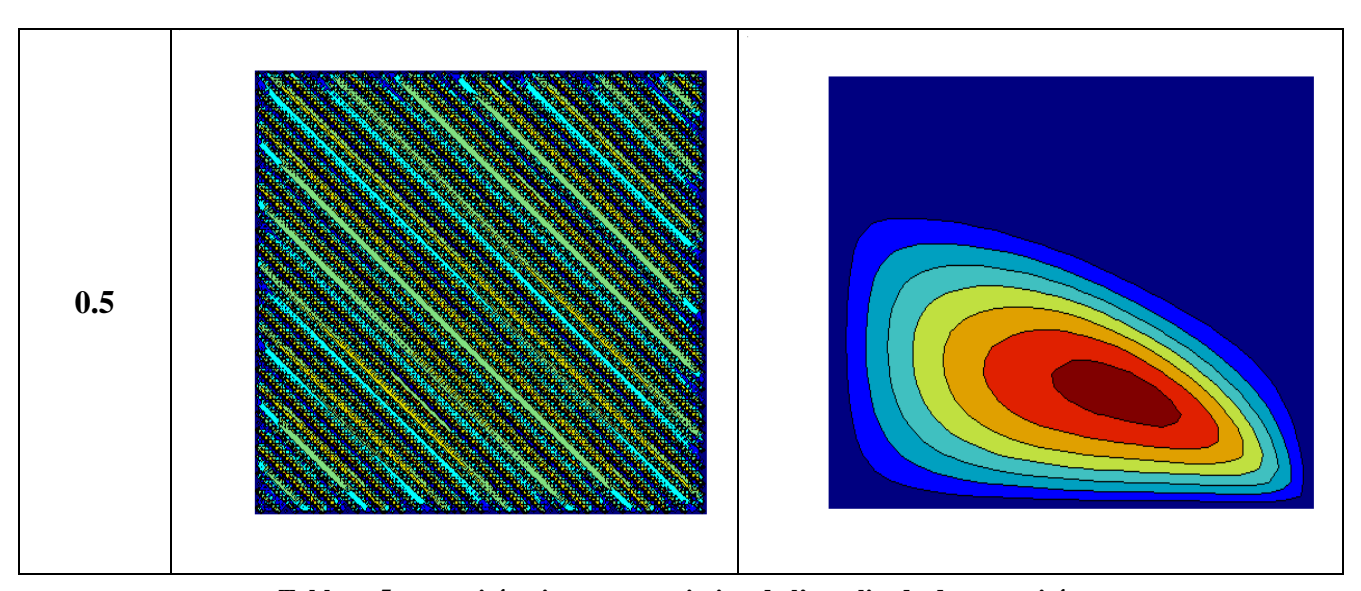


Tableau 5 : rugosité anisotrope, variation de l'amplitude des rugosités.

On peut remarquer que l'augmentation de l'amplitude des rugosités rend la Pression classique en trois dimension difficile à exploiter à cause du nombre insuffisant de point de discrétisation. Par contre elle oriente la Pression homogénéisée dans la direction des rugosités. Ainsi, plus l'amplitude de,s rugosités augmente, plus la Pression homogénéisée suit cette orientation. On peut évaluer la direction des rugosités uniquement en observant la forme de la Pression homogénéisée. Ainsi il est clair que pour des surfaces où les rugosités sont de forte amplitude la Pression classique s'avère inexploitable et que l'approche 'homogénéisation' est indispensable.

# Rugosités quelconques

# Variation du nombre de rugosités ( $n_r$ )

- $\overline{h}_{\min}$  = 1
- $\overline{\mu}$  = 1
- $\overline{V}$  = 1
- $R = 200 \overline{h}_{\min}$
- $\alpha = 0.25 \,\overline{h}_{\rm min}$

$n_r$	Pression exacte	Pression homogénéisée
10		
20		

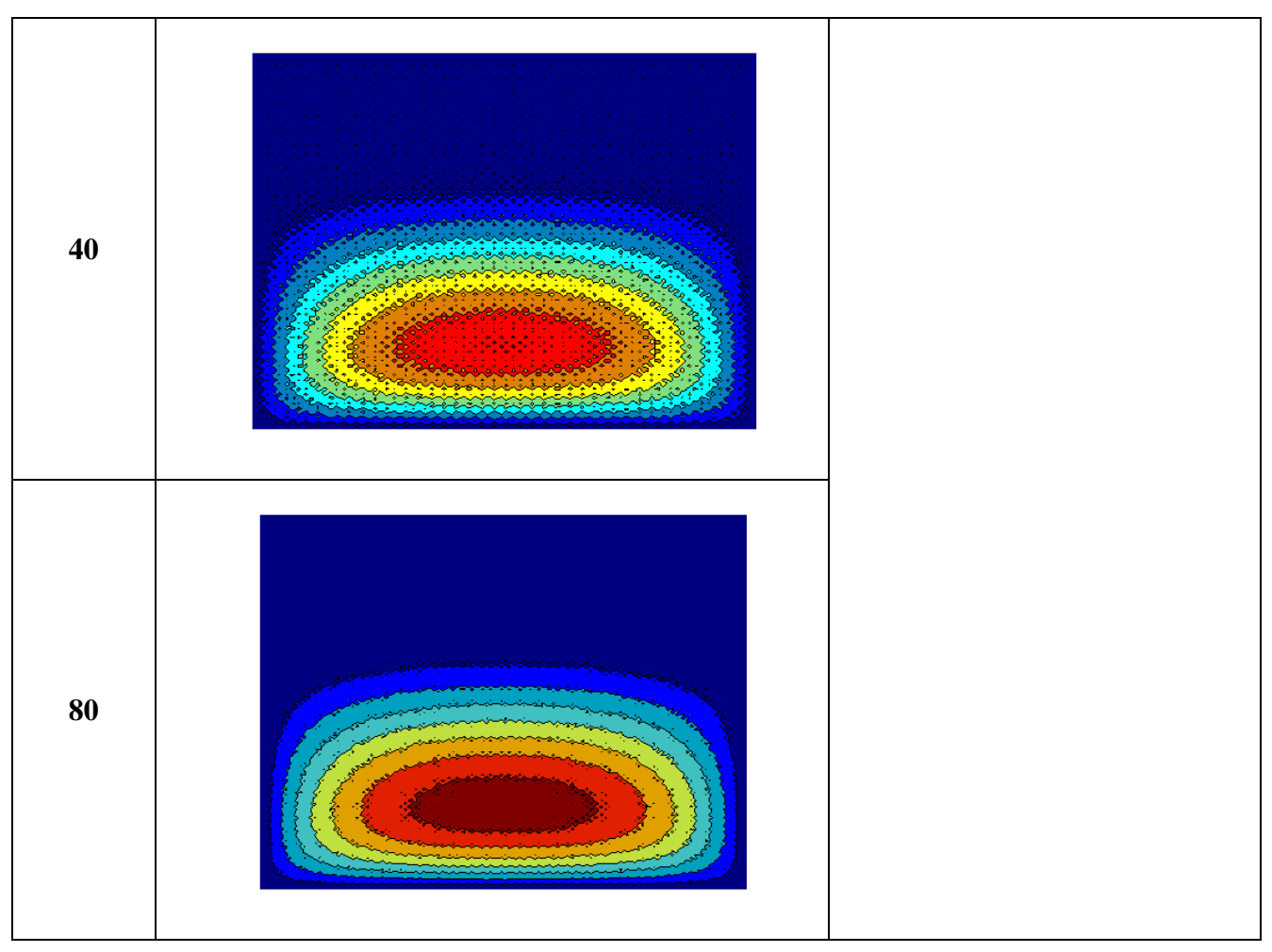


Tableau 6 : rugosité quelconque, variation du nombre de rugosités.

On remarque que l'augmentation du nombre de rugosité fait tendre la Pression classique vers la Pression homogénéisée. La Pression homogénéisée n'offre ici aucun attrait en dehors du temps de calcul et l'espace mémoire occupé via le nombre de points de discrétisation utilisé pour obtenir la Pression exacte.

# Variation de l'amplitude des rugosités ( $\alpha$ )

- $\overline{h}_{\min}$  = 1
- $\overline{\mu}$  = 1
- $\overline{V}$  = 1
- $R = 200 \overline{h}_{\min}$
- $\bullet \quad n_r = 80$

α 0.025	Pression exacte	Pression homogénéisée
0.25		

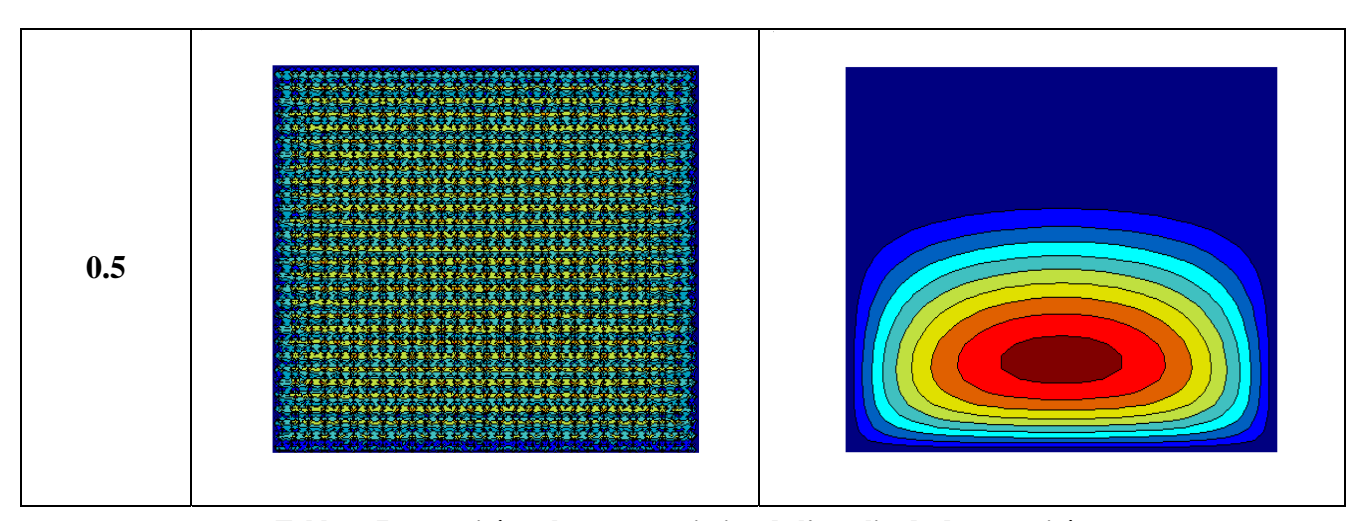


Tableau 7 : rugosité quelconque, variation de l'amplitude des rugosités.

L'augmentation de l'amplitude des rugosités rend la Pression classique inexploitable. L'augmentation de l'amplitude des rugosités n'a aucune influence sur la forme de la Pression homogène. A partir d'une certaine valeur de l'amplitude des rugosités la méthode d'homogénéisation est indispensable pour obtenir une Pression au problème.

# Rugosités transversales.

# Variation du nombre de rugosités $(n_r)$

- $\bar{h}_{\min}$  = 1
- $\mu$  = 1
- $\overline{V}$  = 1
- $R = 200 \overline{h}_{\min}$
- $\alpha = 0.25 \, \overline{h}_{\min}$

$n_r$	Pression exacte	Pression homogénéisée
10		
20		

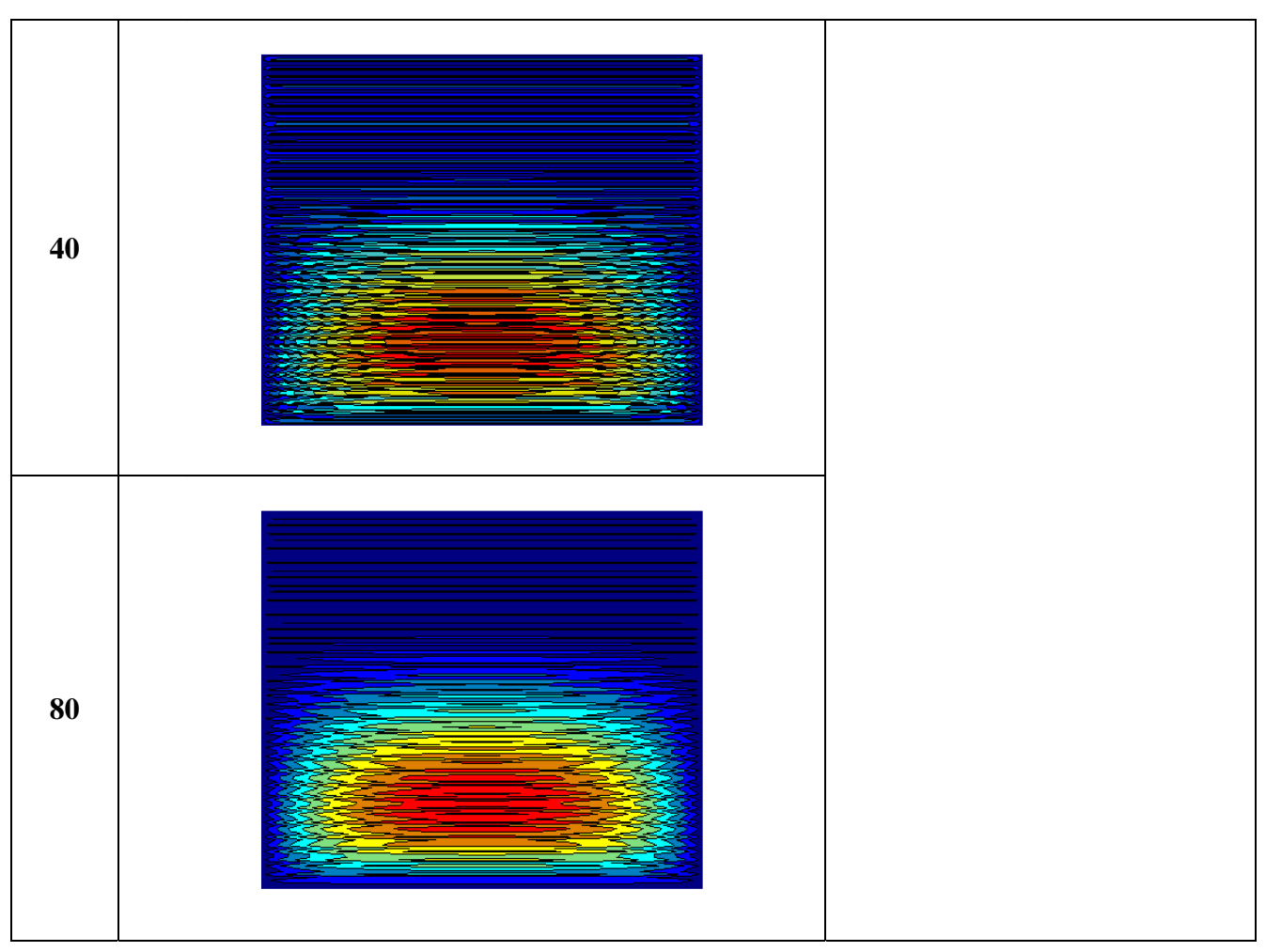


Tableau 8 : rugosité transversale, variation du nombre de rugosités.

On remarque que l'augmentation du nombre de rugosité fait tendre la Pression classique vers la Pression homogène. Dans ce cas hormis le temps de calcul pour obtenir la Pression finale du fait de la nécessité d'une discrétisation fine pour la Pression classique la Pression homogène offre peut d'attrait du point de vue fondamental.

# Variation de l'amplitude des rugosités ( $\alpha$ )

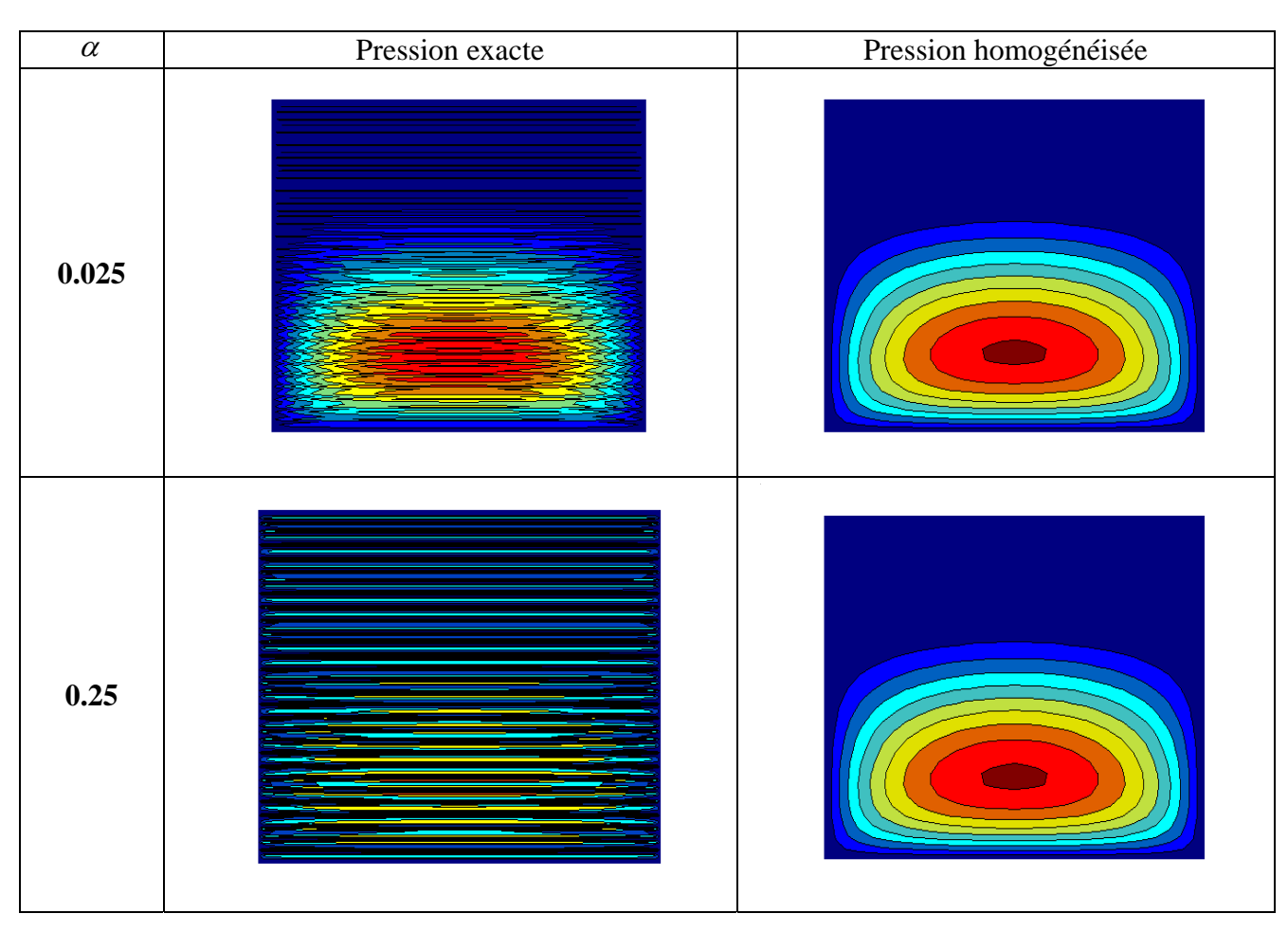
• 
$$\overline{h}_{\min} = 1$$

• 
$$\mu$$
 = 1

• 
$$\overline{V}$$
 = 1

• 
$$R = 200 \overline{h}_{\min}$$

• 
$$n_r = 80$$



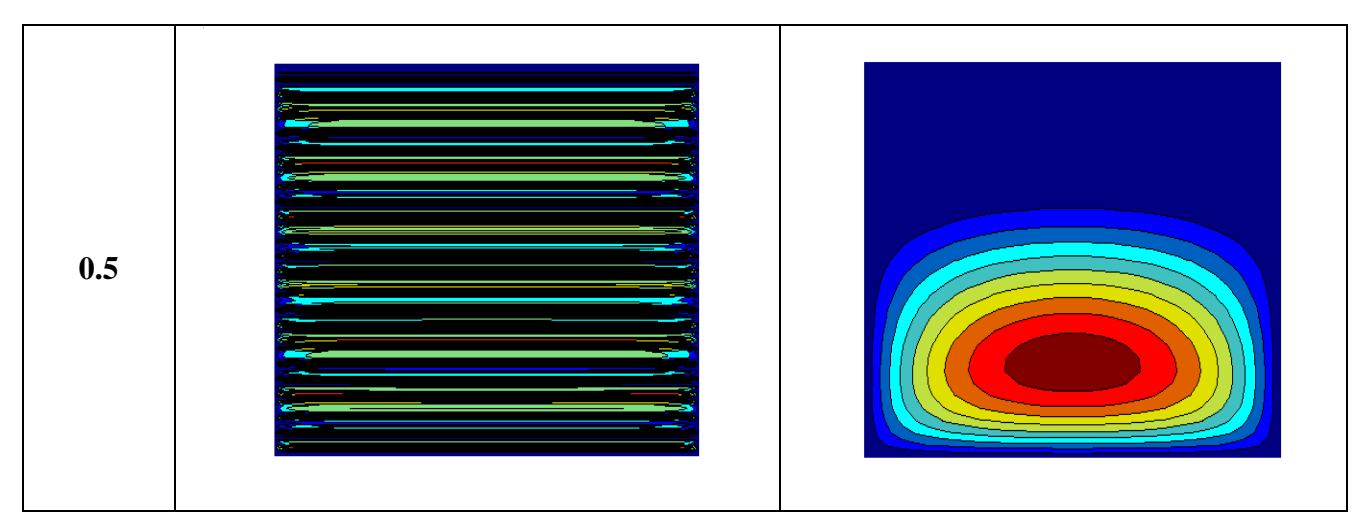


Tableau 9 : rugosité transversale, variation de l'amplitude des rugosités.

Comme dans les autres cas l'augmentation de l'amplitude des rugosités rend la Pression classique inexploitable. L'augmentation de l'amplitude des rugosités n'a aucune influence sur la Pression homogène.

## IX SYNTHÈSE DES DIFFÉRENTS RESULATS

Après analyse des différents résultats, des conclusions peuvent être tirées quant à l'efficacité de la technique de l'homogénéisation :

Pour des petites amplitudes par rapport à la hauteur minimale du film et un nombre important de rugosités, l'homogénéisation reste efficace quelque soit la forme de la rugosité. Dans ces conditions cette technique donne une bonne vue générale de distribution de la pression sur la surface de contact.

Pour une rugosité anisotrope, la technique de l'homogénéisation est indispensable pour donner des renseignements sur l'amplitude et la direction de cette dernière contrairement aux approches classiques qui s'avèrent déficientes dans ce cas . Cependant, l'attrait au sens fondamental de cette méthode reste moindre ( à part l'espace mémoire et le temps de calcul ) dans le cas d'une rugosité quelconque ou transversale.

## X CONCLUSION

L'objectif de ce chapitre était d'expliquer et de valider la méthode de l'homogénéisation. Cette technique a été appliquée à l'équation de Reynolds pour un fluide newtonien, ce qui nous a permis de comparer les résultats obtenus grâce à cette technique et ceux issus d'une approche dite classique.

Les résultats ont été concluants et leur analyse nous a permis de valider la méthode de l'homogénéisation et de montrer ses avantages et son indispensabilité dans certaines configurations.

Le prochain objectif de notre mémoire sera d'appliquer cette méthode à l'équation de Reynolds pour un fluide non Newtonien, équation qui est la plus à même de décrire le comportement de notre fluide au vu des conditions de « contact sévère » qu'on lui impose.

# **CHAPITRE 3 : EQUATION DE REYNOLDS NON-NEWTONIEN**

### I INTRODUCTION

Comme présenté précédemment, la théorie de la lubrification par film mince apparaît en 1886 avec le modèle mathématique établi par REYNOLDS connu sous le nom « d'équation de Reynolds » . La résolution de cette équation permet d'accéder à la distribution du champ de pression dans un contact lubrifié et ainsi à ses caractéristiques de fonctionnement. Une des principales hypothèses émises par Reynolds est que le lubrifiant possède un comportement newtonien, c'est à dire que la contrainte de cisaillement est proportionnelle au gradient de vitesse dans l'épaisseur du film.

Mais, compte tenu des sollicitations très sévères du fluide lors de certaines situations telles que le démarrage du système mécanique qu'il lubrifie, sa réponse ne peut plus être modélisée par une loi de type visqueux linéaire. L'équation de Reynolds classique n'est plus adaptée dans ce cadre.

Dans ce chapitre, une bibliographie sera faite sur le comportement non newtonien des fluides. Les lois de comportement rhéologiques seront présentées et discutées. Partant de ces lois de comportement et de certaines hypothèses que l'on précisera, on montrera le cheminement pour l'obtention de l'équation de Reynolds non newtonien ainsi que l'algorithme de résolution classique de cette dernière. Une fois l'algorithme et le logiciel de calcul mis en place, on fera varier tous les paramètres importants de la géométrie locale (nombre de rugosité, amplitude des rugosité, l'orientation des rugosités...) ainsi que les lois de comportement du fluide lubrifiant (newtonien, viscoélastique, viscoplastique,...). Les résultats seront discutés et des conclusions seront tirées quant à l'influence de tous ces paramètres en fonction des lois de comportement choisies.

### II FLUIDES NON-NEWTONIENS:

Lors d'un démarrage ou de conditions sévères de fonctionnement d'un palier, le lubrifiant est soumis à de forts taux de cisaillement, et une montée de température brutale. En général les fluides ont une viscosité qui dépend très largement de la température. La viscosité est une fonction décroissante de la température, elle chute très rapidement aux basses températures puis plus lentement aux températures élevées .

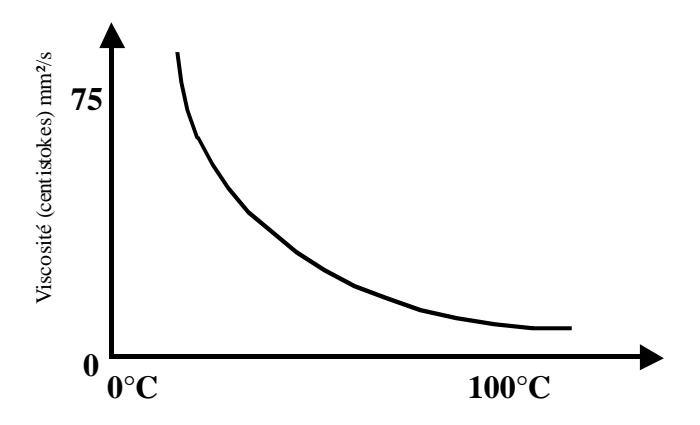


Figure 8 : Variation de la viscosité avec la température pour une huile minérale [31].

La relation de MAC COULL et WALTHER [30] peut être utilisée pour représenter cette évolution :

$$Log_{10}(Log_{10}(\upsilon+a)) = -m \times Log(T) + n$$
  
**Équation 22**

Avec:

• v: la viscosité cinématique,

• a,m,n: des constantes dépendant du lubrifiant,

• T: la température absolue.

La valeur de a dépend de l'unité de la viscosité; si v est en centistokes a est compris entre 0.6 et 0.75.

D'autre relations ont été proposées, on peut citer :

la relation de BARR [31]:

$$(Log_{10}(\upsilon+a))^{0,3} = A + \frac{B}{T}$$
Équation 23

la relation de HUGEL et CLAIRBOIS [31]:

$$Log_{10}(\mu+a)(T+b)=c$$

## **Équation 24**

οù

- v et  $\mu$  : sont respectivement les viscosités cinématique et dynamique de l'huile,
- $\bullet$  T: la température absolue,
- a, b, c, A et B: des constantes dépendant du lubrifiant.

Ainsi, il y a près de quarante ans, la nécessité de produire des lubrifiants qui présentent un meilleur comportement à hautes températures, ont conduit les pétroliers à ajouter à leur huiles minérales de base de longues chaînes de polymères. Celles-ci gonflent et s'étirent, et ainsi compensent la chute de viscosité. L'effet épaississant qu'ils génèrent permet aux lubrifiants additivés d'augmenter la viscosité des huiles de base. Les huiles automobiles qui étaient précédemment spécifiées soit à hautes températures (210°F), soit à basses températures (0°F), par leur niveau de viscosité ou grade, peuvent être caractérisées à ces deux températures. L'appellation « multigrade » a été donnée aux lubrifiants qui obéissent à de telles propriétés. Cette amélioration des performances en température a permis de garantir une certaine épaisseur de film d'huile dans les paliers et donc repousser les risques de grippage et prolonger la durée de vie du mécanisme.

Pour caractériser la viscosité du film, une grandeur est utilisée et est appelée **indice de viscosité** ( indice VI ). Pour déterminer l'indice de viscosité d'une huile de viscosité U à  $100^{\circ}F$  et P à  $210^{\circ}F$ , DEAN et DAVIS, en 1929 [27] proposèrent une formule d'usage universel qui revient à rechercher les viscosités respectives des huiles L et H à  $100^{\circ}F$  des huiles de référence à caractère paraffinique et naphtènique ayant la viscosité P à  $210^{\circ}F$ . L'indice de viscosité VI est alors donné par :

$$VI = 100 \frac{L - U}{L - H}$$

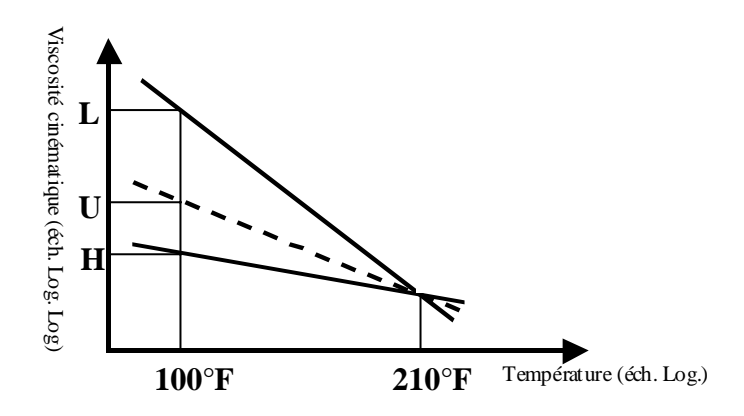


Figure 9: Définition de l'indice de viscosité.

Néanmoins, ce progrès s'est accompagné par une modification du comportement de ces huiles qui ne correspond plus au comportement newtonien, où la viscosité ne dépend que de la pression et de la température, et où une relation linéaire entre les taux de déformations et les contraintes suffit pour décrire le comportement du lubrifiant. Leur comportement est dénommé en général « non-newtonien », regroupant ainsi une grande multitude de lois constitutives dont regorge la littérature concernant la rhéologie.

### Chronologie des travaux dans ce domaine

De nombreux auteurs se sont penchés sur le problème de la caractérisation soit théorique, soit expérimentale de ces effets non-newtoniens. Nous citons essentiellement et chronologiquement les travaux d'OKRENT [32], de TANNER [33], de TAO et PHILIPPOFF [34], de HARNOY et HANIN [35], de NICOLAS [36], de TAYAL et AL [37], de DIEN et ELROD [38], de HUTTON et AL [39], de FRANCOIS [40] et de DERDOURI et AL [41] dans le domaine des paliers.

D'une manière générale, les différents modèles rhéologiques de type Maxwell utilisés en lubrification peuvent être classés en deux groupes :

## Les lois définies explicites :

Les équations représentatives de ce type de lois peuvent se mettre sous la forme suivante :

$$au_{ij} = \mu(P,T,\dot{\gamma}_{ij},...)\dot{\gamma}_{ij}$$
  
Équation 25

L'utilisation de ce type de relations permet d'accéder aux caractéristiques principales d'un contact lubrifié par la résolution des équations classiques de la mécanique des films minces. La non-linéarité du modèle rhéologique est exprimée par les variations de la viscosité apparente introduite dans les équations de Navier-Stokes ou dans l'équation de Reynolds Modifiée.

## Les lois définies implicites :

élongationelles [42], [43].

Dans ce cas, les contraintes de cisaillement ne peuvent plus s'exprimer de manière directe en fonction de  $\dot{\gamma}$ , et en général ce type de loi peut s'écrire de la manière suivante :

$$\dot{\gamma}_{ij} = C_1 \frac{d\tau_{ij}}{dt} + C_2 \tau_{ij}$$
 Équation 26

Les fonctions  $C_1$  et  $C_2$  peuvent dépendre du taux des déformations, de la contrainte de cisaillement, de la température, de la pression ou d'un seuil exprimé par une contrainte caractérisant l'écoulement du fluide [43]. Les modèles rhéologiques représentées par cette équation ne permettent plus l'utilisation des équations de Navier-Stokes ou de Reynolds classique. Une modification de ces équations ou l'établissement de nouvelles équations s'imposent afin de tenir compte de la forme différentielle de ces lois de comportement. Rappelons que dans le cadre de la lubrification hydrodynamique, en régime établi, on néglige dans ce type de lois (explicites ou implicites) l'influence des contraintes normales et

La dérivée totale  $\frac{d\tau_{ij}}{dt}$  peut être exprimée de trois manières différentes [annexe1]:

La dérivée de Jauman qui tient compte de l'effet de rotation de la particule fluide. Cette dérivée est utilisée lorsque les contraintes sont référencées à un repère fixe.

Lorsque les déformations dans le fluide sont importantes, la dérivée de Jauman est insuffisante et doit contenir des termes supplémentaires. Dans ces conditions, c'est la dérivée d'Oldroyd qui est utilisée.

Si les déformations élastiques du lubrifiant sont petites, la dérivée  $\frac{d\tau_{ij}}{dt}$  est approchée par la dérivée intrinsèque.

Dans la suite, nous passons en revue quelques modèles rhéologiques significatifs qui sont utilisées en lubrification en régime stationnaire.

### III RHÉOLOGIE:

L'étude du comportement rhéologique du lubrifiant permet d'accéder à un modèle mathématique exprimant la relation entre  $\tau_{ij}$  et les vitesses de déformations en utilisant les caractéristiques intrinsèques du fluide.

Nous passons en revue ci-après quelques modèles rhéologiques qui sont utilisés en lubrification et plus particulièrement en cisaillement continu.

## Modèle Newtonien:

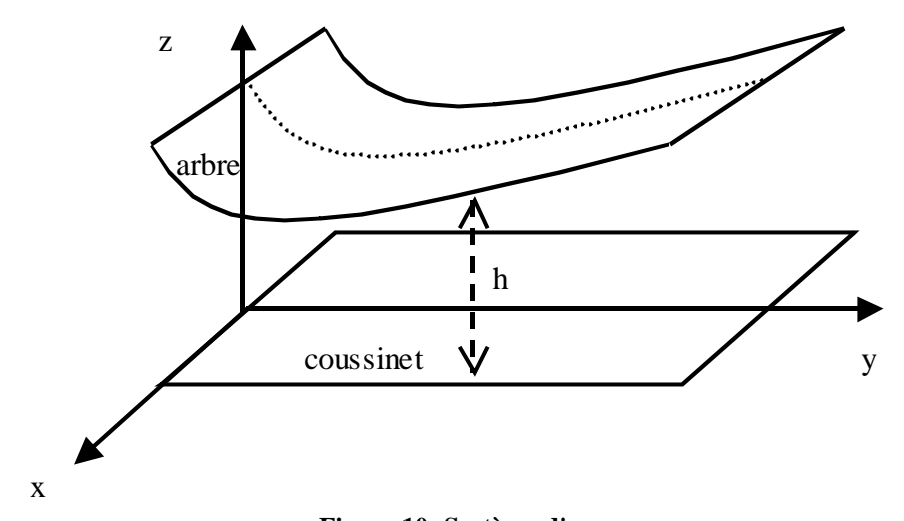


Figure 10: Système d'axes.

Les relations contraintes-vitesses de déformation sont linéaires. En mécanique des films minces où une dimension est très petite devant les autres, le gradient des vitesses est prépondérant suivant la direction de l'épaisseur du film. Les lois constitutives d'un fluide newtonien s'écrivent alors :

$$\begin{cases} \tau_{xz} = \mu \frac{\partial u}{\partial z} \\ \tau_{yz} = \mu \frac{\partial v}{\partial z} \end{cases}$$

Équation 27

Avec:

•  $\mu$  : la viscosité dynamique,

• u et v : les vitesses des particules du fluide suivant les directions x et y,

•  $\tau_{xz}$  et  $\tau_{yz}$ : les contraintes de cisaillement.

# Modèle visqueux non linéaire :

Les vitesses des déformations visqueuses sont gouvernées par le second invariant du tenseur des contraintes [42], [43]. Une contrainte équivalente est alors définie suivant le critère de Von Mises :

$$\tau_e = \sqrt{\frac{1}{2} \tau_{ij} \tau_{ji}}$$

### **Équation 28**

Dans notre cas, seules les contraintes de cisaillement sont considérées, alors la contrainte équivalente s'exprime par :

$$\tau_e = \sqrt{\tau_{xz}^2 + \tau_{yz}^2}$$

# **Équation 29**

Le modèle visqueux non-linéaire peut être donné par des relations qui sont de la forme suivante :

$$\begin{cases} \frac{\partial u}{\partial z} = \tau_{xz} \frac{F(\tau_e)}{\tau_e} \\ \frac{\partial v}{\partial z} = \tau_{yz} \frac{F(\tau_e)}{\tau_e} \end{cases}$$

**Équation 30** 

 $\frac{F(\tau_e)}{\tau_e}$  est une fonction qui relie indirectement les contraintes aux taux de déformation sous diverses formes dont on verra quelques exemples significatifs.

## Modèle viscoélastique linéaire :

Ce modèle superpose deux types de déformations de la particule fluide :

une déformation élastique linéaire qui, en supposant le lubrifiant incompressible et isotrope, peut être décrit par la loi de type Hooke :

$$\dot{\gamma}_{ij}^e = \frac{1}{G} \frac{d\tau_{ij}}{dt}$$

#### **Équation 31**

avec G étant le module de cisaillement du fluide ,une partie visqueuse linéaire qui est décrite par la loi de Newton :

$$\dot{\gamma}_{ij}^{v} = \frac{1}{u} \tau_{ij}$$

# **Équation 32**

Donc, le taux des déformations total s'exprime par :

$$\dot{\gamma}_{ij} = \dot{\gamma}_{ij}^e + \dot{\gamma}_{ij}^v = \frac{1}{G} \frac{d\tau_{ij}}{dt} + \frac{1}{\mu} \tau_{ij}$$
**Équation 33**

Dans le cas du cisaillement continu où seules les contraintes  $\tau_{xz}$  et  $\tau_{yz}$  sont prises en compte, ce modèle se traduit par deux équations :

$$\begin{cases} \frac{\partial u}{\partial z} = \frac{1}{G} \frac{d\tau_{xz}}{dt} + \frac{\tau_{xz}}{\mu} \\ \frac{\partial v}{\partial z} = \frac{1}{G} \frac{d\tau_{yz}}{dt} + \frac{\tau_{yz}}{\mu} \end{cases}$$

**Equation 34** 

### Modèle viscoélastique non linéaire:

Les expressions les plus simples de ce type de comportement sont des expressions de type Maxwell non linéaires :

$$\begin{cases} \frac{\partial u}{\partial z} = \frac{1}{G} \frac{d\tau_{xz}}{dt} + \tau_{xz} \frac{F(\tau_e)}{\tau_e} \\ \frac{\partial v}{\partial z} = \frac{1}{G} \frac{d\tau_{yz}}{dt} + \tau_{yz} \frac{F(\tau_e)}{\tau_e} \end{cases}$$
Equation 35.

avec  $\frac{F(\tau_e)}{\tau_e}$  pouvant prendre différentes formes proposées dans la littérature. Ainsi, par exemple ,un sinus hyperbolique rend compte des résultats de REE et EYRING [44], [45].

La dérivée  $\frac{d\tau_{ij}}{dt}$  peut s'exprimer de trois façons différentes selon que l'on utilise la dérivée intrinsèque de JAUMAN ou d'OLDROYDS [annexe 1].

Pour généraliser la formulation pour la détermination des caractéristiques d'un contact lubrifié, en rendant possible la prise en compte de plusieurs types de modèles rhéologiques, les lois de comportement sont mises sous les formes suivantes :

$$\begin{cases} \frac{\partial u}{\partial z} = A \frac{d\tau_{xz}}{dt} + \tau_{xz} \frac{F(\tau_e)}{\tau_e} \\ \frac{\partial v}{\partial z} = A \frac{d\tau_{yz}}{dt} + \tau_{yz} \frac{F(\tau_e)}{\tau_e} \end{cases}$$

Equation 36

avec:

A=0, quand on ne tient pas compte de l'élasticité du fluide

 $A=\frac{1}{G}$ , quand le lubrifiant se comporte en partie comme un corps élastique avec G le module de cisaillement du fluide

Par ailleurs, les variations des caractéristiques du lubrifiant avec la pression et la température sont supposés de la forme et ce pour des variations limitées de température [48], [49]:

$$C(P,T) = C_0 \exp \left[ \alpha_c P + \beta_c \left( \frac{1}{T} + \frac{1}{T_0} \right) \right]$$

### **Équation 37**

Avec:

- C(P,T): valeur de la caractéristique C du lubrifiant à une pression et température données. Elle peut représenter une viscosité, un module de cisaillement ou une contrainte.  $C_0$  représente la valeur initiale de cette caractéristique.
- $\alpha_c$ ,  $\beta_c$ : coefficients exprimant la variation de cette caractéristique avec la pression et la température.
- $T_0$ : température de référence

### IV EQUATION GÉNÉRALISÉE DE LA MÉCANIQUE DES FILMS MINCES NON-NEWTONIEN:

Pour obtenir l'équation généralisée de la mécanique des films minces nonnewtoniens, les équations suivantes ont été utilisées [50], [47]:

- Les équations d'équilibre,
- Les deux lois de comportement,
- L'équation de continuité.

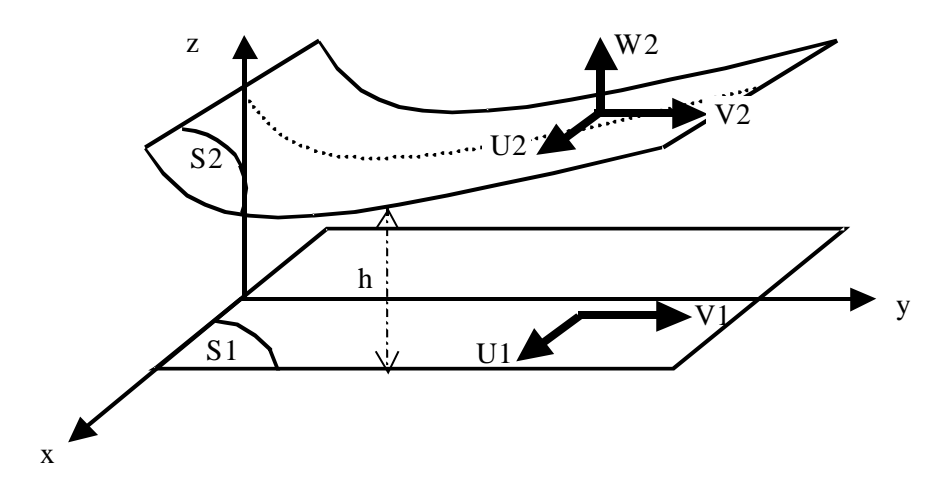


Figure 11: Système d'axes.

## Equations d'équilibre :

Les équations d'équilibre s'écrivent [23], [42]:

$$\begin{cases} \frac{\partial P}{\partial x} = \frac{\partial \tau_{xz}}{\partial z} \\ \frac{\partial P}{\partial y} = \frac{\partial \tau_{yz}}{\partial z} \\ \frac{\partial P}{\partial z} = 0 \end{cases}$$

**Équation 38** 

On peut remarquer que ces équations sont celles de Navier-Stokes dans le cas de la mécanique des films minces visqueux.

On peut donner une interprétation physique à ces équations d'équilibre en se référant à la figure en deux dimensions [42] suivante:

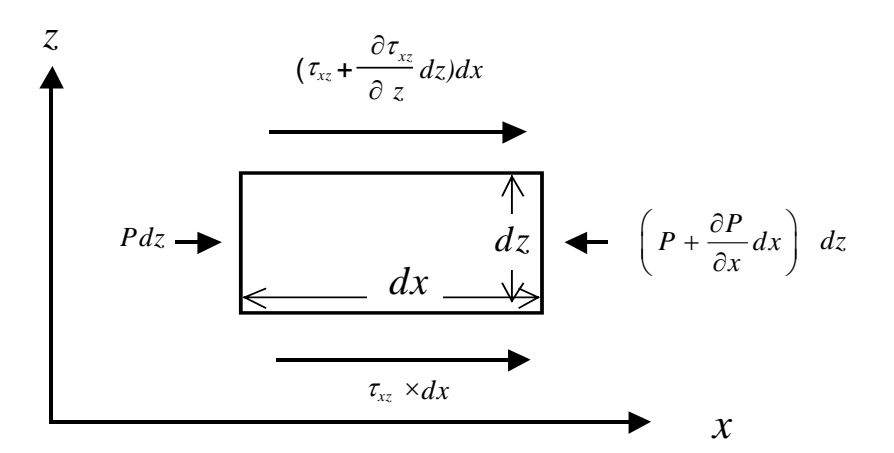


Figure 12: Equilibre d'un élément infiniment petit

## **Equation de comportement :**

Les équations qui régissent le comportement rhéologique du lubrifiant sont rappelées ci dessous :

$$\begin{cases} \frac{\partial u}{\partial z} = \frac{1}{G} \frac{d\tau_{xz}}{dt} + \tau_{xz} \frac{F(\tau_e)}{\tau_e} \\ \frac{\partial v}{\partial z} = \frac{1}{G} \frac{d\tau_{yz}}{dt} + \tau_{yz} \frac{F(\tau_e)}{\tau_e} \\ \text{Équation 39} \end{cases}$$

### Equation de continuité

En supposant que le régime est laminaire et le fluide incompressible, l'équation de la conservation de la masse se simplifie comme suit :

$$\frac{\partial u}{\partial x} + \frac{\partial v}{\partial y} + \frac{\partial w}{\partial z} = 0$$

### **Équation 40**

Ces équations aux dérivée partielles [Équation 38, Équation 39 et Équation 40] après quelques manipulations [annexe 2] peuvent être remplacées par une seule équation [Équation 41]:

$$\frac{\partial}{\partial x} \left( G_m \frac{\partial P}{\partial x} \right) + \frac{\partial}{\partial y} \left( G_m \frac{\partial P}{\partial y} \right) = \frac{\partial}{\partial x} \left( U_2 (R_2 - F_m) + U_1 F_m \right) + \frac{\partial}{\partial y} \left( V_2 (R_2 - F_m) + V_1 F_m \right) \\
+ U_1 \frac{\partial H_1}{\partial x} + V_1 \frac{\partial H_1}{\partial y} - U_2 \frac{\partial H_2}{\partial x} - V_2 \frac{\partial H_2}{\partial y} + (W_2 - W_1) - \left( \frac{\partial L_{mx}}{\partial x} + \frac{\partial L_{my}}{\partial y} \right) \\$$
**Équation 41**

Avec:

- $H_1$  et  $H_2$ : les hauteurs des surfaces  $S_1$  et  $S_2$ .
- $U_1$ ,  $V_1$  et  $W_1$ : les vitesses de  $S_1$  suivant les trois directions,
- $U_2$ ,  $V_2$  et  $W_2$ : les vitesses de  $S_2$  suivant les trois directions,
- $\bullet \quad R_2 = H_2, R = h$

$$\bullet \qquad F_m = \frac{1}{J_{m_2}} \int_{H_1}^h \frac{F(\tau_e)}{\tau_e} z dz$$

$$\bullet \quad G_m = \int_{H_1}^h \frac{F(\tau_e)}{\tau_e} z^2 dz - I_{m_2} F_m$$

$$\bullet \quad L_{m_x} = \int_{H_1}^h A \frac{d\tau_{xz}}{dt} z dz - K_{m_{xz}} F_m$$

$$\bullet \quad L_{m_y} = \int_{H_1}^h A \frac{d\tau_{xz}}{dt} z dz - K_{m_{yz}} F_m$$

$$\bullet I_{m_2} = \int_{H_1}^{H_2} \frac{F(\tau_e)}{\tau_e} z dz$$

$$\bullet K_{m_{x2}} = \int_{H_1}^{H_2} A \frac{d\tau_{xz}}{dt} dz$$

$$\bullet K_{m_{y2}} = \int_{H_1}^{H_2} A \frac{d\tau_{yz}}{dt} dz$$

Lorsque la vitesse d'une paroi du contact est tangente à celle-ci, l'équation peut se simplifier. En effet, en plaçant l'origine du système d'axes sur cette paroi, on peut poser :

•  $H_1=0$  et  $H_2=h$  (ici h est l'épaisseur totale du film)

Les conditions aux limites sur le champ des vitesses s'écrivent alors :

- Sur  $S_1$ , pour z=0:  $U=U_1$ ,  $V=V_1$ , W=0
- Sur  $S_2$ , pour z=h:  $U=U_2$ ,  $V=V_2$ ,  $W=W_2$

$$\frac{\partial}{\partial x} \left( G_{m} \frac{\partial P}{\partial x} \right) + \frac{\partial}{\partial y} \left( G_{m} \frac{\partial P}{\partial y} \right) =$$

$$\frac{\partial}{\partial x} \left( U_{2}(R_{2} - F_{m}) + U_{1}F_{m} \right) + \frac{\partial}{\partial y} \left( V_{2}(R_{2} - F_{m}) + V_{1}F_{m} \right) - U_{2} \frac{\partial h}{\partial x} - V_{2} \frac{\partial h}{\partial y} + W_{2} - \left( \frac{\partial L_{mx}}{\partial x} + \frac{\partial L_{my}}{\partial y} \right)$$

**Équation 42** 

Cette nouvelle équation généralisée des films minces peut prendre en compte tous les modèles rhéologiques que l'on a cité dans la partie précédente.

Dans l'équation de Reynolds classique, les coefficients  $I_{m2}$ ,  $J_{m2}$ ,  $F_m$  sont exprimés en fonction de l'inverse de la viscosité dynamique  $\mu$  qui est fonction de la pression et de la température seulement. Par contre dans l'équation de Reynolds modifiée, les expressions de ces différents coefficients font apparaître le terme visqueux  $\frac{F(\tau_e)}{\tau_e}$  des équations de

comportement qui, en plus de la pression et de la température, dépend de la contrainte équivalente  $\tau_e$  et d'une contrainte caractéristique du lubrifiant.

Deux fonctions supplémentaires  $L_{mx}$  et  $L_{my}$  apparaissent dans l'équation de Reynolds modifiée. Ces fonctions ont la dimension d'un débit volumique. Les  $\frac{\partial L_{mx}}{\partial x}$  et  $\frac{\partial L_{my}}{\partial y}$  correspondent donc à des variations du débit volumique dans le contact induits par les déformations élastiques du lubrifiant.

## V RÉSOLUTION DE L'ÉQUATION DE REYNOLDS NON-NEWTONIEN

L'équation de Reynolds pour un fluide non-Newtonien est une équation aux dérivées partielles du second ordre de type elliptique qui n'admet pas de solutions analytiques. Il est nécessaire d'utiliser une méthode numérique ici la méthode des différences finies pour la résoudre.

# **Equation de Reynolds non-Newtonien pour un palier :**

Dans la configuration d'un palier développé on a :

- la surface inférieure fixe.
- pas de déplacement de l'arbre suivant sa longueur,
- pas de mésalignement,
- jeu faible.

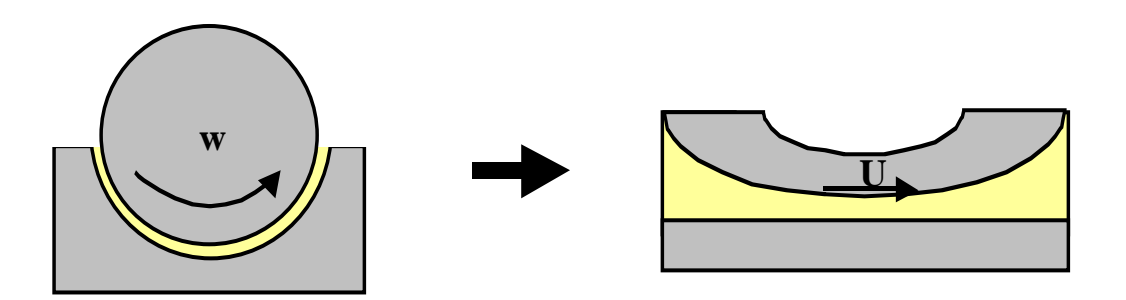


Figure 13: Palier et son développé.

Ainsi, l'équation générale de Reynolds Modifiée s'écrit :

$$\frac{\partial}{\partial x} \left( G_{m} \frac{\partial P}{\partial x} \right) + \frac{\partial}{\partial y} \left( G_{m} \frac{\partial P}{\partial y} \right) =$$

$$\frac{\partial}{\partial x} \left( U_{2} (R_{2} - F_{m}) + U_{1} F_{m} \right) + \frac{\partial}{\partial y} \left( V_{2} (R_{2} - F_{m}) + V_{1} F_{m} \right) - U_{2} \frac{\partial h}{\partial x} - V_{2} \frac{\partial h}{\partial y} + W_{2} - \left( \frac{\partial L_{mx}}{\partial x} + \frac{\partial L_{my}}{\partial y} \right)$$

puis se simplifie dans notre cas de la manière suivante :

$$\frac{\partial}{\partial x} \left( G_m \frac{\partial P}{\partial x} \right) + \frac{\partial}{\partial y} \left( G_m \frac{\partial P}{\partial y} \right) = \frac{\partial}{\partial x} \left( U F_m \right) - \left( \frac{\partial L_{mx}}{\partial x} + \frac{\partial L_{my}}{\partial y} \right)$$

Équation 43: Equation de Reynolds Modifiée

### Résolution de l'équation de Reynolds Modifiée :

La résolution analytique de l'équation de Reynolds pour un fluide non-Newtonien est impossible. La résolution numérique revient à initialiser le fluide dans un premier temps en tant que newtonien, puis le considérer par la suite comme non-Newtonien. L'organigramme suivant résume le processus de calcul.

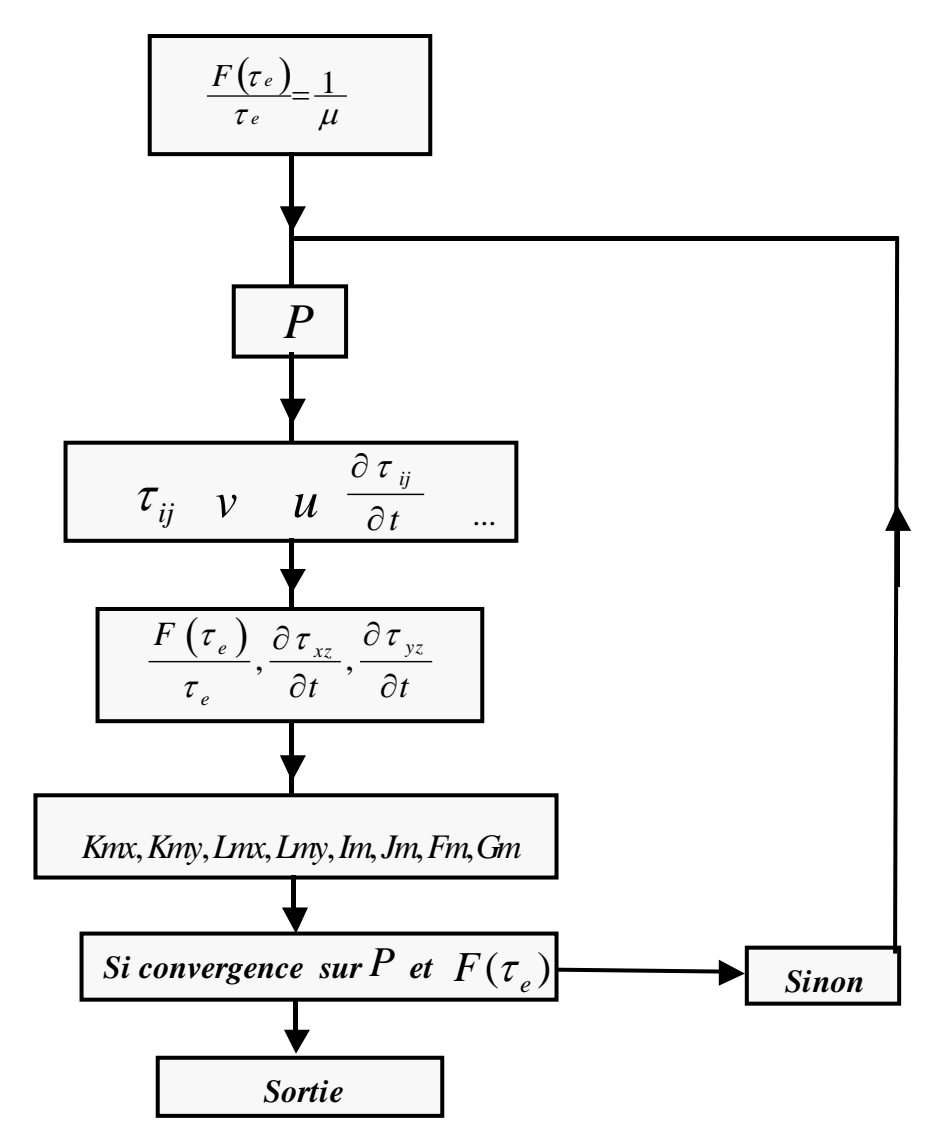


Figure 14: Algorithme de résolution de l'équation de Reynolds Modifiée

# VI RÉSULTATS:

Différentes lois vont être testées par la suite afin de pouvoir comparer les résultats obtenus avec ceux issus du modèle de base c'est à dire le modèle Newtonien, ainsi le premier modèle que l'on va présenter sera le modèle Newtonien puis ensuite le modèle viscoélastique de type Ree-Eyring [53] et enfin le modèle viscoplastique de type Winer [52] Nous feront évoluer tous les paramètres importants du contact afin d'évaluer leur influence. Celle du module de cisaillement se fera au prochain chapitre.

Les valeurs choisies sont toutes normalisées car notre objectif ici est uniquement comparatif.

## **Modèle Newtonien:**

Dans le modèle newtonien, la partie élastique est nulle et la partie visqueuse est constante et est égale à l'inverse de la viscosité.

$$\begin{cases} \frac{\partial u}{\partial z} = \frac{\tau_{xz}}{\mu} \\ \frac{\partial v}{\partial z} = \frac{\tau_{yz}}{\mu} \end{cases}$$

Ce qui revient à écrire que :

$$\frac{F(\tau_e)}{\tau_e} = \frac{1}{\mu}$$

Le fluide est caractérisé par sa viscosité  $\mu$ .

Nous rappelons les trois formes de rugosité étudiées : une forme de rugosité anisotrope, une rugosité quelconque et une rugosité transversale.

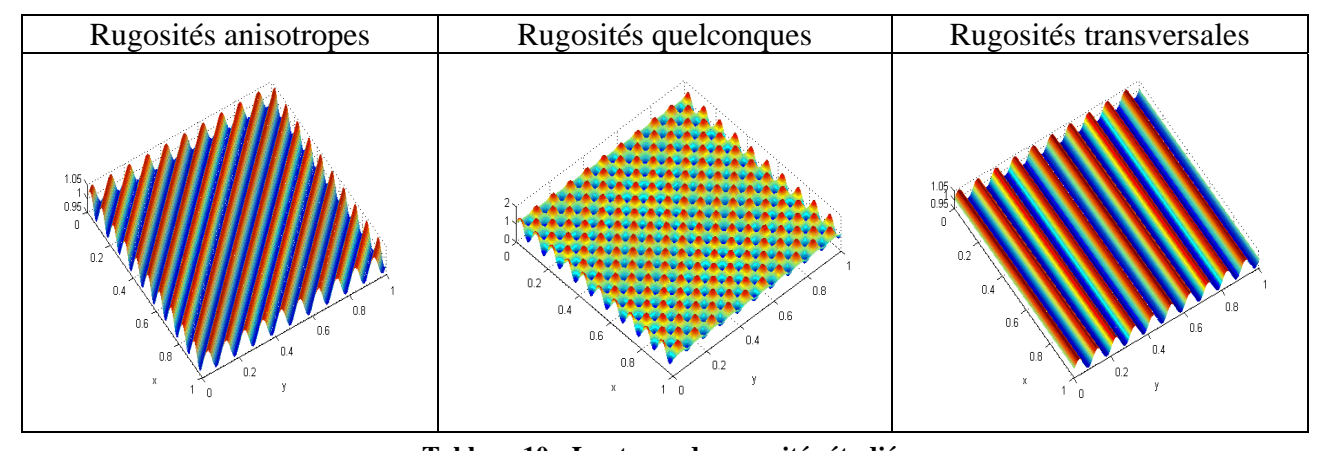


Tableau 10 : Les types de rugosités étudiés

# Variation de l'amplitude des rugosités ( $\alpha$ )

- $\bullet$   $\overline{h}_{\min} = 1$
- $\overline{\mu}$  = 1
- $\overline{V}$  = 1
- $\overline{R}$  = 1

- $n_r = 10$
- $\bullet \quad \frac{L}{D} \qquad = 1$
- $\bullet \quad \frac{1}{G} \qquad = 0$

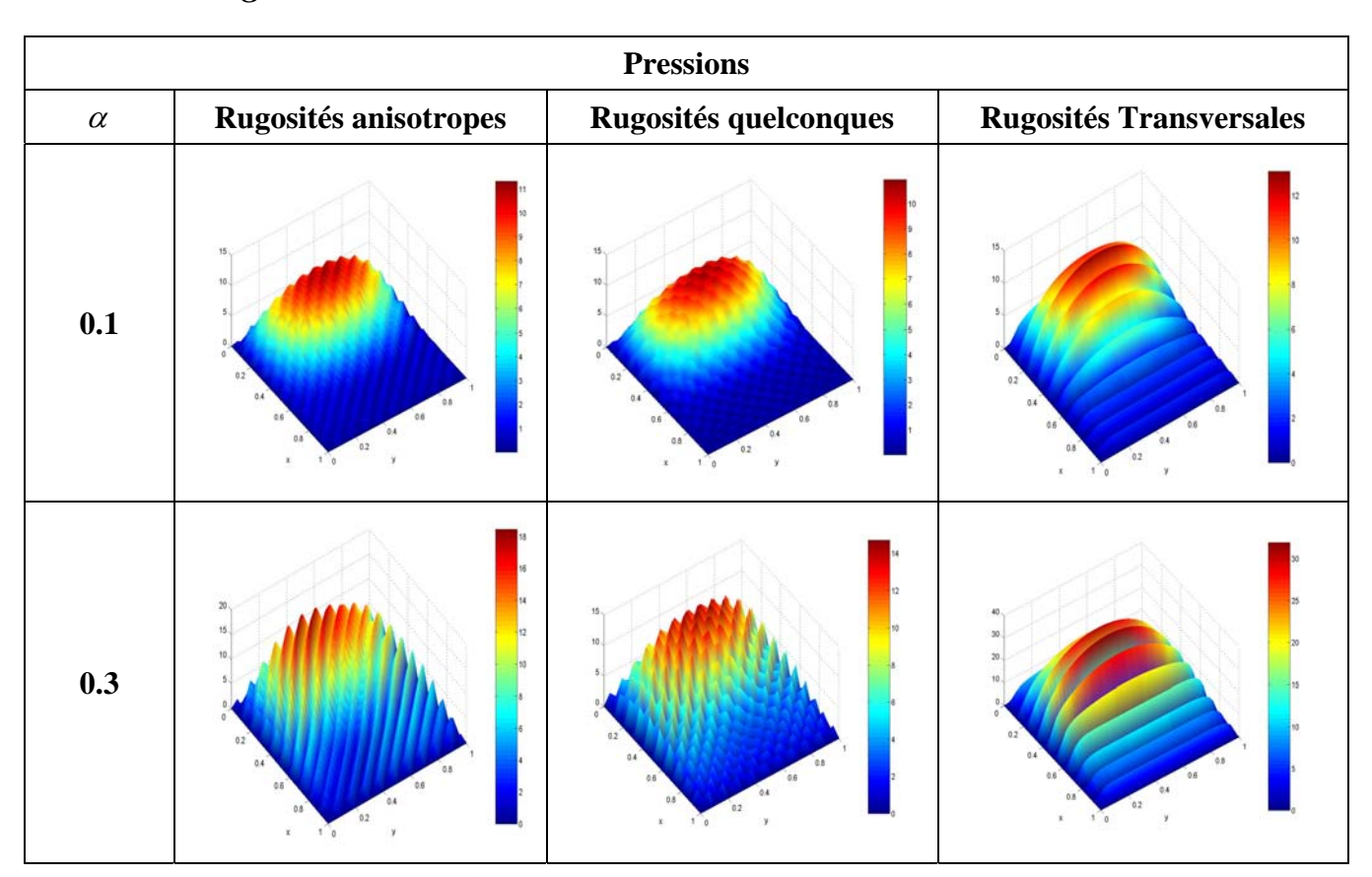


Tableau 11 : Modèle Newtonien avec variation de l'amplitude des rugosités.

On retrouve pour deux valeurs d'amplitude de rugosité une parfaite similitude des profils de pression. L'analyse des figures ci dessus confirme dans ce cas la validité du logiciel développé pour la théorie non-Newtonienne présentée plus haut, les figures sont exactement celles que l'on a obtenues avec la théorie utilisant l'équation de Reynolds classique.

## Modèle visqueux non linéaire :

Les expressions les plus simples de ce type de comportement sont de type Maxwell non linéaires :

$$\begin{cases} \frac{\partial u}{\partial z} = \frac{1}{G} \frac{d\tau_{xz}}{dt} + \tau_{xz} \frac{F(\tau_e)}{\tau_e} \\ \frac{\partial v}{\partial z} = \frac{1}{G} \frac{d\tau_{yz}}{dt} + \tau_{yz} \frac{F(\tau_e)}{\tau_e} \end{cases}$$

Avec  $\frac{F(\tau_e)}{\tau_e}$  pouvant se mettre sous différentes formes comme présenté précédemment.

# Modèle viscoélastique de type Ree-Eyring

Ici la loi  $\frac{F(\tau_e)}{\tau_e}$  est remplacée par une loi de type Ree-Eyring [53] :

$$\begin{cases} \frac{\partial u}{\partial z} = \frac{1}{G} \frac{d\tau_{xz}}{dt} + \frac{\tau_{xz}}{\mu} \frac{\tau_r}{\tau_e} \sinh(\frac{\tau_e}{\tau_r}) \\ \frac{\partial v}{\partial z} = \frac{1}{G} \frac{d\tau_{yz}}{dt} + \frac{\tau_{yz}}{\mu} \frac{\tau_r}{\tau_e} \sinh(\frac{\tau_e}{\tau_r}) \end{cases}$$

Éguation 44

On se retrouve ici avec trois paramètres liés à la rhéologie du fluide qui sont G,  $\mu$  et  $\tau_r$  (module de cisaillement, viscosité dynamique et contrainte de référence) ainsi que d' autres paramètres intrinsèques à la géométrie du contact, tels que le nombre de rugosités dans le contact, leur amplitude, la hauteur minimale...etc.

# Variation de la contrainte de référence $(\tau_r)$

• 
$$\overline{h}_{\min} = 1$$

• 
$$\overline{\mu}$$
 = 1

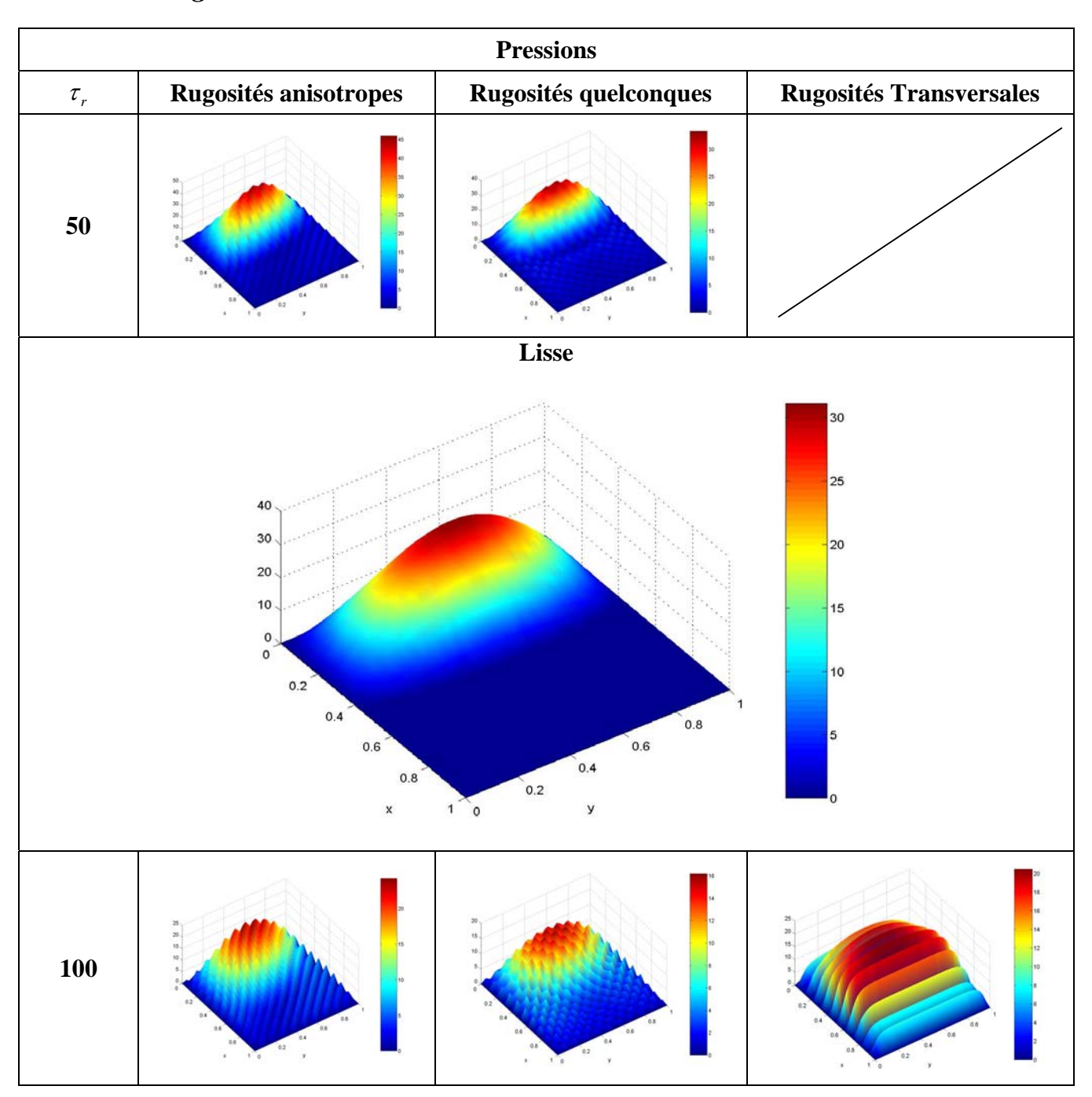
$$\bullet$$
  $\overline{V}$  = 1

• 
$$\overline{R}$$
 = 1

$$\bullet$$
  $n_r = 10$ 

• 
$$\frac{L}{D}$$
 = 1

$$\bullet \quad \frac{1}{G} \qquad = 0$$



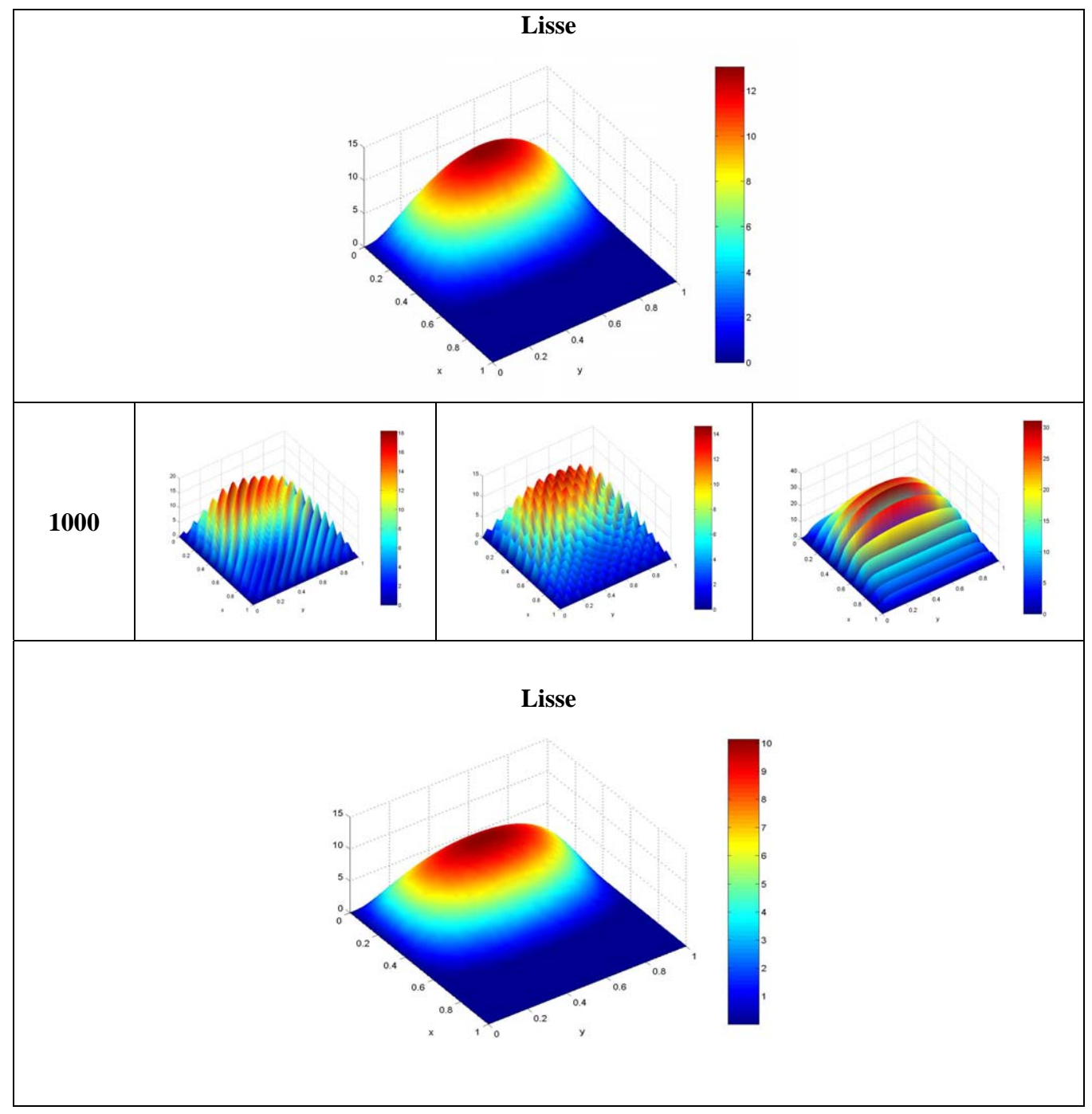
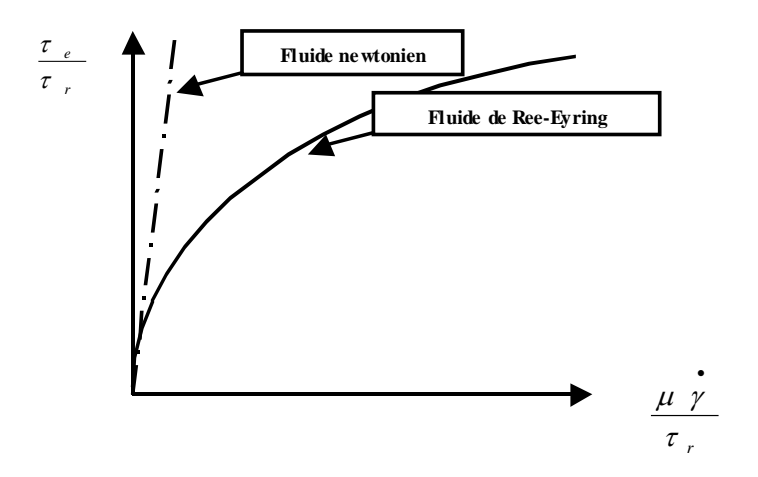


Tableau 12 : Modèle Viscoélastique de type Ree-Eyring avec variation de la Contrainte de référence

L'analyse des figures ci dessus nous montre que l'augmentation de  $\tau_r$  la contrainte de référence fait diminuer la pression et fait tendre le comportement du fluide vers un fluide newtonien, ce qui confirme la théorie et est en accord avec les prévisions de JOHNSON et TEVAARWERK[53]. On remarquera aussi que l'augmentation de l'inclinaison des rugosités par rapport à la direction de l'écoulement a logiquement tendance à augmenter la pression.



Équation 45 : Loi de comportement rhéologique du fluide de Ree-Eyring

# Variation du nombre de rugosités $(n_r)$

$$\bullet$$
  $\overline{h}_{\min} = 1$ 

• 
$$\overline{\mu}$$
 = 1

• 
$$\overline{V}$$
 = 1

• 
$$\overline{R}$$
 = 1

• 
$$\tau_r = 100.0$$

• 
$$\alpha = 0.3 \, \overline{h}_{\min}$$

$$\bullet \quad \frac{L}{D} \qquad = 1$$

$$\bullet \quad \frac{1}{G} \qquad = 0$$

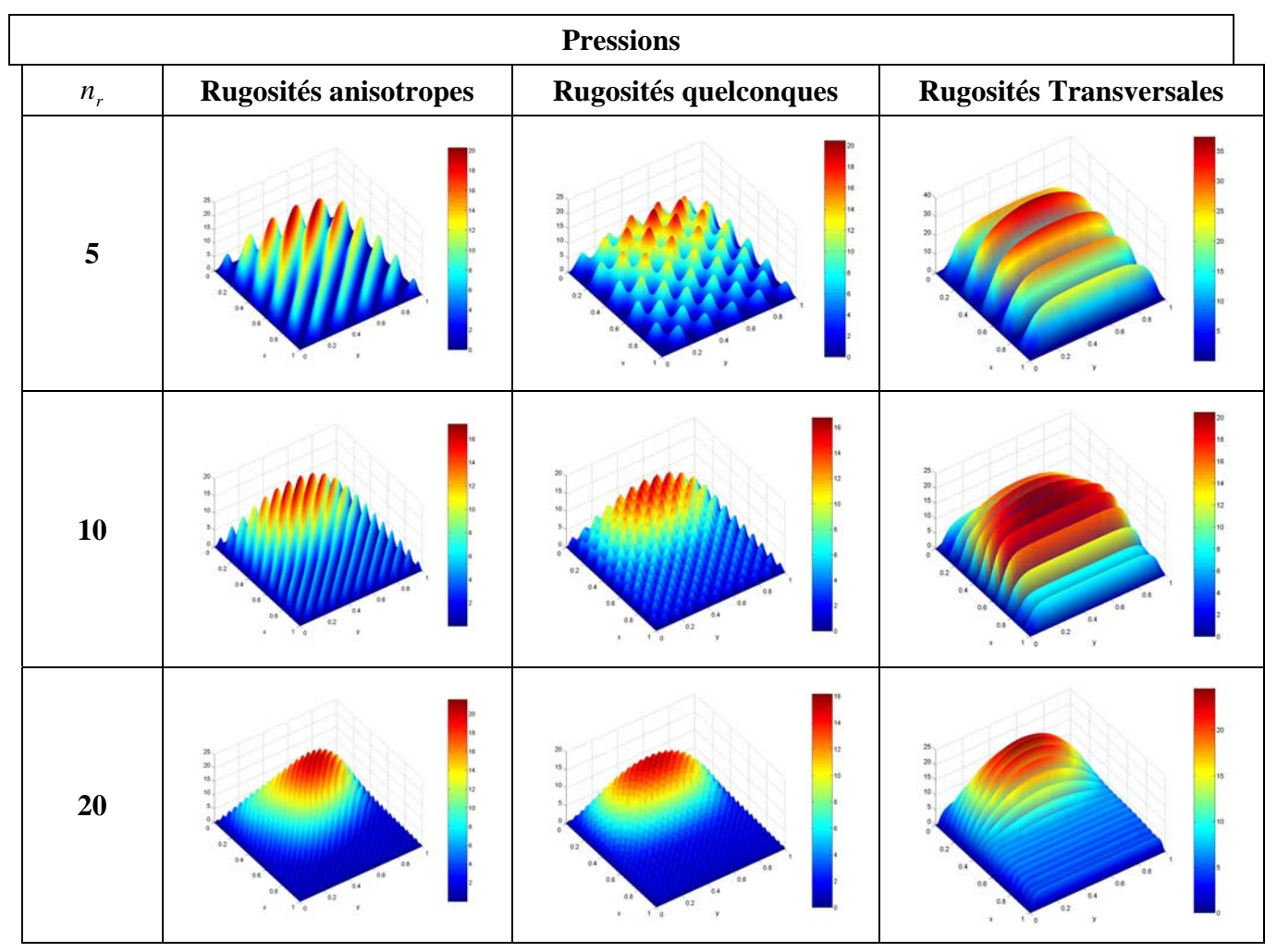


Tableau 13 : Tableau 14 : Modèle Viscoélastique de type Ree-Eyring avec variation du nombre des rugosités.

On remarque que l'augmentation du nombre de rugosité déplace le maximum de pression vers l'entrée du contact et fait tendre la répartition de pression vers celle d'un palier lisse de hauteur minimale de film  $h_0 - \delta$ . On remarquera aussi que pour les rugosités anisotropes, l'augmentation du nombre de ces rugosités modifie la forme de la répartition de la pression dans la zone de contact (cette dernière n'est plus symétrique par rapport au sens du mouvement), l'écoulement s'oriente dans le sens des rugosités ce qui est tout à fait prévisible et logique.

# Variation de l'amplitude des rugosités ( $\alpha$ )

$$\bullet$$
  $\overline{h}_{\min} = 1$ 

• 
$$\overline{\mu}$$
 = 1

• 
$$\overline{V}$$
 = 1

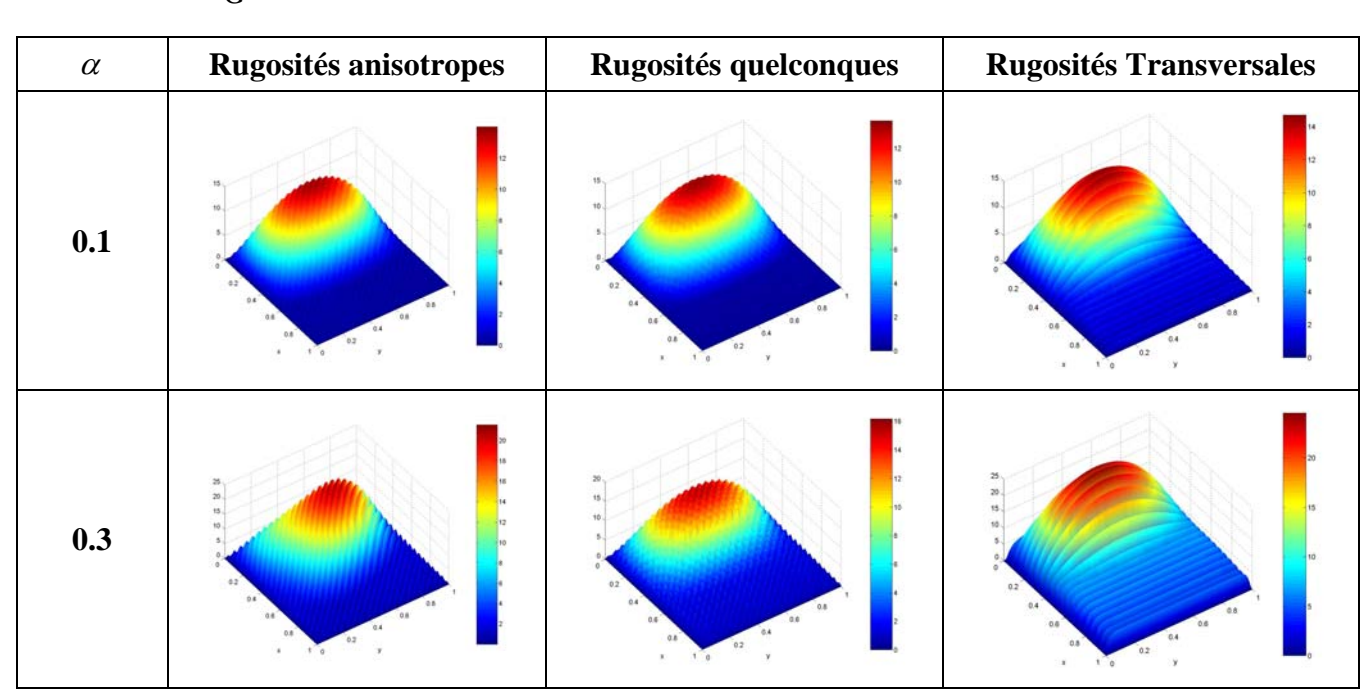
• 
$$\overline{R}$$
 = 1

$$\bullet$$
  $n_r = 20$ 

• 
$$\tau_r$$
 =100.0

• 
$$\frac{L}{D}$$
 = 1

$$\bullet \quad \frac{1}{G} \qquad = 0$$



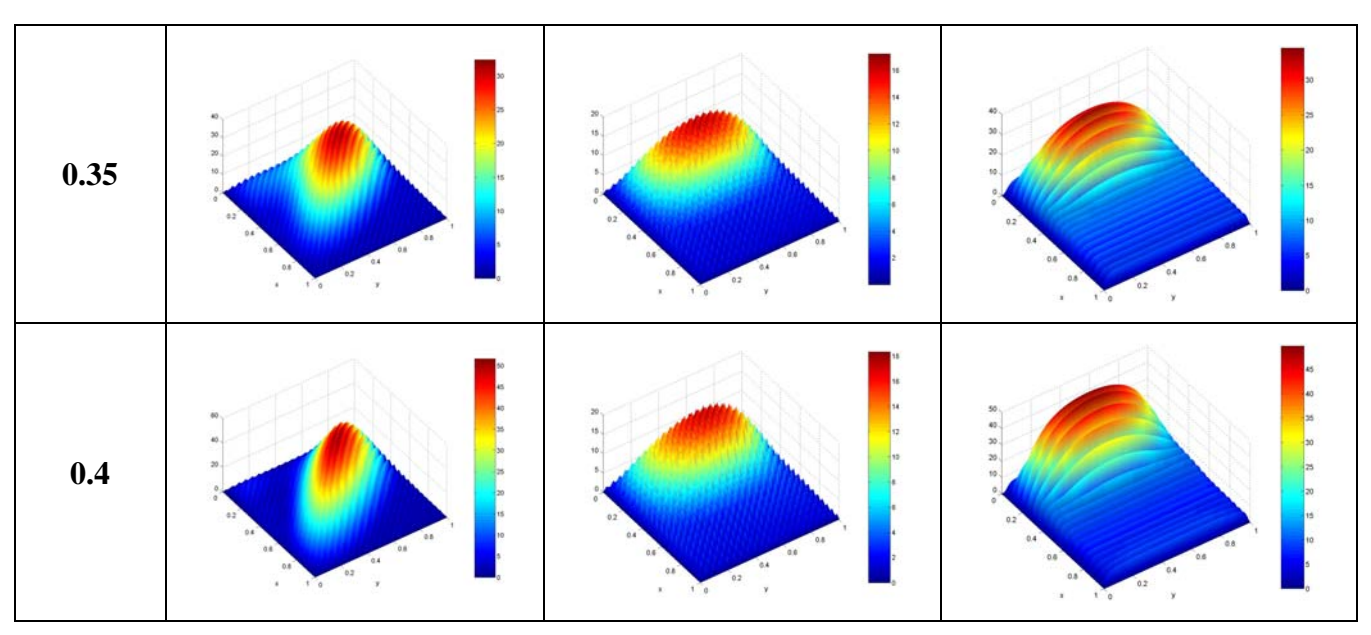


Tableau 15 : Modèle Viscoélastique de type Ree-Eyring avec variation de l'amplitude des rugosités.

L'augmentation de la hauteur des rugosités met en évidence le caractère anisotrope de la géométrie ce que les théories classiques ne prédisent pas [53]. Là encore l'homogénéisation permet de s'affranchir d'erreurs grossières.

## Modèle viscoplastique de type Winer

Ici la loi  $\frac{F(\tau_e)}{\tau_e}$  est remplacée par une loi de type Winer. La loi proposée par WINER

[53] de type viscoplastique est donnée par :

$$\begin{cases} \frac{\partial u}{\partial z} = \frac{1}{G} - \frac{\tau_{xz}}{\mu} \frac{\tau_L}{\tau_e} \ln(1 - \frac{\tau_e}{\tau_L}) \\ \frac{\partial v}{\partial z} = \frac{1}{G} - \frac{\tau_{yz}}{\mu} \frac{\tau_L}{\tau_e} \ln(1 - \frac{\tau_e}{\tau_L}) \end{cases}$$

Le fluide est caractérisé par  $\tau_L$  qui est sa contrainte limite, G son module de cisaillement et  $\mu$  sa viscosité.

# $\underline{\textbf{Variation de la contrainte limite (}}\tau_{\scriptscriptstyle L})$

$$\bullet$$
  $\overline{h}_{\min} = 1$ 

• 
$$\overline{\mu}$$
 = 1

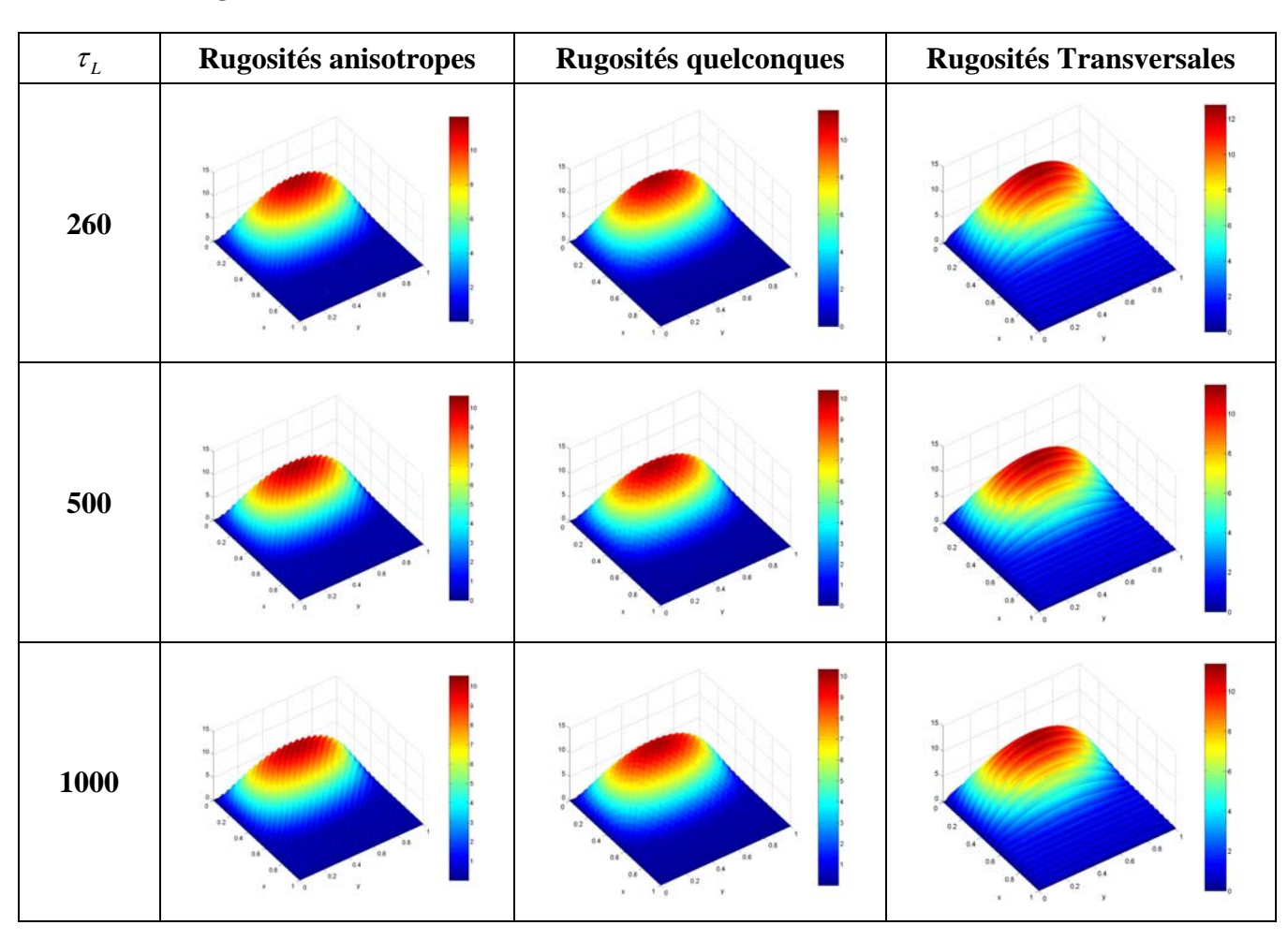
• 
$$\overline{V}$$
 = 1

• 
$$\overline{R}$$
 = 1

• 
$$n_r = 20$$

$$\bullet \quad \frac{L}{D} \qquad = 1$$

$$\bullet \quad \frac{1}{G} \qquad = 0$$



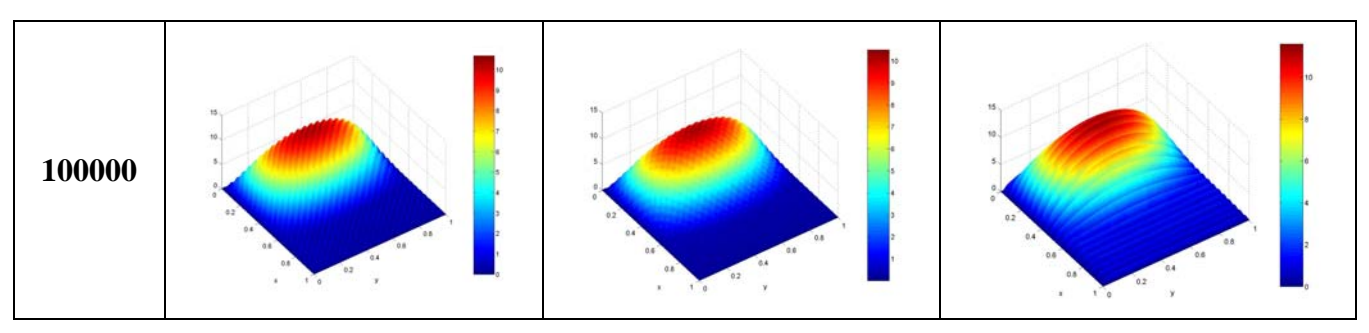


Tableau 16 : Modèle viscoplastique de type Winer avec variation de la contrainte limite.

La contrainte limite ne semble avoir aucune influence sur les différentes répartitions de pression. Le seuil introduit par  $\tau_L$  uniformise la pression quelque soit l'orientation géométrique de la rugosité.

# Variation du nombre de rugosités $(n_r)$

• 
$$\overline{h}_{\min} = 1$$

• 
$$\overline{\mu}$$
 = 1

$$\bullet$$
  $V = 1$ 

• 
$$\overline{R}$$
 = 1

• 
$$\alpha = 0.4 \overline{h}_{\min}$$

$$\bullet \quad \tau_L \qquad = 1000.0$$

• 
$$\frac{L}{D}$$
 = 1

$$\bullet \quad \frac{1}{G} \qquad = 0$$

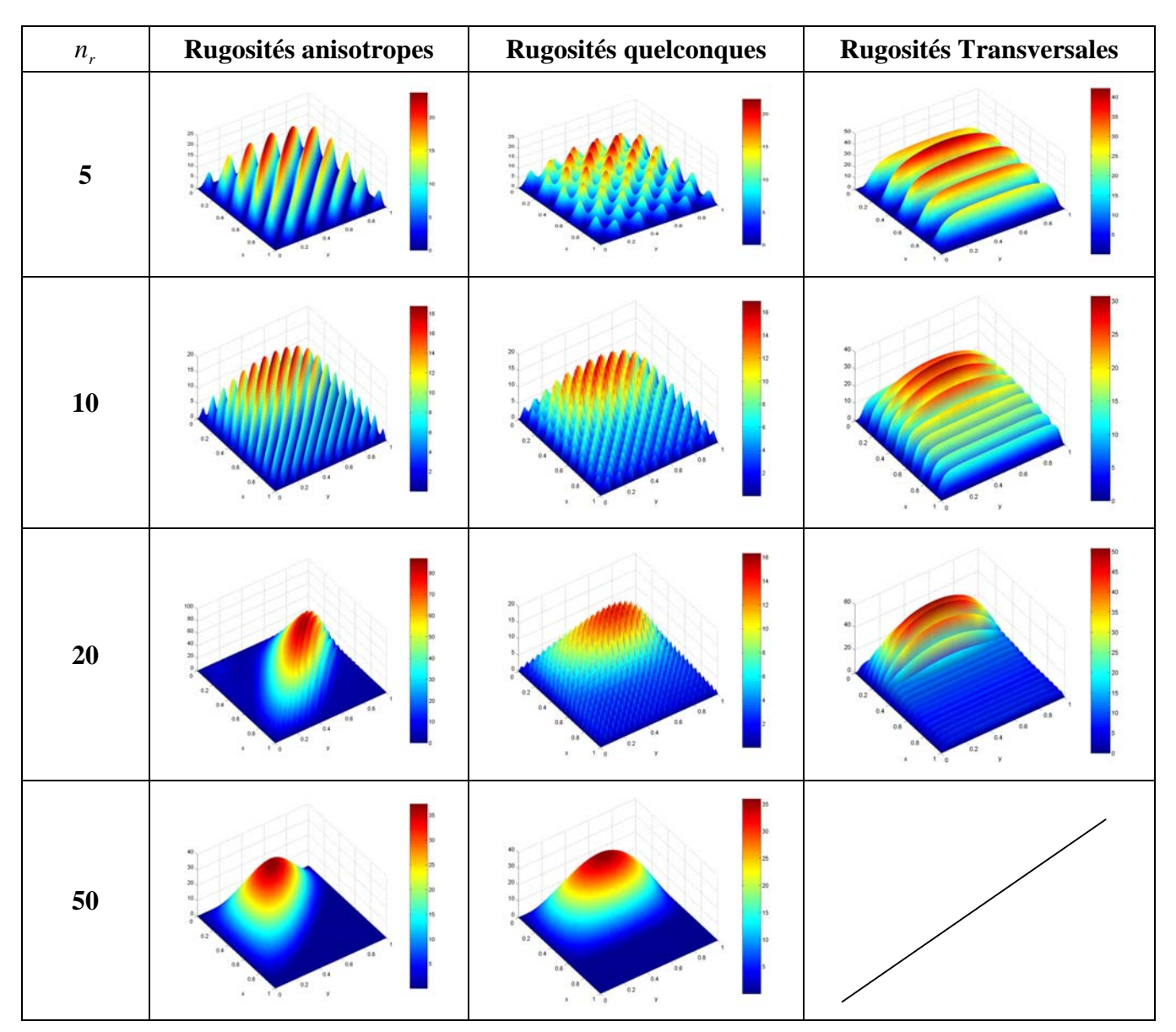


Tableau 17 : Modèle viscoplastique de type Winer avec variation du nombre des rugosités.

L'augmentation du nombre de rugosités met en évidence le caractère anisotrope de la géométrie ce que le analyse stochastique ne prédit pas [55].

# Variation de l'amplitude des rugosités ( $\alpha$ )

- $\bullet$   $\overline{h}_{\min} = 1$
- $\overline{\mu}$  = 1

• 
$$\overline{V}$$
 = 1

$$R = 1$$

$$\bullet \quad \tau_L = 1000.0$$

• 
$$n_r = 20$$

• 
$$\frac{L}{D}$$
 = 1

$$\bullet \quad \frac{1}{G} \qquad = 0$$

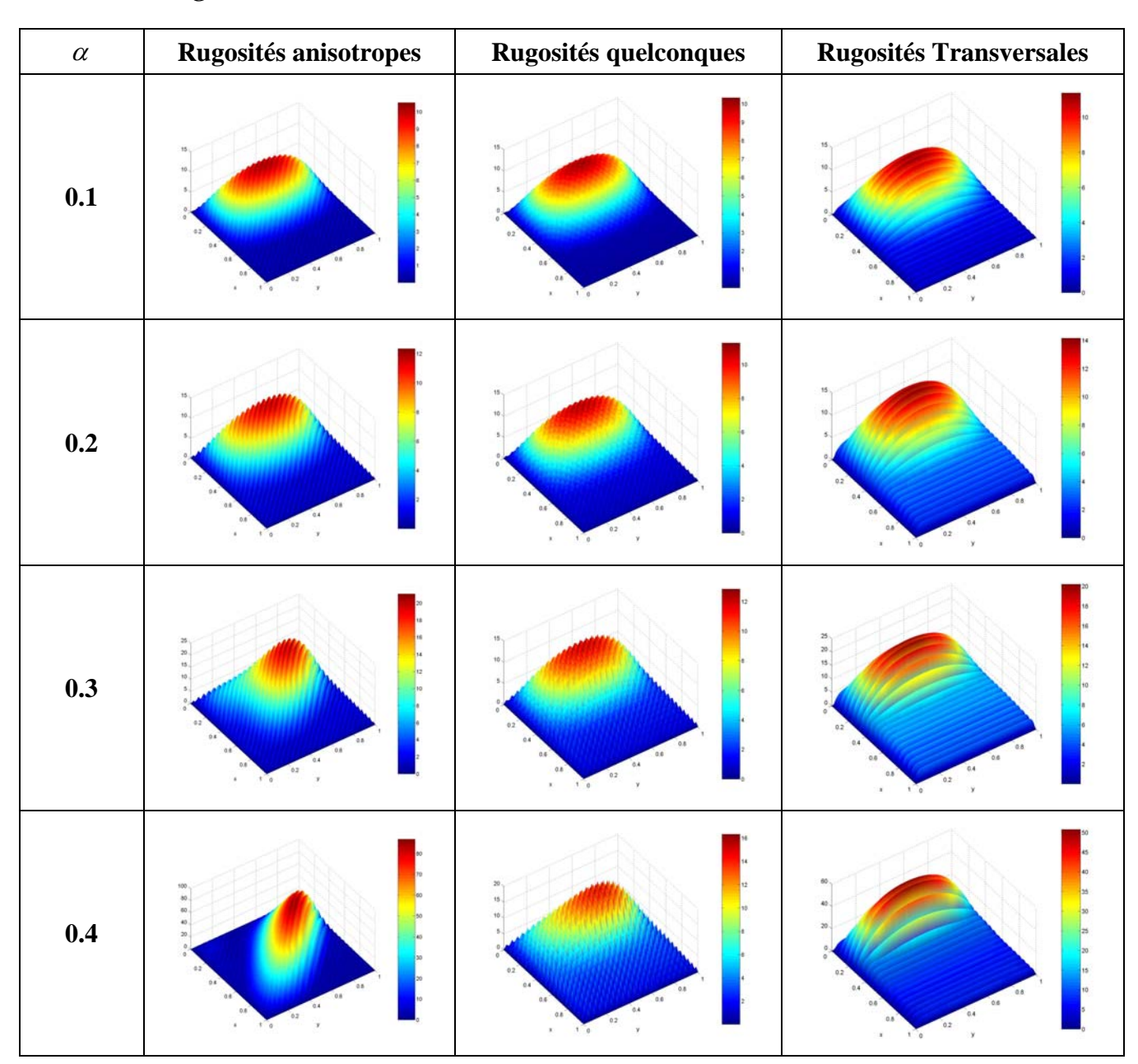


Tableau 18 : Modèle viscoplastique de type Winer avec variation de l'ampitude des rugosités.

On remarque clairement que plus l'amplitude de la rugosité augmente et plus le caractère anisotrope s'affirme alors que les solutions classiques (analyse stochastique) restent insensibles à l'évolution de ce paramètre en donnant des résultats totalement erronés [53].

### VII CONCLUSION

L'objectif de ce chapitre était de valider la théorie développée pour un fluide non Newtonien dans certaines conditions de contact. Ainsi, une revue bibliographique sur la modélisation des lois de comportement rhéologique des fluides a été faite, le cheminement pour l'obtention d'une nouvelle équation de Reynolds dite équation de Reynolds Modifiée pour les fluides non Newtoniens a été établie.

Les résultats présentés ont été discutés pour extraire les paramètres influents. Les résultats ont été concluants et leur analyse nous a permis de valider la théorie' non Newtonien' de la lubrification .

En résumé ce chapitre nous a permis de valider la nouvelle équation de Reynolds dite équation de Reynolds Modifiée 'non-Newtonien', et la technique de l'homogénéisation peut être appliquée à cette équation ce qui fera l'objet du prochain chapitre et représente notre principal objectif .

# CHAPITRE 4: HOMOGENEISATION DE L'EQUATION DE REYNOLDS POUR UN FLUIDE NON-NEWTONIEN

### I INTRODUCTION

Les deux derniers chapitres nous ont permis de valider la théorie 'non-Newtonien' et de présenter la méthode de l'homogénéisation. Dans ce chapitre, nous allons faire apparaître l'originalité de ce travail en appliquant cette méthode à l'équation de Reynolds pour un fluide non Newtonien. Pour ce faire, nous allons détailler les étapes de l'homogénéisation de cette équation, puis exposer l'algorithme de calcul utilisé. L'orientation des rugosités variera de la direction longitudinale à la direction transversale afin de représenter au mieux toutes les situations possibles.

Une fois l'algorithme et le logiciel de calcul mis en place, nous ferons varier les paramètres de la géométrie locale (nombre de rugosité, amplitude des rugosité, orientation des rugosités ...) et les lois de comportement du fluide lubrifiant (newtonien, viscoélastique, viscoplastique, ...). Les résultats seront discutés et des conclusions seront tirées quant à l'influence possible de tous ces paramètres. Ces résultats seront présentés sous forme comparative avec ceux obtenus avec les techniques dites classiques.

### II HOMOGÉNÉISATION DE L'ÉQUATION DE REYNOLDS « NON-NEWTONIEN »

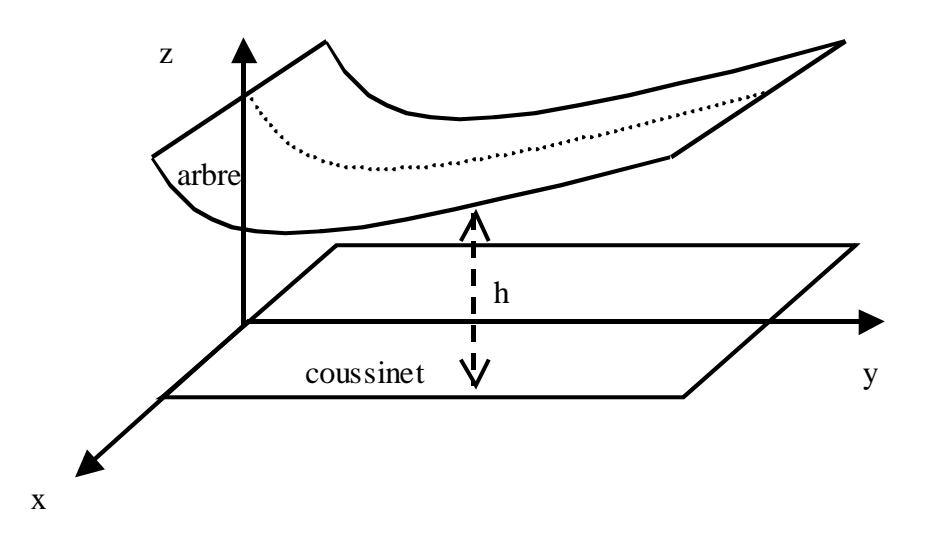


Figure 15: Système d'axes.

L'équation de Reynolds « non-newtonien » s'écrit [47] (son développement est exposé annexe 2) :

$$\begin{split} &\frac{\partial}{\partial x} \left( G_{m} \frac{\partial P}{\partial x} \right) + \frac{\partial}{\partial y} \left( G_{m} \frac{\partial P}{\partial y} \right) = \\ &\frac{\partial}{\partial x} \left( U_{2} (R_{2} - F_{m}) + U_{1} F_{m} \right) + \frac{\partial}{\partial y} \left( V_{2} (R_{2} - F_{m}) + V_{1} F_{m} \right) - U_{2} \frac{\partial h}{\partial x} - V_{2} \frac{\partial h}{\partial y} + W_{2} - \left( \frac{\partial L_{mx}}{\partial x} + \frac{\partial L_{my}}{\partial y} \right) \end{split}$$

Dans notre cas, l'équation de Reynolds Modifiée se simplifie et devient :

$$\frac{\partial}{\partial x} \left( G_m \frac{\partial P}{\partial x} \right) + \frac{\partial}{\partial y} \left( G_m \frac{\partial P}{\partial y} \right) = U \frac{\partial F_m}{\partial y} - \left( \frac{\partial L_{mx}}{\partial x} + \frac{\partial L_{my}}{\partial y} \right)$$
**Équation 46**

Par commodité, des changements de variables vont intervenir et on écrit :

$$x = x_1$$
 et  $y = x_2$ 

On réécrit l'Équation 46 sous la forme :

$$\frac{\partial}{\partial x_{1}} \left( G_{m} \frac{\partial P}{\partial x_{1}} \right) + \frac{\partial}{\partial x_{2}} \left( G_{m} \frac{\partial P}{\partial x_{2}} \right) = U \frac{\partial F_{m}}{\partial x_{1}} - \left( \frac{\partial L_{mx1}}{\partial x_{1}} + \frac{\partial L_{mx2}}{\partial x_{2}} \right)$$
**Équation 47**

Puis on pose:

$$\frac{\partial}{\partial x_i} = \left(\frac{\partial}{\partial x_i} + \frac{1}{\varepsilon} \frac{\partial}{\partial y_i}\right)_{i=1,2}$$

**Équation 48** 

et

- $P(x_1, x_2) = P_0(x_1, x_2) + \varepsilon \times P_1(x_1, x_2, y_1, y_2) + \dots$
- $G_m(x_1, x_2) = G_{m0}(x_1, x_2) + \varepsilon \times G_{m1}(x_1, x_2, y_1, y_2) + \dots$
- $F_m(x_1, x_2) = F_{m0}(x_1, x_2) + \varepsilon \times F_{m1}(x_1, x_2, y_1, y_2) + \dots$
- $L_{mx}(x_1, x_2) = L_{mx0}(x_1, x_2) + \varepsilon \times L_{mx1}(x_1, x_2, y_1, y_2) + \dots$
- $L_{mv}(x_1, x_2) = L_{mv_0}(x_1, x_2) + \varepsilon \times L_{mv_1}(x_1, x_2, y_1, y_2) + \dots$

### **Équation 49**

En introduisant l'Équation 49 et l'Équation 48 dans l'Équation 47 et en identifiant par rapport aux puissances de  $\varepsilon$  on trouve les équations suivantes :

$$\begin{split} &\frac{\partial}{\partial x_{1}} \left( G_{m0} \left\{ \frac{\partial P_{0}}{\partial x_{1}} + \frac{\partial P_{1}}{\partial y_{1}} \right\} \right) + \frac{\partial}{\partial y_{1}} \left( G_{m1} \left\{ \frac{\partial P_{0}}{\partial x_{1}} + \frac{\partial P_{1}}{\partial y_{1}} \right\} \right) + \frac{\partial}{\partial x_{2}} \left( G_{m0} \left\{ \frac{\partial P_{0}}{\partial x_{2}} + \frac{\partial P_{1}}{\partial y_{2}} \right\} \right) + \\ &\frac{\partial}{\partial y_{2}} \left( G_{m1} \left\{ \frac{\partial P_{0}}{\partial x_{2}} + \frac{\partial P_{1}}{\partial y_{2}} \right\} \right) + \frac{\partial}{\partial y_{1}} \left( G_{m0} \left\{ \frac{\partial P_{1}}{\partial x_{1}} \right\} \right) + \frac{\partial}{\partial y_{2}} \left( G_{m1} \left\{ \frac{\partial P_{1}}{\partial y_{2}} \right\} \right) = \\ &U \left\{ \frac{\partial F_{m0}}{\partial x_{1}} + \frac{\partial F_{m1}}{\partial y_{1}} \right\} - \left\{ \frac{\partial L_{mx0}}{\partial x_{1}} + \frac{\partial L_{mx1}}{\partial y_{1}} + \frac{\partial L_{my0}}{\partial x_{1}} + \frac{\partial L_{my1}}{\partial y_{1}} \right\} \end{split}$$

### **Équation 50**

$$\begin{split} &\frac{\partial}{\partial x_{1}} \Biggl( G_{m0} \frac{\partial P_{0}}{\partial x_{1}} \Biggr) + \frac{\partial}{\partial x_{1}} \Biggl( G_{m1} \Biggl\{ \frac{\partial P_{0}}{\partial x_{1}} + \frac{\partial P_{1}}{\partial y_{1}} \Biggr\} \Biggr) + \frac{\partial}{\partial y_{1}} \Biggl( G_{m1} \frac{\partial P_{1}}{\partial x_{1}} \Biggr) + \frac{\partial}{\partial x_{2}} \Biggl( G_{m0} \frac{\partial P_{0}}{\partial x_{2}} \Biggr) + \\ &\frac{\partial}{\partial x_{2}} \Biggl( G_{m1} \Biggl\{ \frac{\partial P_{0}}{\partial x_{2}} + \frac{\partial P_{1}}{\partial y_{2}} \Biggr\} \Biggr) + \frac{\partial}{\partial y_{2}} \Biggl( G_{m1} \frac{\partial P_{1}}{\partial x_{2}} \Biggr) = U \frac{\partial F_{m1}}{\partial x_{1}} - \Biggl\{ \frac{\partial L_{mx_{1}}}{\partial x_{1}} + \frac{\partial L_{my_{1}}}{\partial x_{1}} \Biggr\} \end{split}$$

#### **Équation 51**

$$\frac{\partial}{\partial y_{1}} \left[ G_{m0} \left( \frac{\partial P_{0}}{\partial x_{1}} + \frac{\partial P_{1}}{\partial y_{1}} \right) \right] + \frac{\partial}{\partial y_{2}} \left[ G_{m0} \left( \frac{\partial P_{0}}{\partial x_{2}} + \frac{\partial P_{1}}{\partial y_{2}} \right) \right] = U \frac{\partial F_{m0}}{\partial y_{1}} - \left( \frac{\partial L_{mx0}}{\partial y_{1}} + \frac{\partial L_{my0}}{\partial y_{1}} \right)$$
**Équation 52**

On déduit de ces équations celles des problèmes dits locaux :

$$\nabla_{\mathbf{y}} \cdot \left[ G_{m0} \nabla_{\mathbf{y}} \omega_{1} \right] = -\frac{\partial G_{m0}}{\partial y_{1}}$$

**Équation 53** 

$$\nabla_{y} \cdot \left[ G_{m0} \nabla_{y} \omega_{2} \right] = -\frac{\partial G_{m0}}{\partial y_{2}}$$

**Équation 54** 

$$\nabla_{y} \cdot \left[ G_{m0} \nabla_{y} \omega_{3} \right] = \frac{\partial}{\partial y_{1}} \left( U F_{m0} - L_{mx0} - L_{my0} \right)$$
**Équation 55**

Ensuite on réintroduit les solutions des problèmes locaux dans l'Équation 52 puis on intègre sur Y, pour en déduire  $P_1$  en fonction des solutions des problèmes locaux :  $\omega_1$ ,  $\omega_2$ ,  $\omega_3$  et des dérivées partielles de  $P_0$  :

$$P_{1} = \omega_{1} \frac{\partial P_{0}}{\partial x_{1}} + \omega_{2} \frac{\partial P_{0}}{\partial x_{2}} + \omega_{3} + Cte(x_{1}, x_{2})$$
**Équation 56**

En remplaçant l'expression de  $P_1$  dans l'Équation 50 et en intégrant sur le domaine Y, on obtient une équation en  $P_0$ :

$$\nabla \cdot \begin{bmatrix} A \end{bmatrix} \nabla P_0 = \nabla \cdot \begin{bmatrix} \theta \end{bmatrix}$$
 **Équation 57**

Avec:

$$\begin{bmatrix} A \end{bmatrix} = \begin{bmatrix} \int_{Y} G_{m0} \left( 1 + \frac{\partial \omega_{1}}{\partial y_{1}} \right) dy & \int_{Y} G_{m0} \left( \frac{\partial \omega_{2}}{\partial y_{1}} \right) dy \\ \int_{Y} G_{m0} \left( \frac{\partial \omega_{1}}{\partial y_{2}} \right) dy & \int_{Y} G_{m0} \left( 1 + \frac{\partial \omega_{2}}{\partial y_{2}} \right) dy \end{bmatrix}$$
$$\begin{bmatrix} \theta \end{bmatrix} = \begin{bmatrix} \int_{Y} \left( -G_{m0} \frac{\partial \omega_{3}}{\partial y_{1}} - L_{mx0} - L_{my0} + U \times F_{m0} \right) dy \\ \int_{Y} -G_{m0} \frac{\partial \omega_{3}}{\partial y_{2}} dy \end{bmatrix}$$

Il s'agit maintenant de déterminer  $G_{m0}, L_{mx0}, L_{my0}$  et  $F_{m0}$  [annexe 3].

### III RÉSOLUTION DES PROBLÈMES LOCAUX ET DU PROBLÈME HOMOGÉNÉISÉ

Les équations représentant les problèmes locaux et celui homogénéisé sont des équations aux dérivée partielles du second ordre de type elliptique qui n'admettent pas de solutions analytiques. Ainsi, pour résoudre ces problèmes, on utilise ici la méthode des différences finies.

L'algorithme de résolution que l'on propose pour la résolution du problème homogénéisé est le suivant:

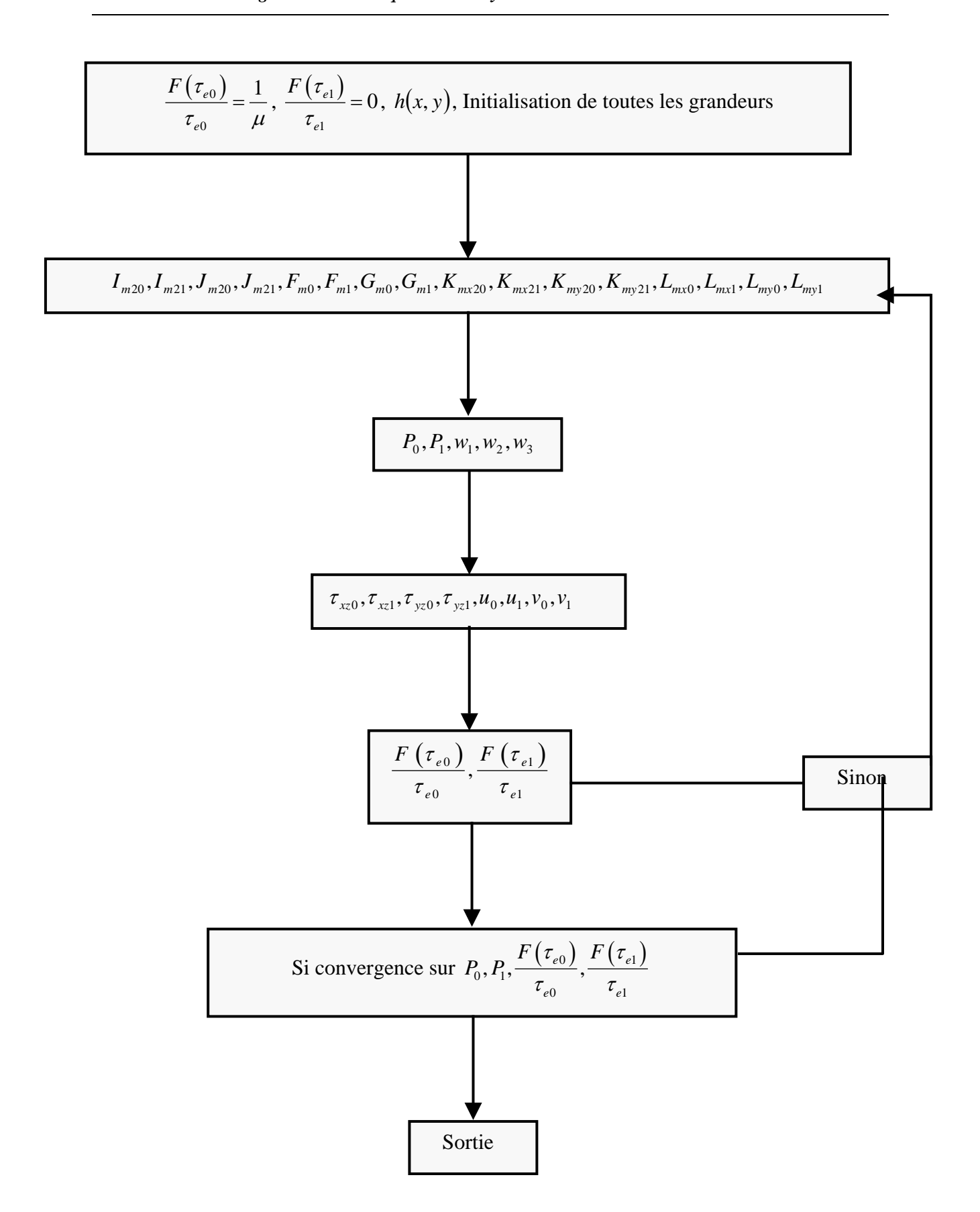


Figure 16 : Algorithme de résolution du problème non newtonien homogénéisé

## IV PARAMÈTRES ET RÉSULTATS

# Les caractéristiques étudiés

Dans cette partie, seront étudiés la charge que peut supporter le contact, le débit axial, la force de frottement et le maximum de pression.

La valeur des paramètres en entrée, sont des valeurs de fonctionnement réel d'un palier. Les valeurs des résultats en sortie sont des valeurs normalisées. La normalisation adoptée pour ces grandeurs est :

## La pression normalisée:

$$\overline{P} = \frac{Ph^2}{\mu UB}$$

avec

•  $\mu$ : la viscosité dynamique (*Pa.s*),

• h: l'épaisseur du film (m),

• U: la vitesse linéaire de l'arbre ( $m.s^{-1}$ ),

• P: la pression (Pa).

### La force de frottement :

$$\overline{F} = \frac{F}{\mu U L} \left( \frac{h}{B} \right)$$

avec

• L: la longueur de contact (m),

• B: la largeur du contact (m),

• F: la force de frottement (N).

# Le débit axial:

$$\overline{Q} = \frac{Q}{LUh}$$

avec

• Q: le débit  $(m^3.s^{-1})$ .

La charge supportée par le contact :

$$\overline{W} = \frac{W}{\mu U L} \left(\frac{h}{B}\right)^2$$

avec

• W: la charge portante (W).

### Types de rugosités étudiés

Ici, c'est l'orientation des rugosités qui sera à l'étude. Cinq de ces orientations seront examinées, en partant des rugosités transversales jusqu'aux longitudinales :

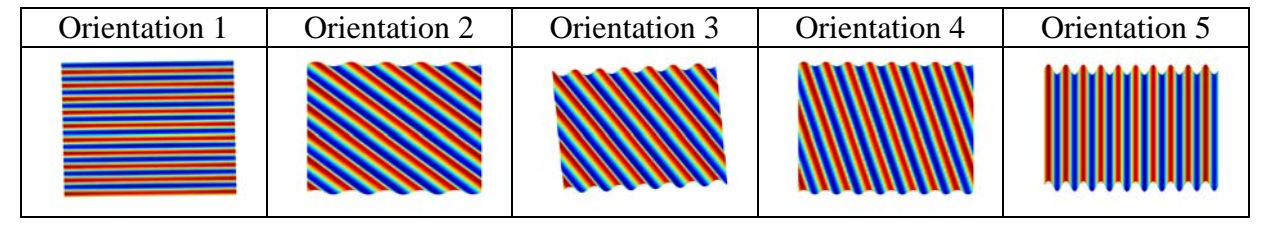


Tableau 19 : formes de rugosités étudiées.

L'expression générale utilisée pour modéliser les rugosités est la suivante:

$$\delta = \alpha \sin(2\pi n_r (\frac{ax + by}{a + b}))$$

avec

• a et b: des coefficients donnant la direction des rugosités et variant entre 0 et 1. <u>Exemple</u>: a = 1 et b = 0 correspond à l'orientation 1 (rugosités tranversales).

### Les lois étudiées

Différentes lois seront étudiées (les mêmes qu'au chapitre 3) par la suite afin de comparer les résultats avec ceux obtenus à partir du modèle de base 'est à dite le modèle Newtonien, ainsi le premier modèle que l'on va présenter sera le modèle Newtonien puis le modèle viscoélastique de type Ree-Eyring. (Les résultats pour le modèle viscoplastique de type Winer sont en annexe 4).

Les résultats homogénéisées seront superposés aux résultats des calculs classiques pour réaliser une analyse directe. Les paramètres comme l'orientation des rugosités, le nombre des rugosités, l'amplitude des rugosité et le module de cisaillement du fluide entre autres varieront afin de quantifier leur influence. Les données communes à tous les calculs sont :

- $\bullet \quad h_{\min}(m) = 1^{\text{E-5}}$
- $\bullet \quad \mu(Pa.s) = 0.05$
- $R(m) = 80^{E-3}$
- $\bullet \quad \frac{L}{D} \qquad = 1$
- $t_r / mn = 3000$
- $\bullet \quad \tau_r(Pa) \quad = \mu \times h_{\min} \times t_r \times 2 \times \pi \times R$
- l'amplitude des rugosités est exprimée en microns.

# Résultats: Modèle newtonien

# Charge supportée par le contact

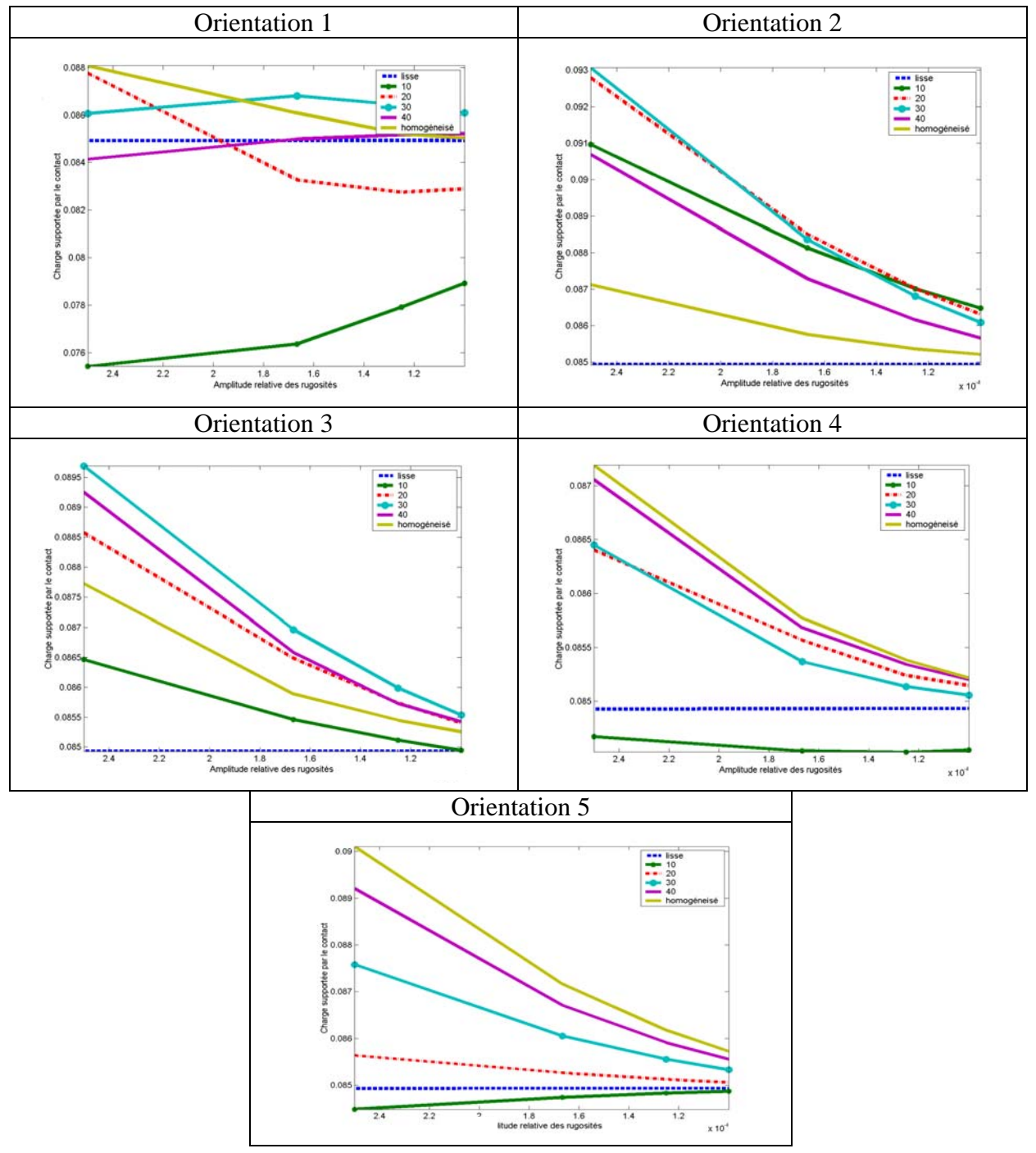


Tableau 20 : Variation de la charge dans le modèle Newtonien

# Maximum de pression

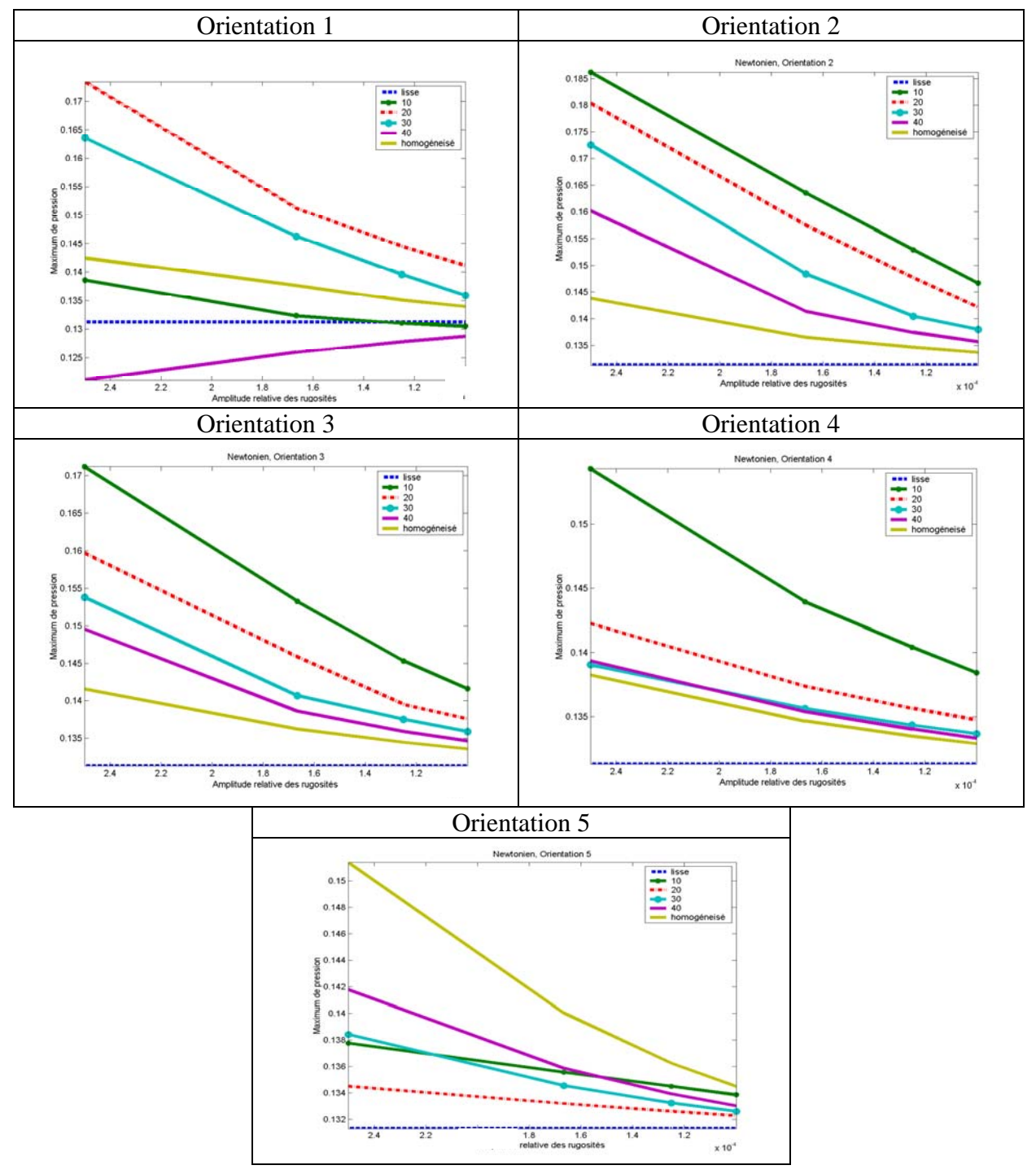


Tableau 21: Variation de la pression dans le modèle Newtonien

Que ce soit pour la charge ou le maximum de pression ,les évolutions de ces deux caractéristiques du contact sont fortement modifiées en fonction de l'orientation des rugosités et les solutions obtenues par la méthode directe convergent toutes vers la solution homogénéisée. Les tendances semblent logiques et permettent de valider la version Newtonienne de l'équation de Reynolds Modifiée non-newtonienne.

## Résultats : Modèle viscoélastique de type Ree-Eyring

## Charge supportée par le contact

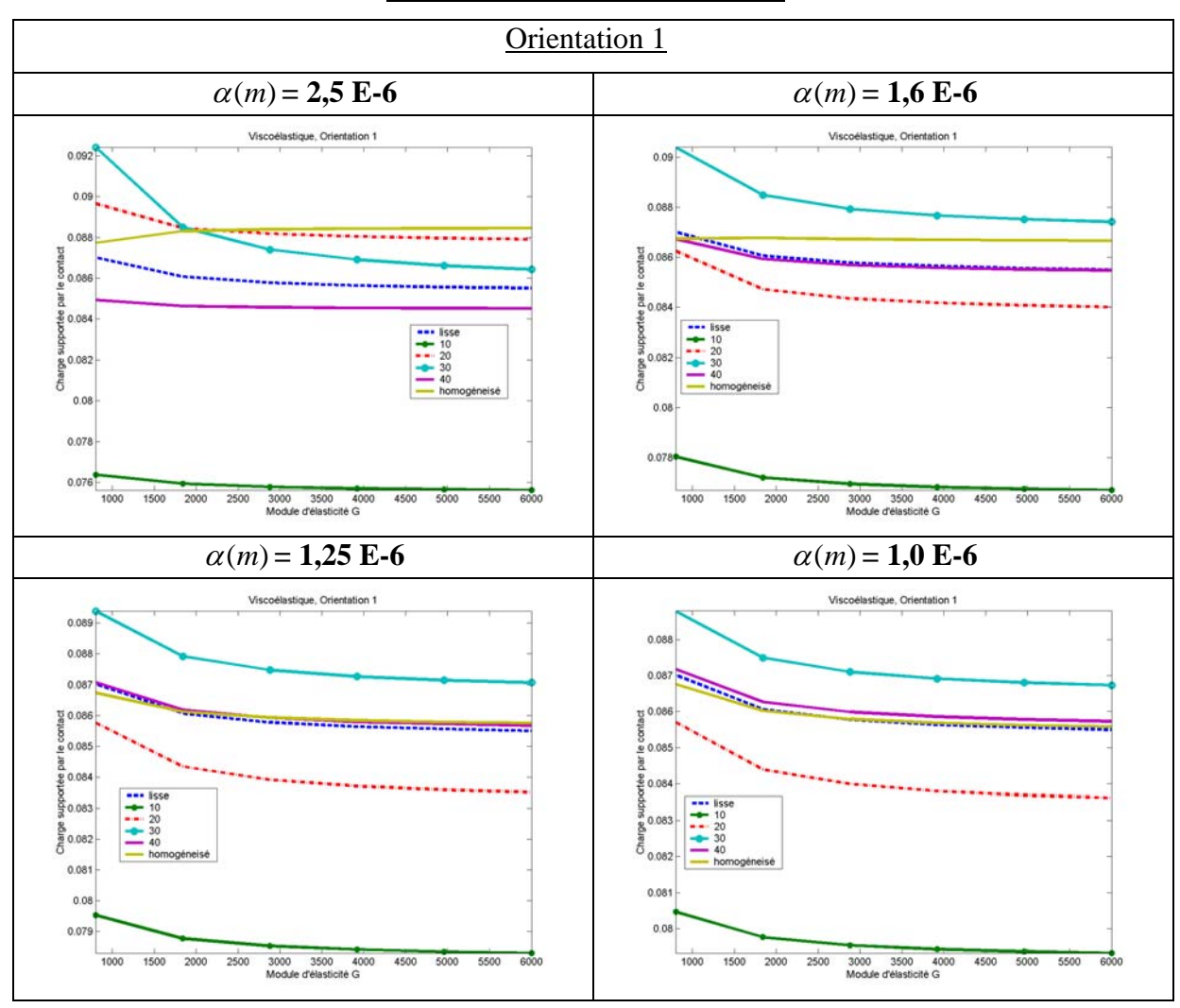


Tableau 22: Variation de la Charge dans le modèle viscoélastique, Orientation 1.

Pour l'orientation 1 on peut remarquer que les courbes restent presque parallèles et ce quelque soit le nombre de rugosités et leurs amplitudes. Plus le nombre de rugosités augmente et plus les solutions exactes tendent vers la solution homogénéisée. Le parallélisme des courbes peut s'expliquer par la direction privilégiée du drainage de l'écoulement. L'augmentation de la charge est logique du fait de l'élasticité du lubrifiant comme constaté par ailleurs [42].

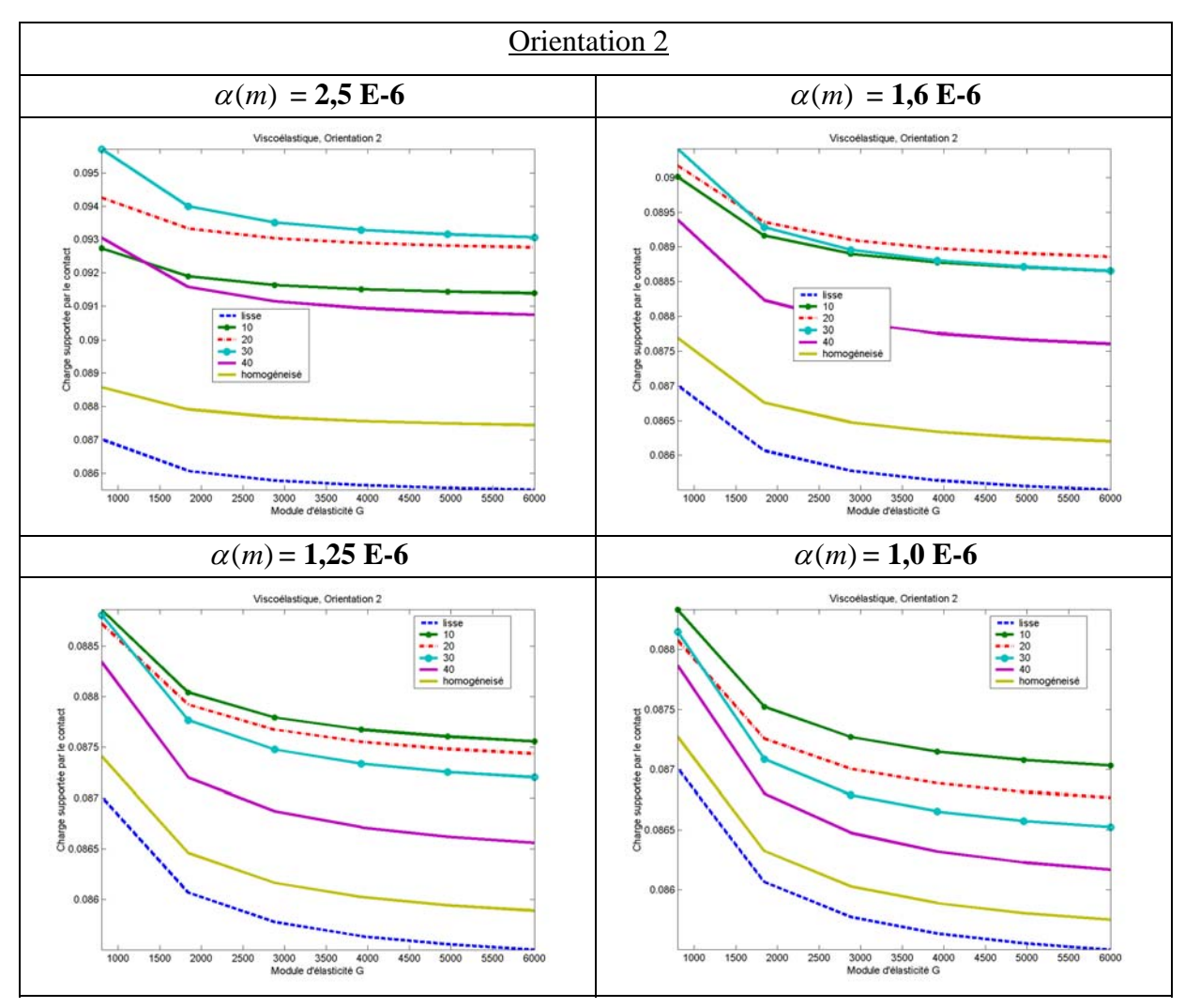


Tableau 23: Variation de la Charge dans le modèle viscoélastique, Orientation 2.

L'orientation privilégiée du cas 2 modifie l'allure des courbes. L'anisotropie crée une résistance à l'écoulement ce qui résulte en une augmentation de la charge admissible et augmente l'écart entre les solutions exactes et la solution homogénéisée et ce quelque soit le nombre de rugosités et leurs amplitudes.

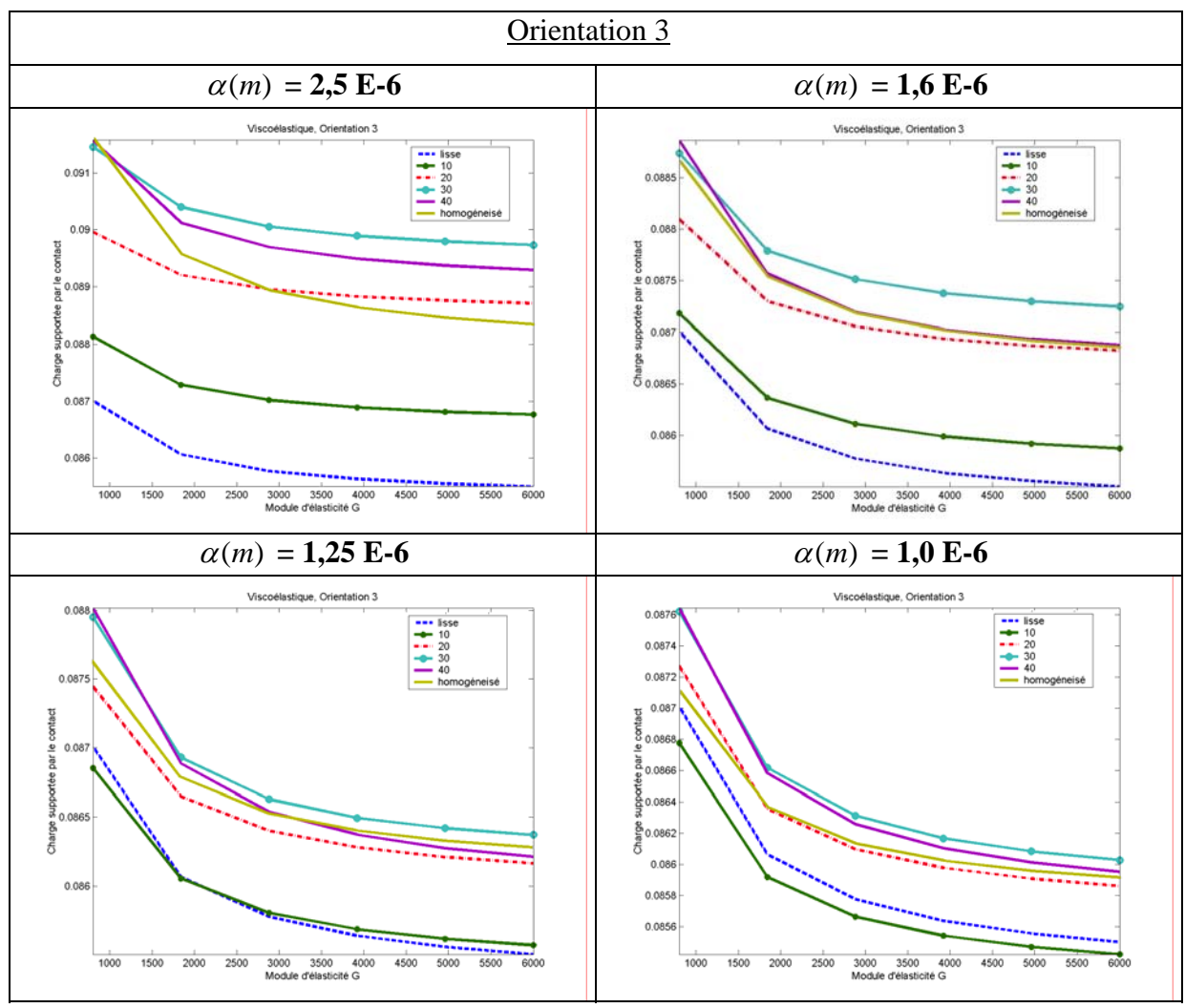


Tableau 24: Variation de la Charge dans le modèle viscoélastique, Orientation 3.

Nous faisons les mêmes constations que précédemment du fait de l'anisotropie de la géométrie. Les solutions exactes convergent bien vers la solution homogénéisée quelque soit le nombre de rugosités et leurs amplitudes mais avec une dispersion ou un écart non négligeable.

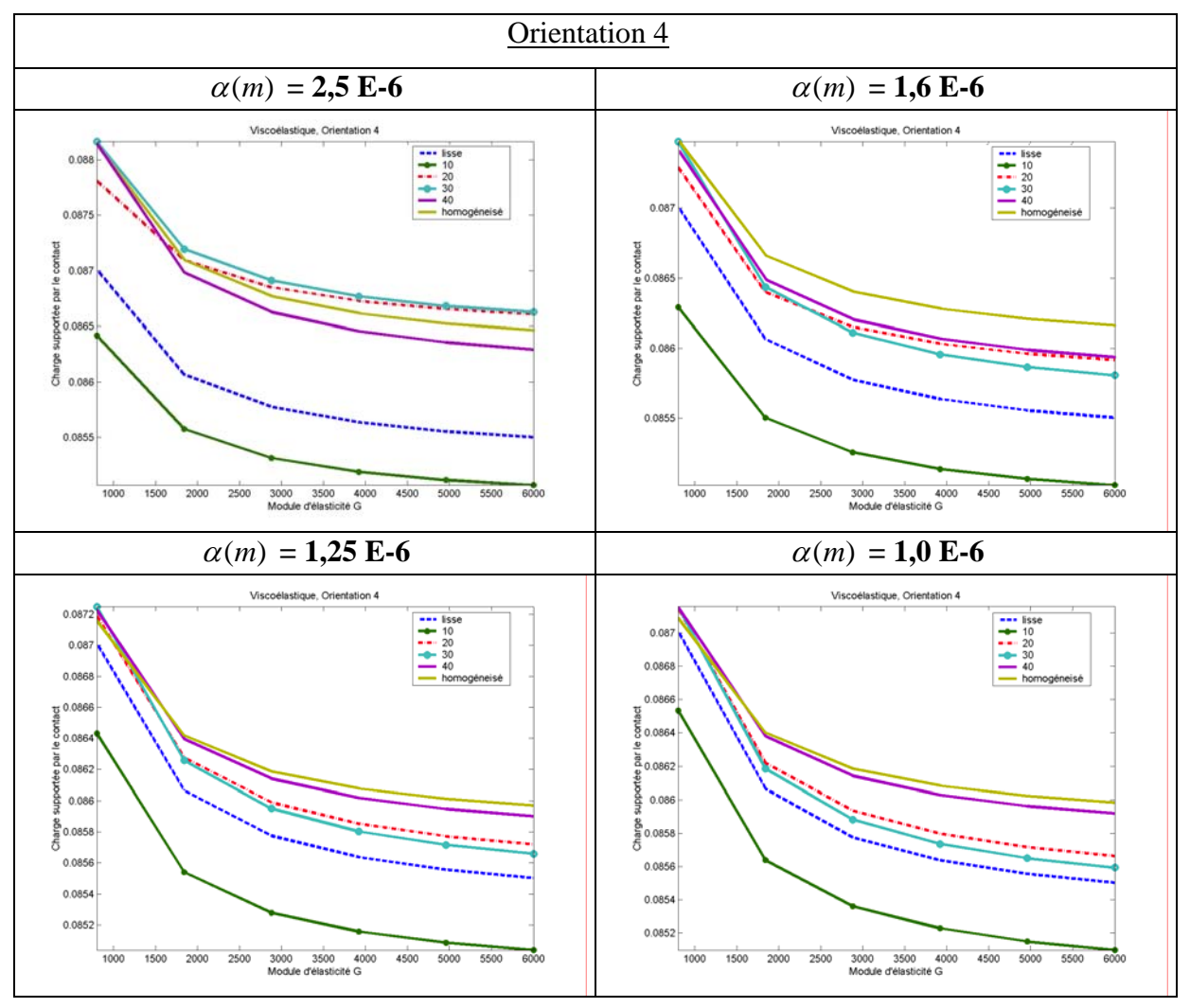


Tableau 25: Variation de la Charge dans le modèle viscoélastique, Orientation 4.

Du fait de la faible propriété anisotropique du profil géométrique , les courbes obtenues sont presque parallèles. Il est à noter que l'augmentation des rugosités rapprochent ces courbes de la solution homogénéisée. Les solutions exactes sont largement surestimées par rapport à la solution homogénéisée peut-être du à un faible nombre de points de discrétisation et ce quelque soit l'amplitude de ces rugosités.

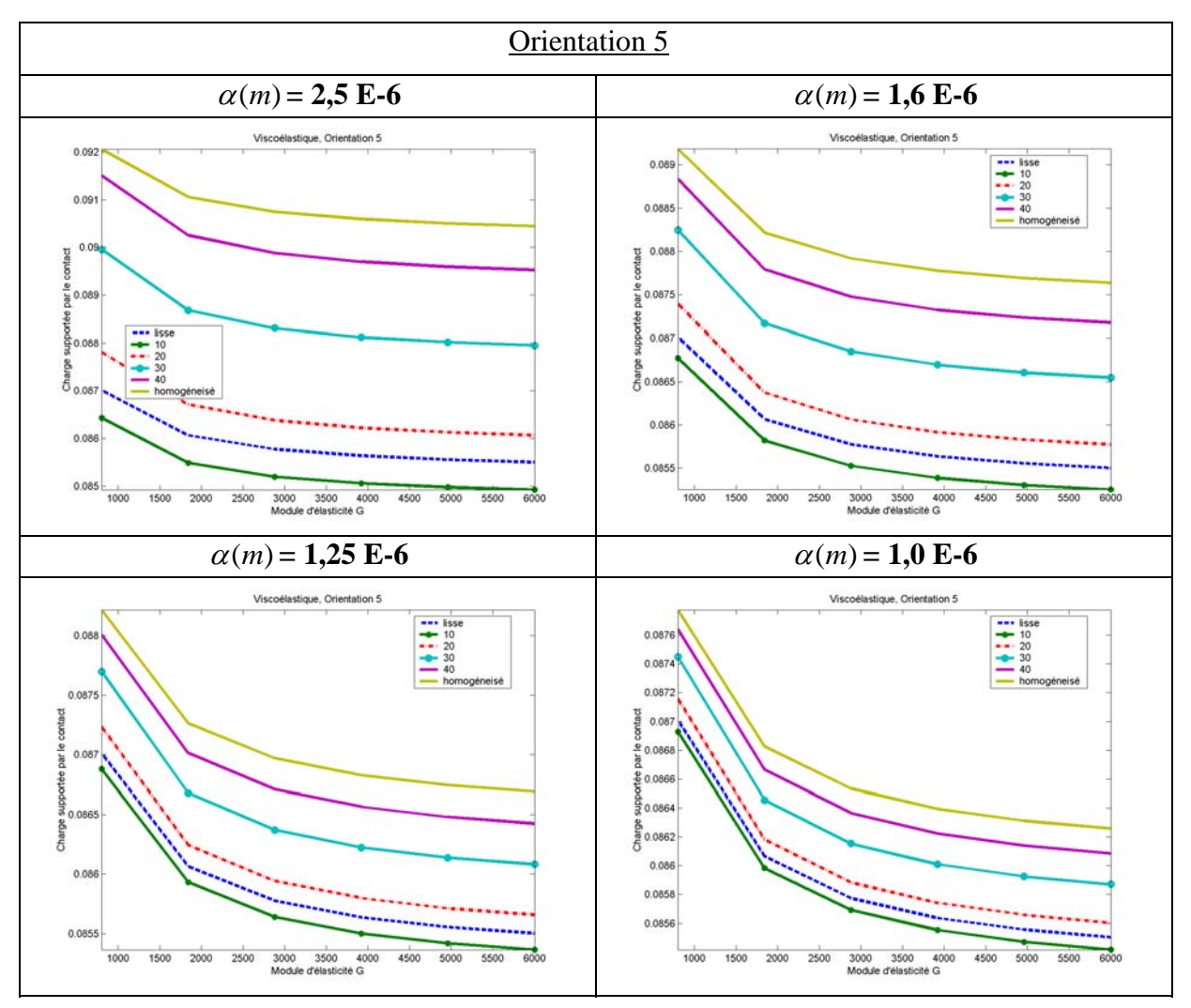


Tableau 26: Variation de la Charge dans le modèle viscoélastique, Orientation 5.

Comme pour l'orientation 1 on peut remarquer que les courbes restent presque parallèles et ce quelque soit le nombre de rugosités et leurs amplitudes. Plus le nombre de rugosités augmente et plus les solutions exactes tendent vers la solution homogénéisée. Le parallélise des courbes peut s'expliquer par la direction privilégiée de la résistance à l'écoulement. L'augmentation de la charge est logique du fait d'une part à l'élasticité du lubrifiant comme constaté par ailleurs [42] et à l'orientation des rugosités orthogonales à la direction du mouvement.

# Débit axial

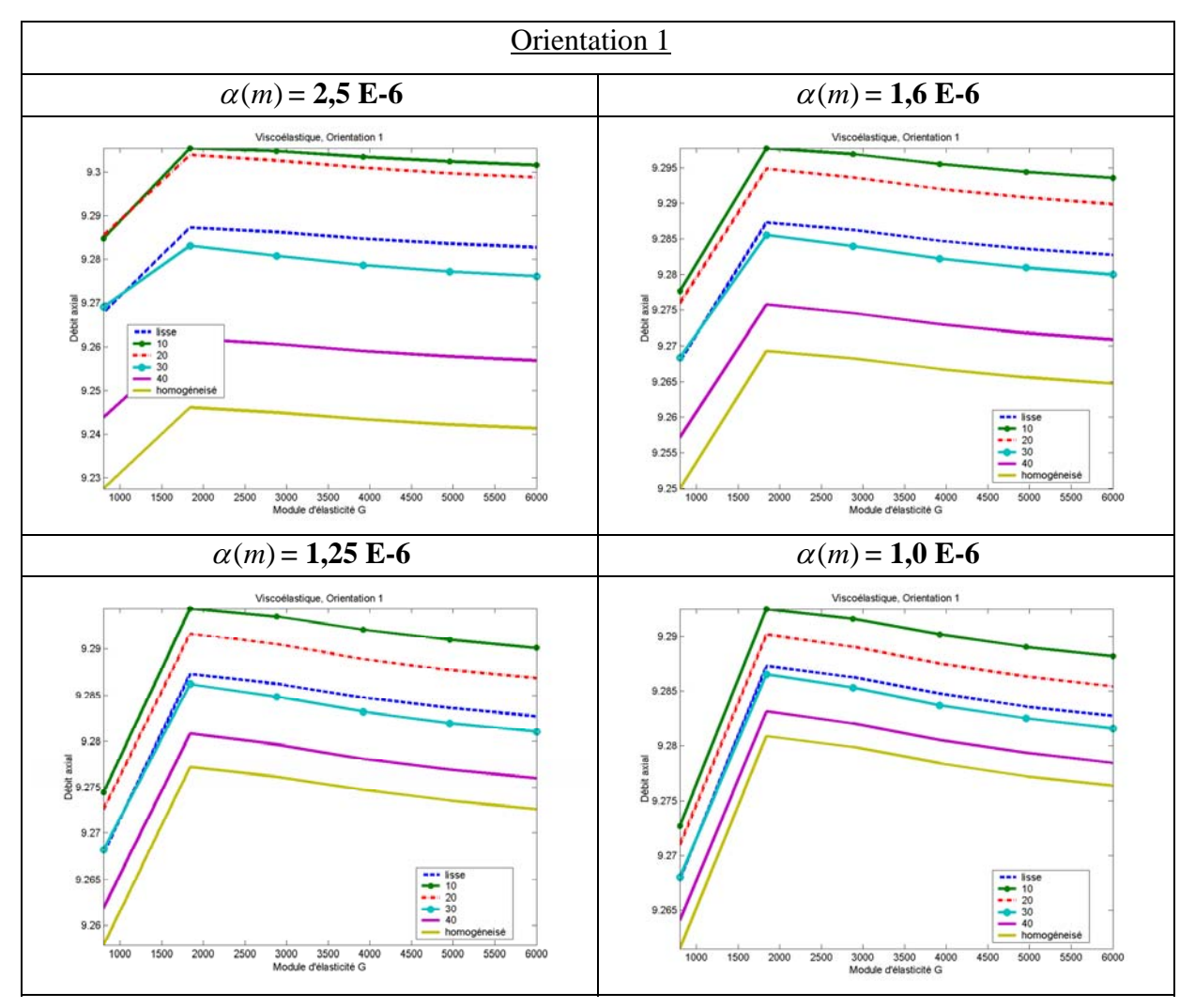


Tableau 27: Variation du débit axial dans le modèle viscoélastique, Orientation 1.

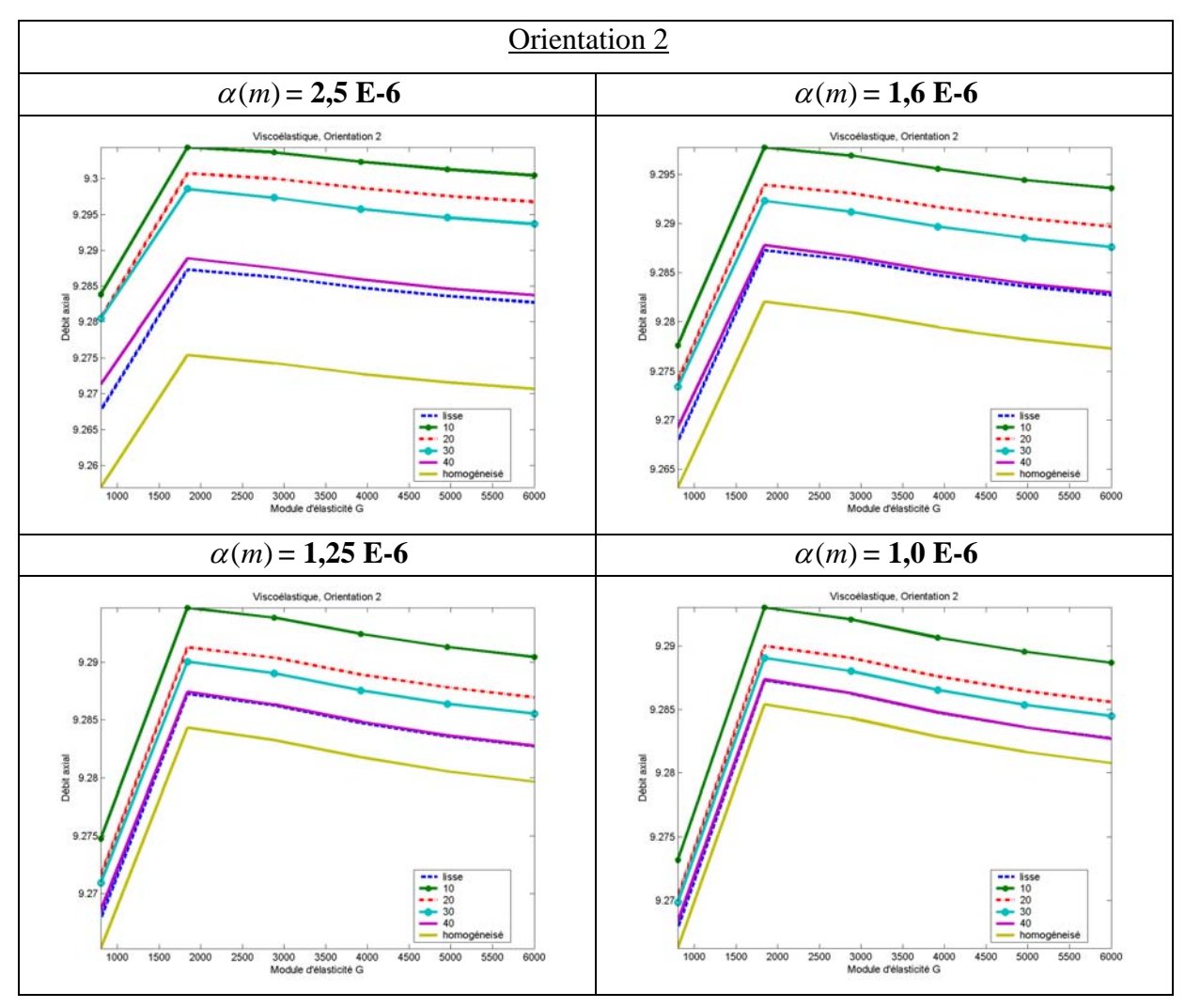


Tableau 28: Variation du débit axial dans le modèle viscoélastique, Orientation 2.

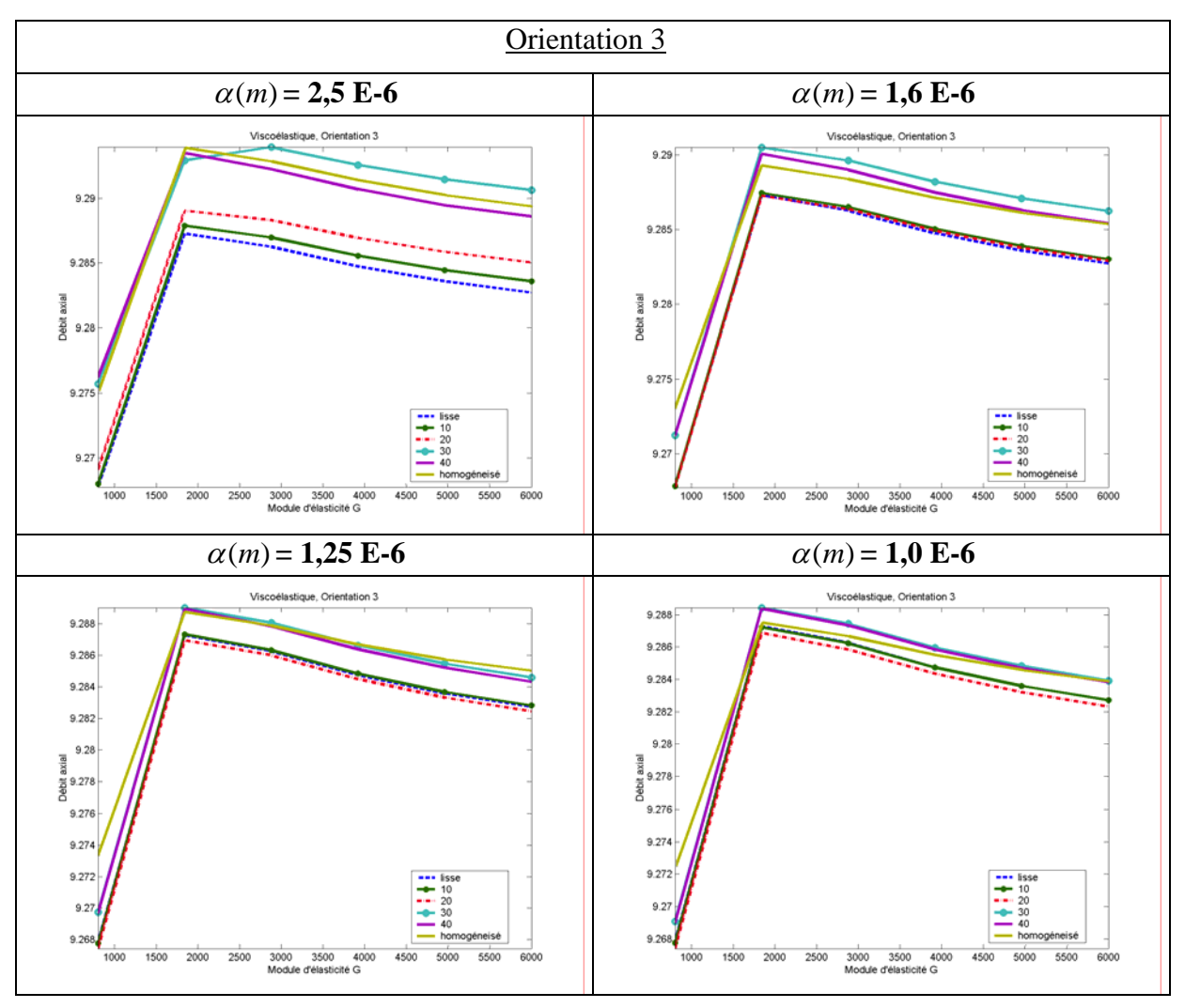


Tableau 29: Variation du débit axial dans le modèle viscoélastique, Orientation 3.

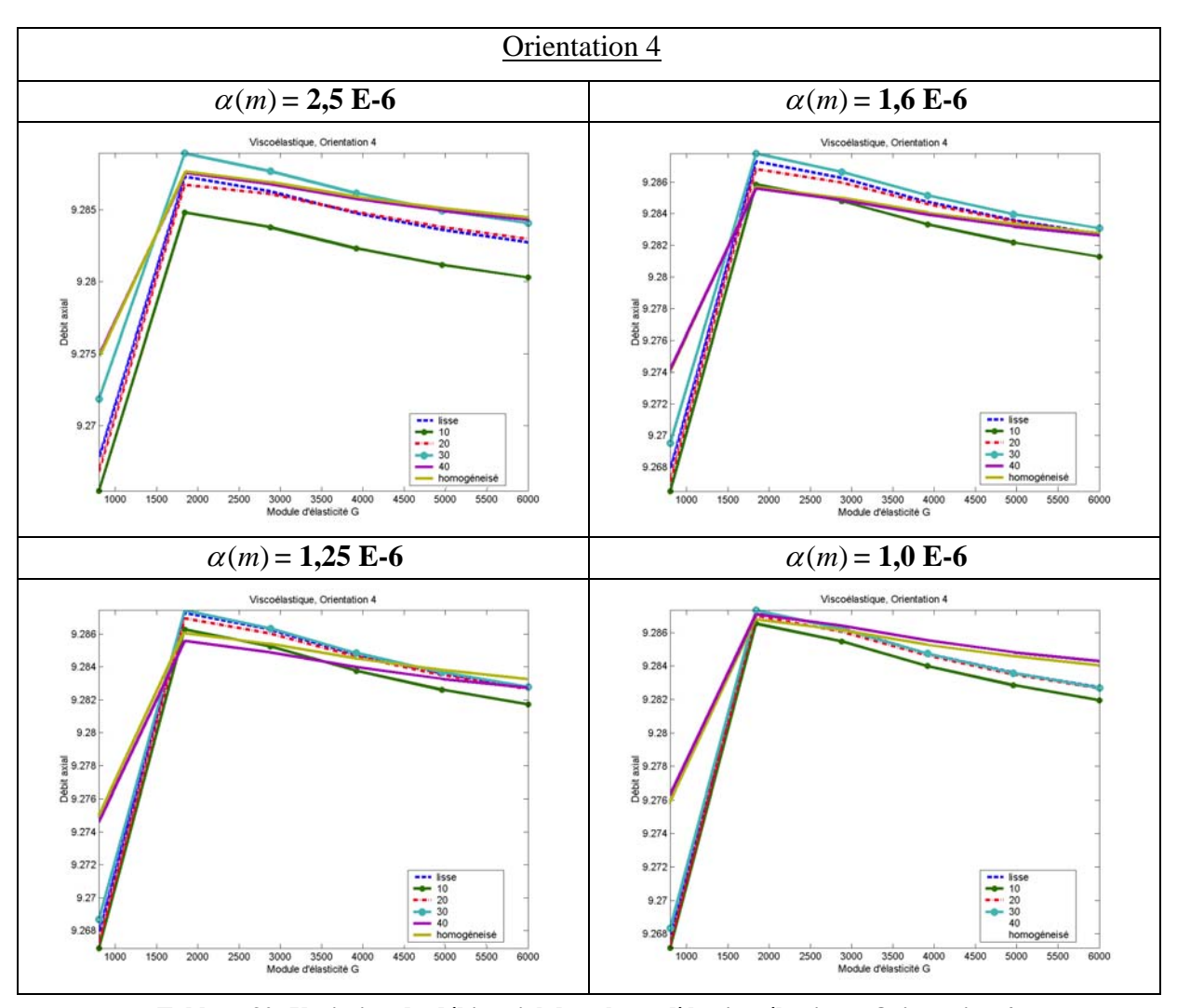


Tableau 30: Variation du débit axial dans le modèle viscoélastique, Orientation 4.

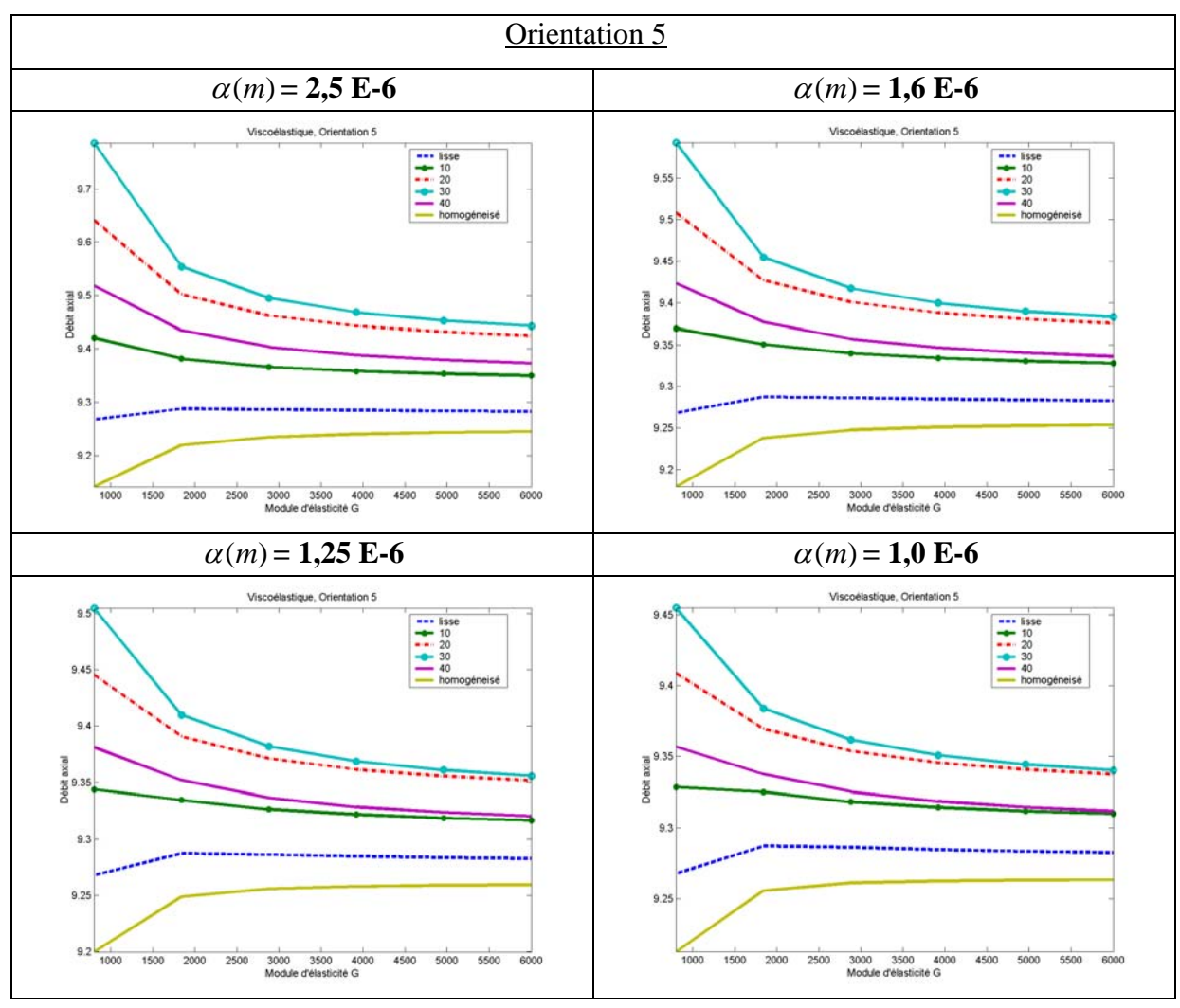


Tableau 31: Variation du débit axial dans le modèle viscoélastique, Orientation 5.

Quelque soient les orientations des rugosités ainsi que leurs amplitudes les courbes obtenues restent parallèles. Il faut rappeler que le débit est obtenu par intégration du champ de vitesses à travers l'épaisseur du film et que l'orientation des rugosités ne doit jouer que peut d'influence ce qui peut expliquer le parallélisme des courbes. L 'accroissement du débit à l'entrée du contact est du essentiellement aux effets convectifs introduits par les différentes dérivées multiplicatives du terme élastique au fur et à mesure de son augmentation. L'augmentation de G fait décroître et même disparaître les effets élastiques et l'on se retrouve dans le cas visqueux classique. On peut noter que les solutions exactes convergent toutes vers la solution homogénéisée.

## Force de frottement

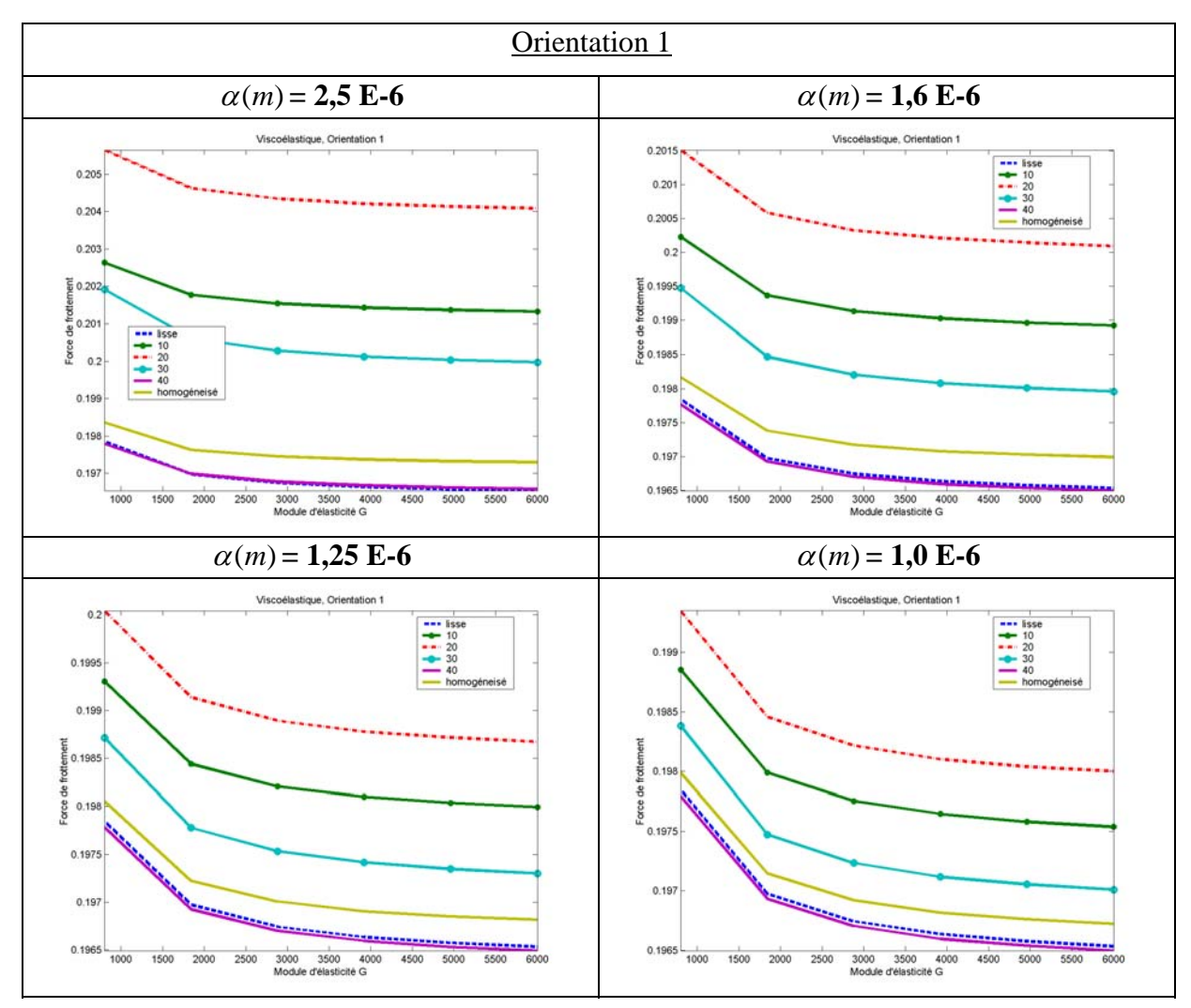


Tableau 32: Variation de la force dans le modèle viscoélastique, Orientation 1.

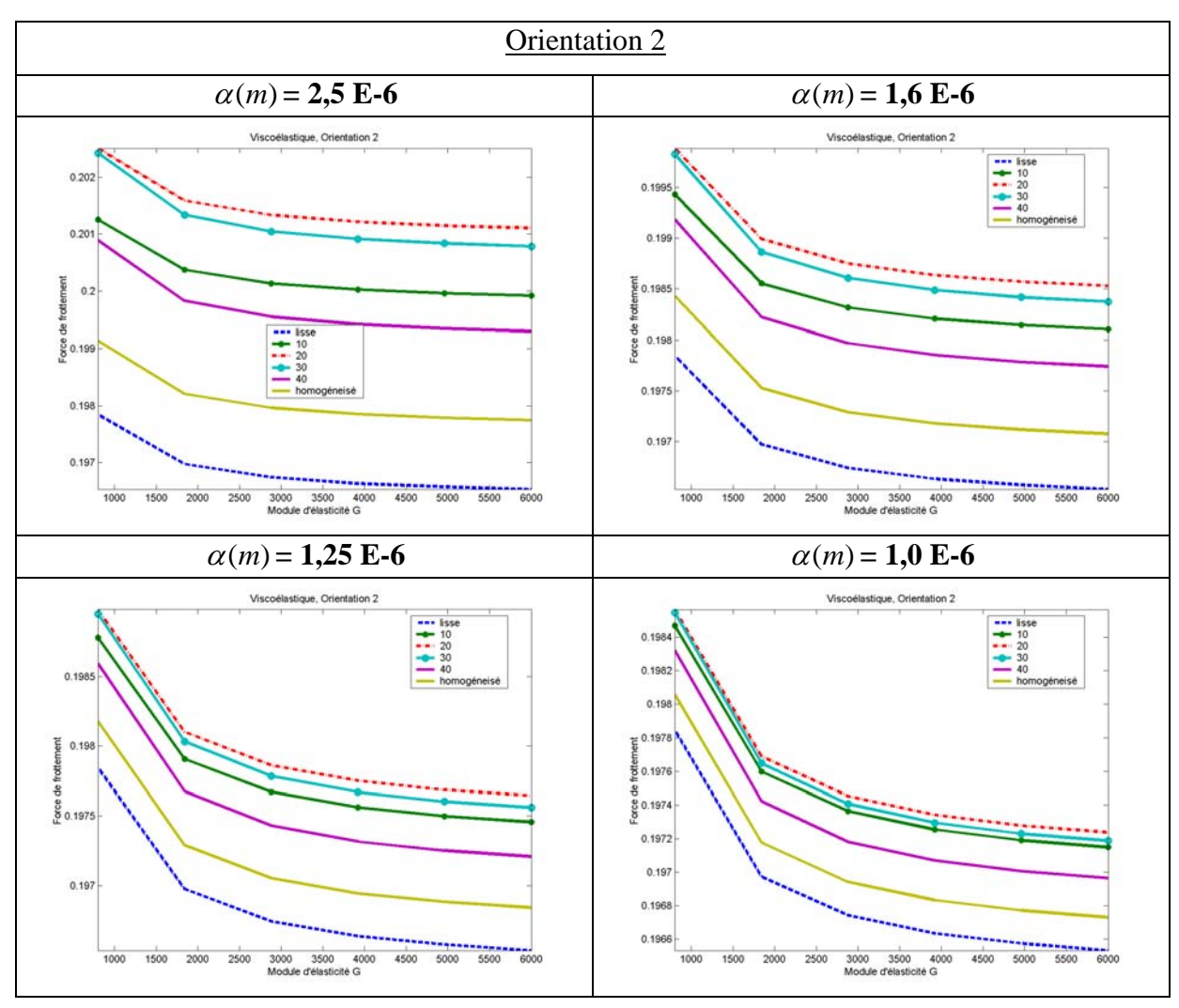


Tableau 33: Variation de la force dans le modèle viscoélastique, Orientation 2.

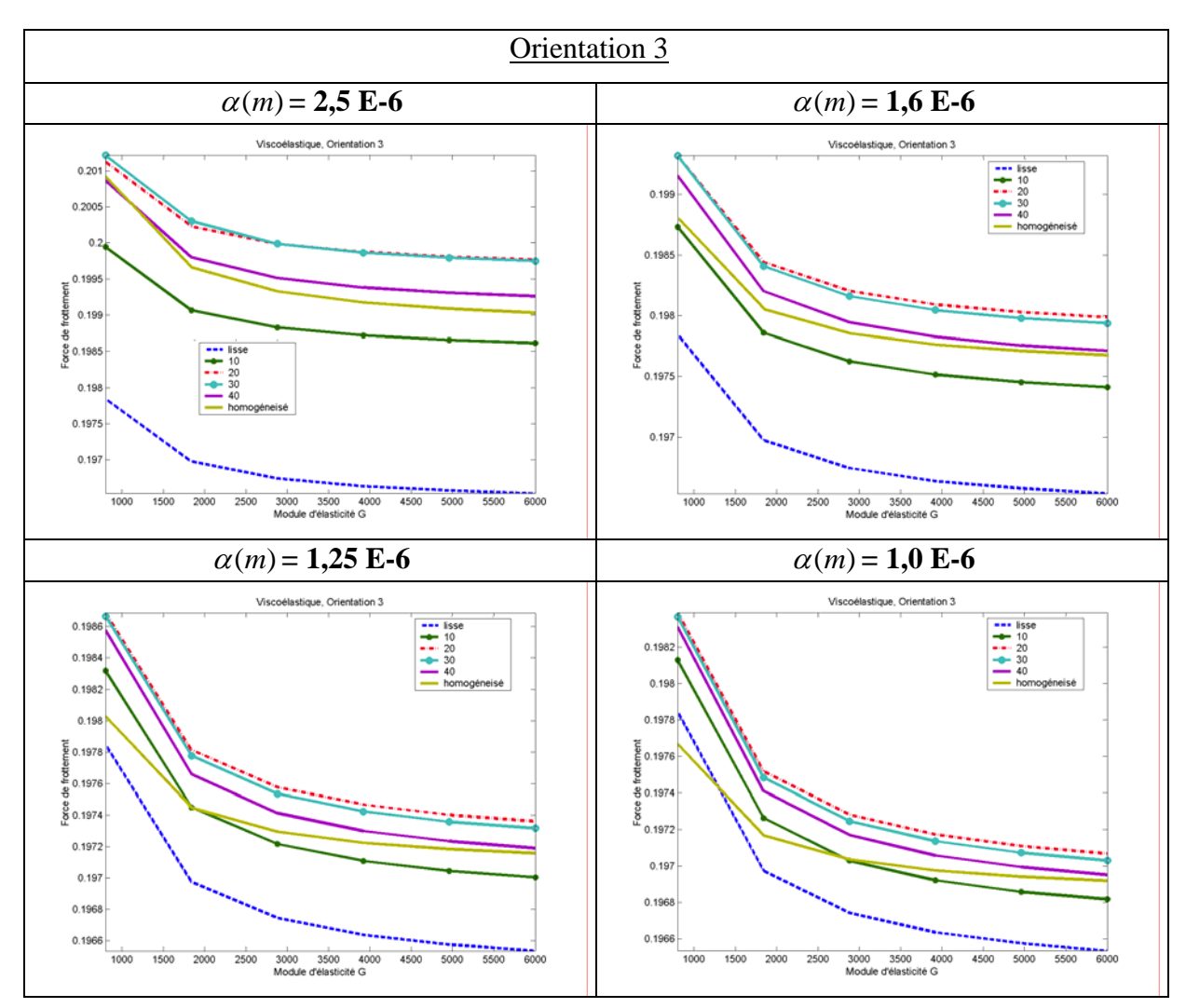


Tableau 34: Variation de la force dans le modèle viscoélastique, Orientation 3.

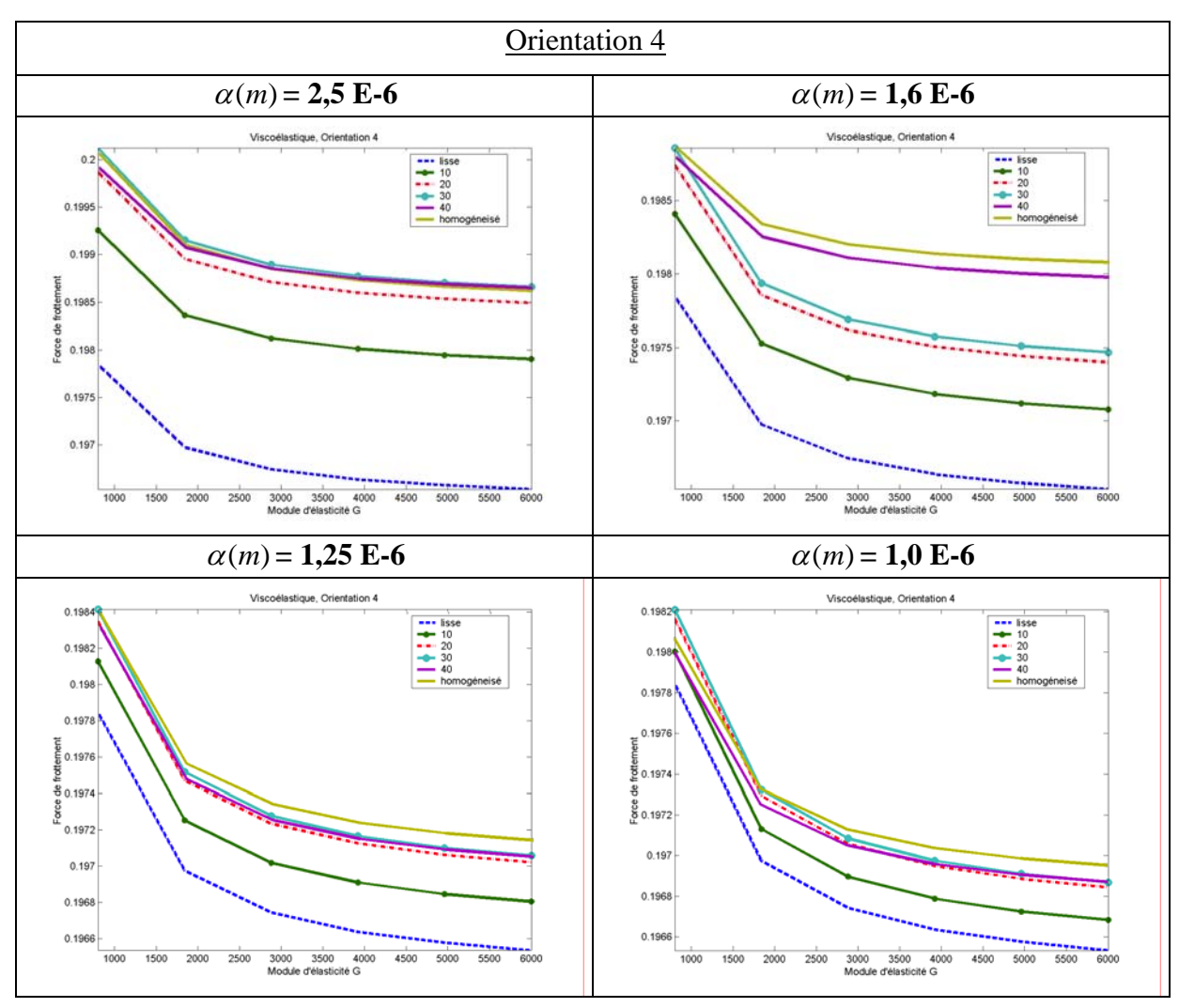


Tableau 35: Variation de la force dans le modèle viscoélastique, Orientation 4.

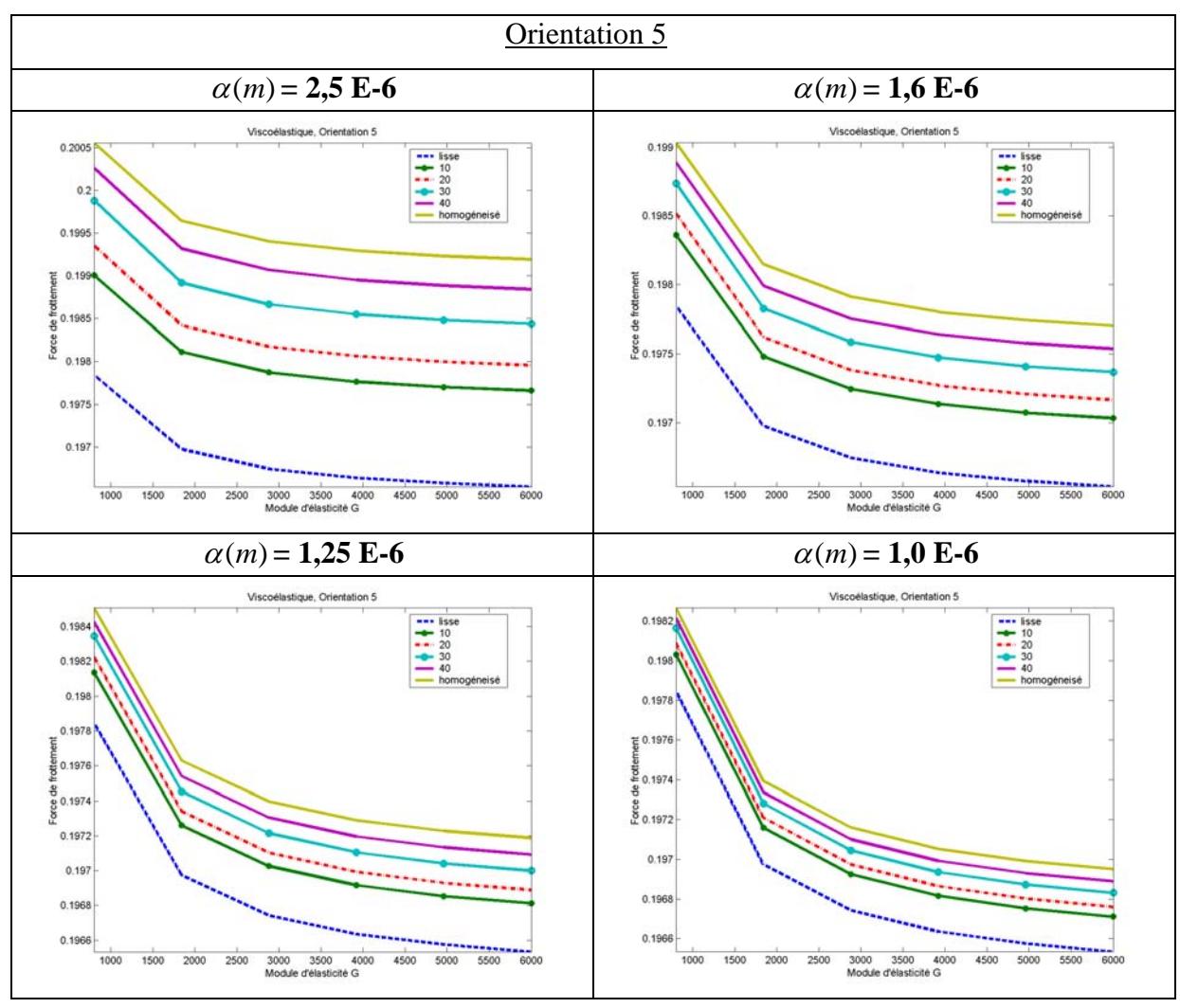


Tableau 36: Variation de la force dans le modèle viscoélastique, Orientation 5.

Quelque soient les orientations des rugosités ainsi que leurs amplitudes les courbes obtenues restent parallèles. Il faut rappeler que la force de frottement est obtenue par intégration de la contrainte de cisaillement sur la surface mobile et que l'orientation des rugosités ne doit avoir que peut d'influence ce qui peut expliquer le parallélisme des courbes. L'augmentation de le force de frottement à l'entrée du contact est du essentiellement à la résistance de l'écoulement dû à l'élasticité du fluide. Cette résistance disparaît bien entendu lorsque le module de cisaillement augmente c'est à dire lorsque que l'on tend vers une situation purement visqueuse.

# Maximum de pression

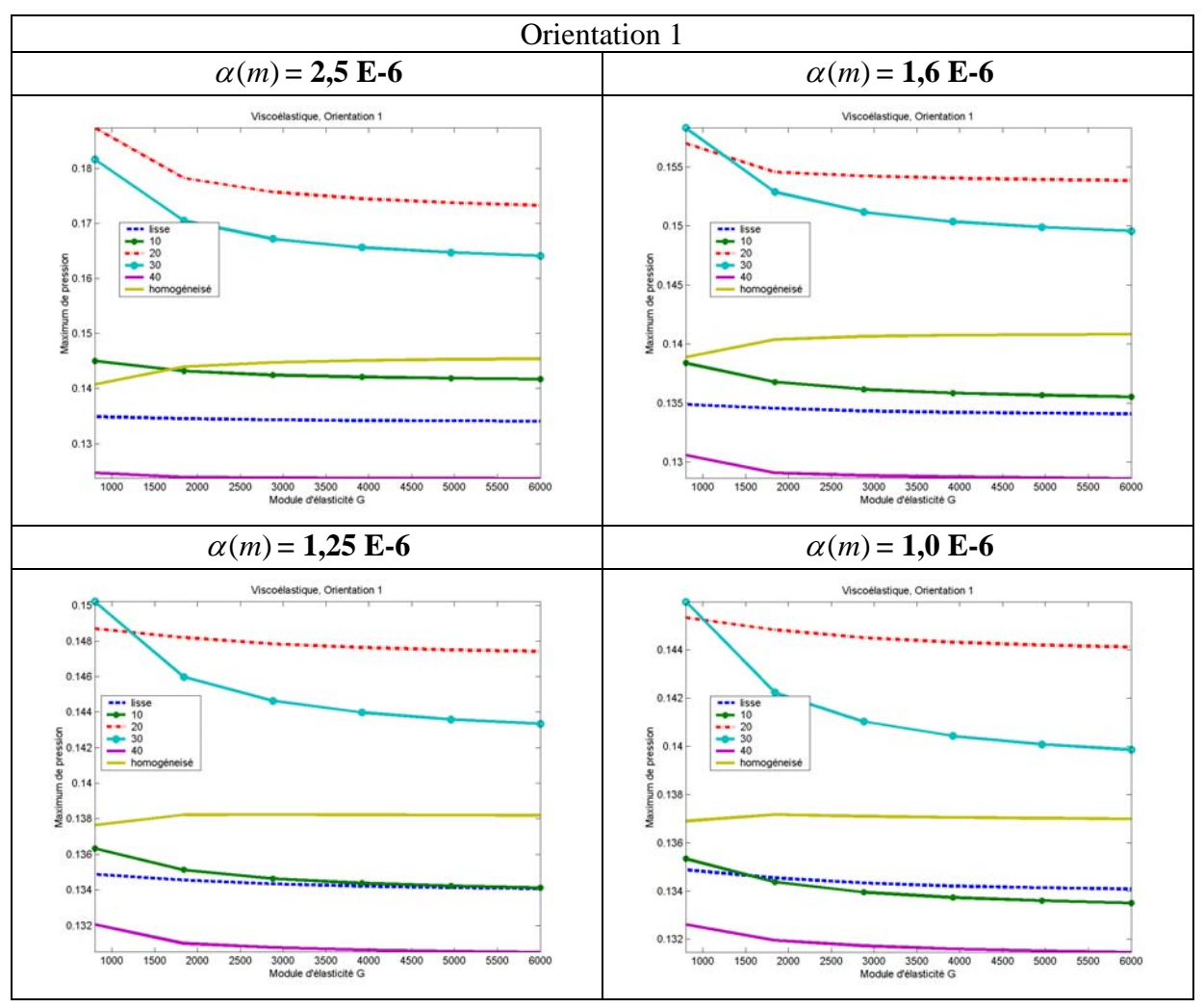


Tableau 37: Variation de la pression dans le modèle viscoélastique, Orientation 1.

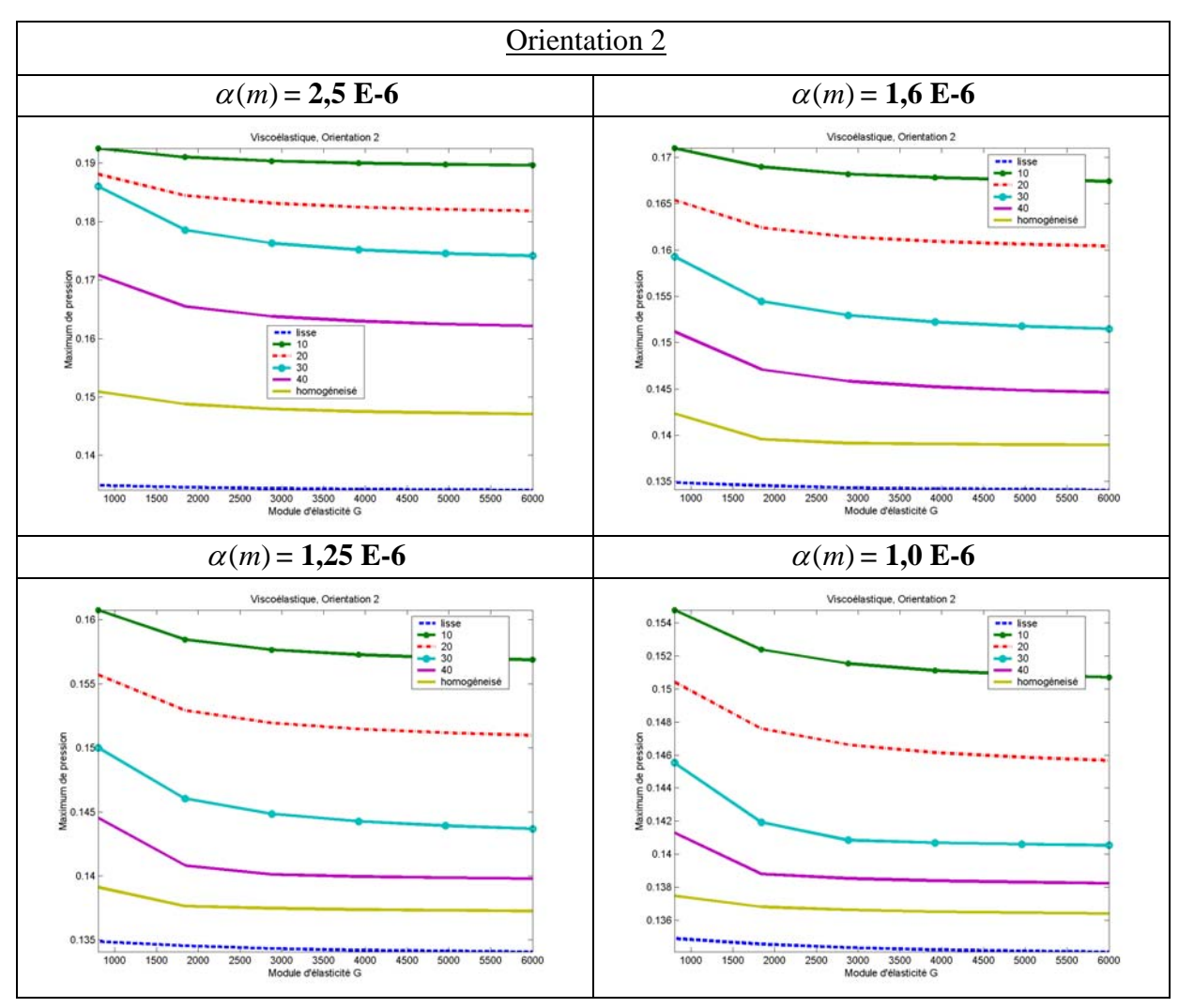


Tableau 38: Variation de la pression dans le modèle viscoélastique, Orientation 2.

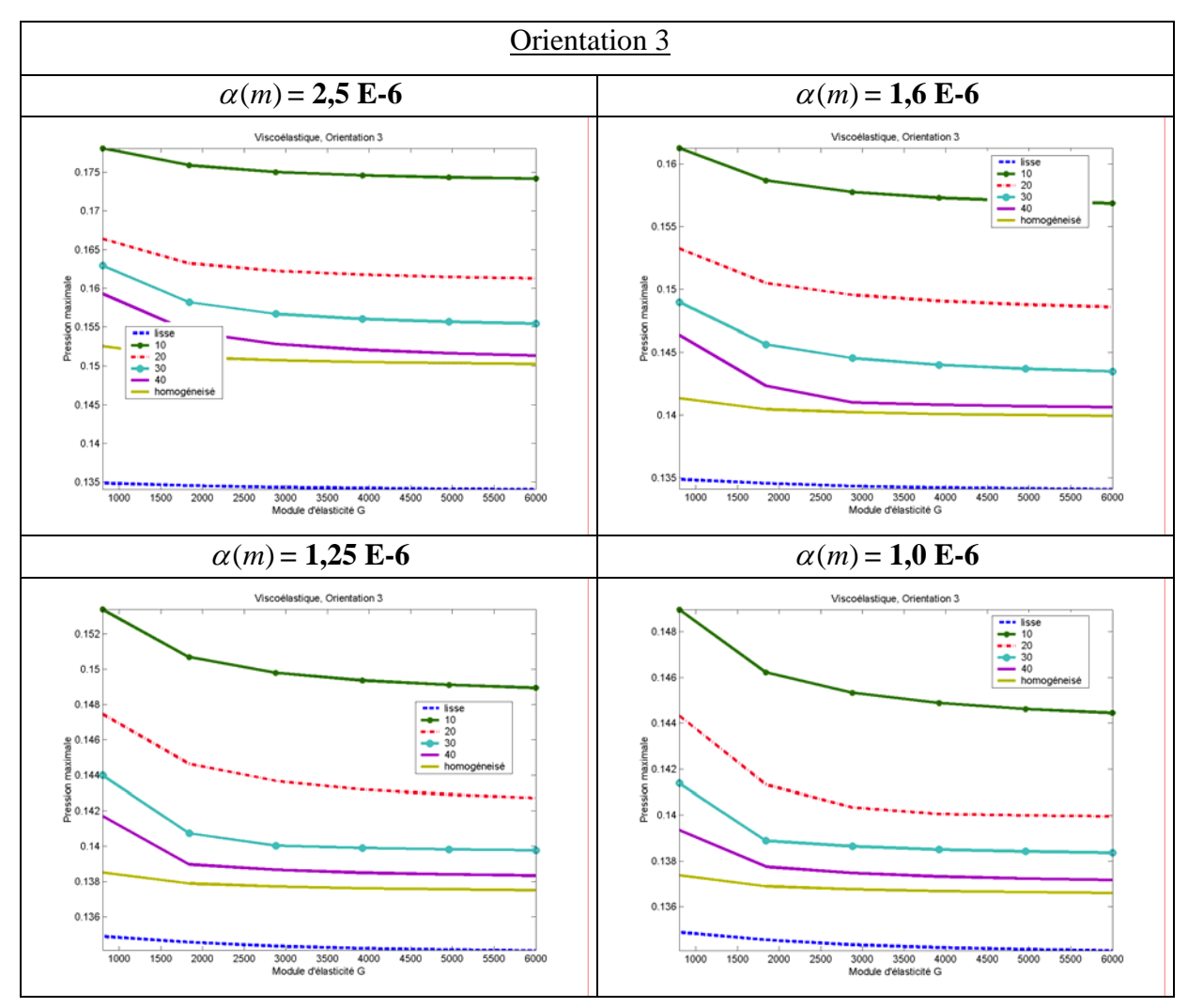


Tableau 39: Variation de la pression dans le modèle viscoélastique, Orientation 3.

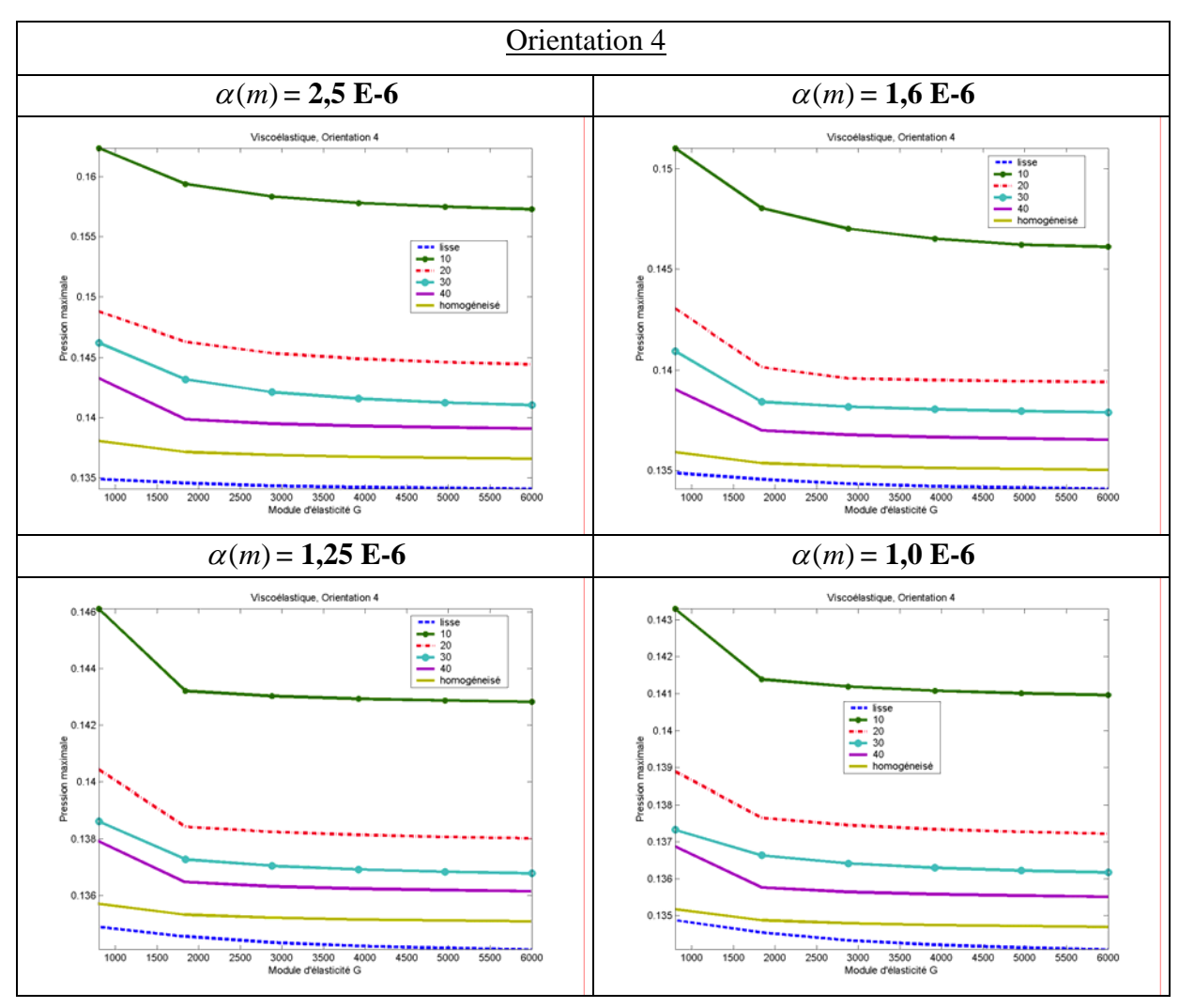


Tableau 40: Variation de la pression dans le modèle viscoélastique, Orientation 4.

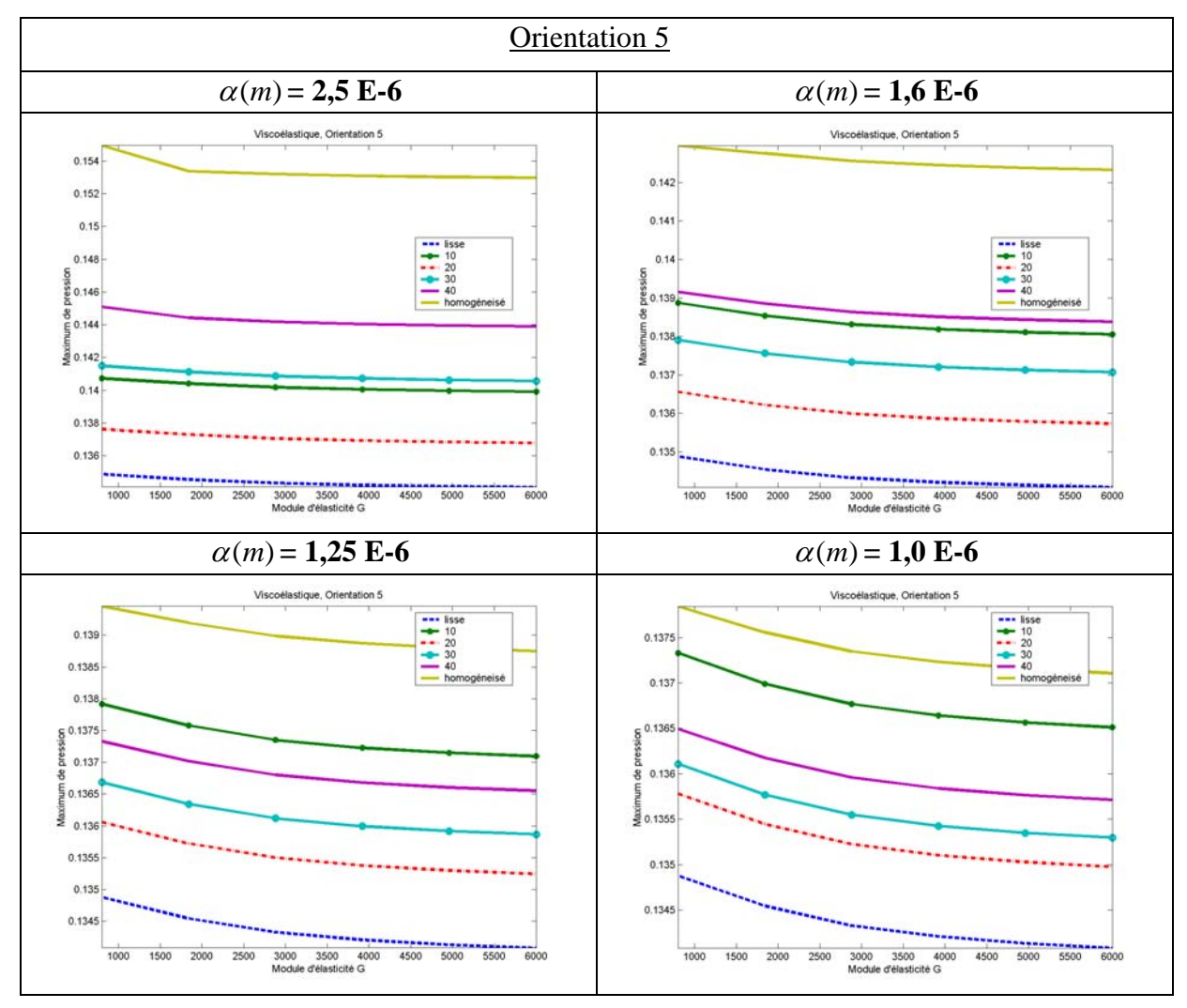


Tableau 41: Variation de la pression dans le modèle viscoélastique, Orientation 5.

En ce qui concerne les maximums de pression nous pouvons faire les mêmes constatations. Le courbes sont homothétiques et les solutions exactes tendent toutes vers la solution homogénéisée. Un maximum important est à observer pour des faibles valeurs de G (on rappelle que c'est le facteur  $\frac{1}{G}$  qui est le facteur multiplicatif des termes dérivées des contraintes par rapport au temps); Lorsque G augmente la partie élastique perd de son importance et l'on se retrouve dans une situation d'écoulement visqueux classique.

## V CONCLUSION

Après avoir valider la théorie 'non Newtonien' et la méthode de l'homogénéisation, notre objectif dans ce chapitre était de ressortir toute l'originalité de notre travail en homogénéisant l'équation de Reynolds pour un fluide non Newtonien.

Les calculs sont fastidieux et longs, mais nous ont permis d'avoir toutes les équations nécessaires à la résolution du problème homogénéisé. Les résultats obtenus ont été discutés et comparés avec les méthodes directes de calcul, et nous semblent valables pour une validation définitive de cette méthode dite d'homogénéisation.

#### CONCLUSION GENERALE ET PERSPECTIVES

L'étude entreprise dans cette thèse visait à mettre en place un nouveau modèle composé d'une partie analytique et d'une partie numérique utilisant de nouvelles techniques d'analyse dite d'homogénéisation et pouvant prendre en compte la géométrie locale et un comportement non Newtonien des fluides.

Pour ce faire, dans le premier chapitre, une bibliographie a été entreprise pour nous permettre de situer notre problème dans le domaine de la lubrification et voir ce qui a été déjà fait dans le domaine d'analyse de contact prenant en compte la géométrie locale. Ainsi, trois types d'analyse ont été répertoriés : l'analyse stochastique, l'analyse déterministe et l'homogénéisation. Notre choix s'est porté sur l'homogénéisation car étant celle qui est la plus rigoureuse et la plus représentative dans le cas de rugosités anisotropes.

Une fois situés le problème ainsi que le choix des moyens de travail, l'homogénéisation a été appliquée à l'équation de Reynolds classique dans le deuxième chapitre. Ainsi, en partant des hypothèses de base et des équations de Navier Stokes réduites , l'équation de Reynolds a été établie. Les étapes de l'homogénéisation de cette équation ont été exposées et détaillées. La géométrie générale et locale de notre contact ont été définies. Les résultats de l'homogénéisation ont été comparés avec ceux obtenus d'une manière directe, cette analyse nous a permis de valider cette méthode.

Dans le chapitre 3, la première partie a été consacrée au comportement non Newtonien des fluides obéissant à certaines types de réactions aux sollicitations. On a pu constater que le comportement du lubrifiant peut être Newtonien, visqueux, viscoélastique ou viscoélastique-plastique. La non-linéarité du terme visqueux peut se mettre sous différentes formes. En partant de ces lois rhéologiques et des équations de base de la mécanique des milieux continus appliquées aux films minces, une nouvelle équation de Reynolds Modifiée dite non Newtonienne a été présentée. La résolution de cette équation a été faite dans un premier temps d'une manière directe et les résultats étudiés pour extraire

les paramètres influents de la géométrie et de la rhéologie. L'analyse de ces résultats a permis de valider la théorie non Newtonienne.

Dans le dernier chapitre de ce manuscrit, l'homogénéisation a été appliquée à la nouvelle équation de Reynolds Modifiée, la démarche a été exposée et les résultats commentés. Certes les calculs sont assez fastidieux, mais nous ont amené à trouver toutes les équations pour la résolution du problème homogénéisé. Une étude paramétrique a été menée afin de mettre en évidence l'influence des paramètres tels que la géométrie locale, la loi de comportement du fluide. L'analyse des résultats nous a permis de valider définitivement la méthode d'homogénéisation pour obtenir les caractéristiques importantes du contact. C'est à notre connaissance la première fois que cette méthode est appliquée aux fluides non-Newtoniens.

Les logiciels mis en place pour la résolution des problèmes de contact sont des logiciels généraux et peuvent être utilisés pour différentes géométries telles que les butées, les paliers, les engrenages,.... Ils peuvent aussi résoudre les lois de comportement rhéologiques de type Maxwell en partant initialement d'un comportement Newtonien, pour traiter ensuite un comportement visqueux, viscoélastique ou viscoélasto-plastique. Plusieurs types de rugosités peuvent être prises en compte (rugosités quelconques, quelconques, anisotropes, transversales ou longitudinales) et leurs orientations peuvent varier d'une manière quelconque en partant d'une direction longitudinale jusqu'à une direction transversale.

De nombreuses perspectives sont envisageables :

- la prise en compte de la variation de la pression et de la température dans le contact, d'où la nécessité de la résolution de l'équation de l'énergie fans le film et de la chaleur dans les massifs en contact,
- la prise en compte de la déformation des massifs en contact,
- une étude en régime non stationnaire pour illustrer les phénomènes de démarragearrêts,
- Une étude expérimentale qui permettrait de valider complètement le modèle.

# REFERENCES BIBLIOGRAPHIQUES

- [1]: BOU-SAID B., Document de synthèse pour obtenir l'habilitation à diriger des recherches, spécialité mécanique Lyon : INSA , 1993 . 77 p. + 129 p. d'annexes.
- [2]: TZENG S.T., SAIDEL E., , "Surface Roughness Effect on Slider Lubrification", ASLE Transactions, 1967, Vol. 10, N°3, p. 334-337.
- [3]: CHRISTENSEN H., TONDER K. "The Hydrodynamique Lubrification of Rough Bearing Surfaces of Finite Width", Transactions-of-the-ASME.-Journal-of-Lubrication-Technology, July 1971, Vol. 93 Ser F, N° 3, P. 324-330.
- [4]: PATIR N., CHENG H. S., "Effect of Surface Roughness Orientation on Central Film-Thickness in EHD Contact", in Proc. 5th Leeds-Lyon Symp. Trib., Lyon, (1978a), p. 15-21
- [5]: BOEDO S., BOOKER J.F. "Surface Roughess abd Structural Inertia in a Mode-Based Mass-Conserving Elastohydrodynamic Lubrification Model", Transactions-of-the-ASME Journal of Tribology, Jul. 1997, Vol. 119, N° 3, p. 449-455.
- [6]: ZHANG C., CHENG H.S. "Transient Non-Newtonien Thermohydrodynamic Mixed Lubrification of Dynamically Loaded Journal Bearing", Transactions-of-the-ASME Journal of Tribology, Jan. 2000, Vol. 122, N°1, p. 156-161.
- [7]: WANG P., KEITH T.G. "Combined Surface Roughness of Dynamically Loaded Journal Bearings", Tribology Transactions, 2002, Volo. 45, N° 1, p 1-10.
- [8]: ELROD JR. "A Cavitation Algorithm", Transactions-of-the-ASME.-Journal-of-Lubrication-Technology, July 1981, Vol. 103, N° 3, p. 350-354.
- [9]: VIJAYARAGHAVAN D., KEITH JR "Development and Evaluation of a Cavitation Algorithm", Tribology Transactions, Apr. 1989, Vol. 32, NO 2, p. 225-233.

- [10]: PATIR N., CHENG H-S. "An Average Flow Model For Determining Effects of Three-Dimensional Roughness on Partial Hydrodynamic Lubrication", Transactions-of-the-ASME.-Journal-of-Lubrication-Technology, Jan. 1978, Vol. 100, N° 1, p.12-17.
- [11]: PATIR. N, CHENG H-S. "Application of Average Flow Model to Lubrication Between Rough Sliding Surfaces", Transactions-of-the-ASME.-Journal-of-Lubrication-Technology, April 1979, Vol. 101, N° 2, p. 220-230.
- [12]: CHRISTENSEN H., TONDER K. "The Hydrodynamic Lubrication of Rough Journal Bearing", Transactions-of-the-ASME.-Journal-of-Lubrication-Technology. July 1980, Vol. 102, N0 3, p. 368-73.
- [13]: WU C., ZHENG L. "An Average Reynolds Equation For Partial Film Lubrication With a contact Factor", Transactions-of-the-ASME.-Journal-of-Lubrication-Technology, Jan. 1989, Vol. 111, N°1, p. 188-191.
- [14]: LEUNG M., HSIEH C.K., GOSWANI D.Y. "Application of Boltzmann Statical Mechanics in the Validation of the Gaussian Summit Height Distribution in Rough Surfaces", Transactions-of-the-ASME.- Journal of Tribology, 1997, Vol. 119, N°3, p. 846-850.
- [15]: PEKLENIK J. "New Development in Surface Charaterization and Measurment by Means of Random Process Analysis", Proc.Inst. Mech. Engrs., 1967-1968, Vol.182, Part 3K, p. 108-111.
- [16]: KWEH C.C., EVENS H.P., SNIDLE R.W. "Micro-Elastohydrodynamic Lubrification of an Elliptical Contact With Transverse and Three-Dimensinal Sinusoidal Roughness", Transactions-of-the-ASME.- Journal of Tribology, Oct, 1989, Vol. 111, N° 4, p. 577-584.
- [17]: KWEH C.C., PATCHING M.J., EVANS H .P., SNIDLE R.W. "Simulation of Elastohydrodynamic Contacts Between Rough Surfaces", Transactions-of-the-ASME.-Journal of Tribology, Jul, 1992, Vol. 114, N° 3, p. 412-419.
- [18]: VENNER C.H, NAPEL W.E. "Surface Roughness Effects in a EHL Line Contact", Transactions-of-the-ASME.- Journal of Tribology, Jul. 1992, Vol. 114, N° 3, p. 616-622.

- [19]: GREENWOOD J.A., MORALES, ESPEJEL G.E., "The Behaviour of Tranverse Roughness in EHL Contact", Proceedings-of-the-Institution-of-Mechanical-Engineers, Part-Journal-of-Engineering-Tribology. 1994, Vol. 208, N° J2, p.121-32.
- [20]: AI X., CHENG H.S. "Transient EHL Analysis for Lie Contacts With Measured Surface Roughness Using Multigrid Technique", Transactions-of-the-ASME, Journal of Tribology, July 1994, Vol. 116, N° 3, p. 549-558.
- [21]: ZHU D., AI X., "Point Contact ehl Based on Optically Measured Three-Dimensional Rough Surfaces", Transactions-of-the-ASME, Journal of Tribology, Jul. 1997, Vol. 119, N° 3, p. 375-384.
- [22]: BUSCAGLIA G., JAÏ M., "A New Numerical Scheme For Non Uniform Homogenized Problems: Application to the Non Linear Reynolds Compressible Equation", Math. Prob. In Engin., 2000, Vol 7, p. 355-378.
- [23]: NICOLAS P. D., FRENE J., "Lubrification hydrodynamique", Paris, Editions EYROLLES, 1990. 488 p.
- [24]: VICHARD J.P., GODET M., "Hydrodynamics of lubricated contacts", Revue de l'Institut Français du Pétrole et Annale des Combustibles Liquides, Hors-série, 1966, 21(7-8), p. 1088-1130.
- [25]: FORSYTHE G. E., WASOF W. R. "Finite difference methods for partial differential equations", New York: John Willey and Sons, Inc., 1960. X-444 p.
- [26]: CARRIER G. F., PEARSON C. E., "Partial differential equations", <u>New York</u>: <u>Academic Press</u>, 1976, xi, 320 p.
- [27]: SERVAES H., "Contribution à l'étude de la lubrification du coussinet complet de largeur fini", Publication des Sciences Appliquées de l'Université de Liège, 1967, n°4, p. 99-102.
- [28]: FRENE J. "Régime d'écoulement non laminaire en film mince, application aux paliers lisses", Thèse de Doctorat d'Etat ès Sciences Physiques Université Claude Bernard de Lyon, 1974, 161 p.
- [29]: LEGRAS J. "Méthodes et techniques de l'analyse numérique", Paris : Dunod, 1971. XVI-324 p.
- [30]: WALTHER C. "The viscosity-temperature diagram", Petroleum Z. 1930 Vol. 26, p. 755-757.

- [31]: FRENE J. «Lubrification hydrodynamique des paliers des machines tournantes : Hydrodynamic lubrication of rotating machine bearings», Clamart: EDF-DER , 1997 . 26 p.
- [32]: OKRENT, E. H., "The Effect of Lubricant Viscosity and Composition on Engine Friction and Bearing Wear", ASLE Transactions, 1961, Vol. 4, p. 97-102.
- [33]: TANNER R. I. "Increase of Bearings Loads Due to Large Normal Stress Differences in Viscoelestic Lubricants", Trans. ASME Jour. of Applied Mechanics, 1969, Vol. 91, Serie F, N°4, p. 634-637.
- [34]: TAO F. F., PHILOPPOFF W. "Hydrodynamic Behavior of Viscoelactic Liquids in a Simulated Journal Bearing", ASLE Transactions, Jul. 1967, Vol. 10, N°3, p. 302-315.
- [35]: HARNOY A., HANIN M. "Second Order, Elastico-Viscous Lubricants in Dynamically Loaded Bearings", ASLE Transactions, Jul. 1974, Vol. 17, N° 3, p. 166-171.
- [36]: NICOLAS D. "les Régimes Non-Laminaires en Lubrification, Réduction du frottement par Addition de Polymères", Th. Doct. Sciences : Lyon, Inst. Nat. Sc. Appl. et Lyon I : 1979, 148 p.
- [37]: TAYAL S. P., SINHASAN R., SINGH O. V. "Analysis of Hydrodynamic Journal Bearings Having Non-Newtonien Lubricants Using the Finite Element Method", ASLE Transactions, Jul. 1982, Vol. 25, N° 3, p. 410-416.
- [38]: DIEN I. K., ELROD H. G. "A Generalized Steady-State Reynolds Equation for Non-Newtonian Fluids With Application to Journal Bearings", Transactions-of-the-ASME.-Journal-of-Lubrication-Technology, Jul. 1983, Vol. 105, N° 3, p. 385-390.
- [39]: HUTTON J. F., JACKSON K. P., WILLIAMSON, B. P. "The Effects of Lubricant Rheology on the Performance of Journal Bearings", ASLE Transactions, Jan. 1986, Vol. 29, N° 1, p. 52-60.
- [40]: FRANÇOIS J. M. "Modélisation en d'Ecoulements en Film Mince de Fluides Non-Newtoniens, Application à la Prédiction des Caractéristiques de Fonctionnement des Mécanismes Lubrifiés", Thèse de Doctorat, Sciences, Université Claude Bernard, Lyon 1, 1987, 146 p.

- [41]: DERDOURI A., CARREAU P. J., "Non-Newtonian and Thermal Effects in Journal Bearings", Tribology Transactions, v 32, n 2, Apr, 1989, p 161-169.
- [42]: NAJJI B. "Effets Non-Newtonien dans les paliers : Etude statique et dynamique par éléments finis", Thèse de Docteur d'Etat Es-Science. Ecole Mohammedia d'Ingénieurs. Université Mohammed 5, novembre 1989, 187 p.
- [43]: EHRET P., "Contribution à l'étude du comportement de mécanismes lubrifiés sous chargements transitoires", Thèse Docteur . Ingénieur Mécanique : Lyon, Inst. Nat Sc. Appl. : 1993, 246 p.
- [44]: TEVAARWERK J., JOHNSON K. L., "A Simple Non-Linear Constitutive equation for elastohydrodynamic oil films", *Wear*, Dec. 1975, Vol. 35, N° 2, p. 345-356.
- [45]: BELL J. C., "Lubrication of rolling surfaces by a Ree-Eyring fluid". ASLE Transactions, 1962, Vol. 5, N°1, p. 160-171.
- [46]: NAJJI B., BOU-SAID B., BERTHE D., "New formulation for lubrication with non-newtonian fluids", Transactions-of-the-ASME. Journal of Tribology, Jan. 1989, Vol. 111, N° 1, p. 29-34.
- [47]: NAJJI B., "Calculs des Contacts Lubrifiés à l'aide d'un Fluide Non-Newtonien, Méthodes Numériques Nouvelles", Thèse Docteur . Ingénieur Mécanique : Lyon, Inst. Nat Sc. Appl. : 1985, 204 p.
- [48]: HOUPERT L., FLAMAND L., BERTHE D, "Rheological and thermal effects in lubricated E.H.D contacts", Transactions-of-the-ASME.-Journal-of-Lubrication-Technology, Oct 1981, Vol. 103, N° 4, p. 526-532.
- [49]: CONRY T.F., "Thermal effects on traction in E.H.D lubrication", Transactions-of-the-ASME.-Journal-of-Lubrication-Technology, Oct, 1981, Vol. 103, N° 4, p. 533-538.
- [50]: KODNIR D.S., SALUKVADZE R.G., BAKASHIVILI, D.L., SCHWARTZMAN, V.S.H., "A Solution of the Elastohydrodynamic Problem for Non Newtonian Fluids", Transactions-of-the-ASME.-Series-F,-Journal-of-Lubrication-Technology. April 1975, Vol. 7, N° 2, p. 303-10, 320.

- [51]: CHOW T.S., SAIDEL E., "The Elastohydrodynamic Problem with a Viscoelastic Fluid", Transactions-of-the-ASME.-Journal-of-Lubrication-Technology. Janvier 1971, Vol. 93, Serie F, N°1, p.25-31.
- [52]: BAIR S., WINER W.O., "A rheological model for elastohydrodynamic contacts based on primary laboratory data", Transactions-of-the-ASME.-Journal-of-Lubrication-Technology. July 1979, Vol. 101, N° 3, p. 258-265.
- [53]: JOHNSON K. L., TEVAARWERK J. L., "Shear Behaviour of elastohydrodynamic oil films", Proceedings-of-the-Royal-Society-of-London,-Series-A-(Mathematical-and-Physical-Sciences). 1977, Vol. 356, N° 1685, p. 215-36.
- [54]: JAÏ M., BOU-SAÏD B. "A comparaison of homogenization and averaging techniques for the treatment of roughness in Boltzman flow modified Reynolds equation", Transactions-of-the-ASME.-Journal-of-Tribology. Vol. 124, N° 2, April 2002, p. 327-335.
- [55]: Bensoussan A., Lions J.L., Papanicolaou G. "Asymptotic Analysis for Periodic Structures", North-Holland 1978.

ANNEXE 1: EXPRESSIONS DE 
$$\frac{d\tau_{ij}}{dt}$$
 [42]

L'expression de la dérivée de la contrainte de cisaillement par rapport au temps peut se mettre sous différentes formes selon que l'on tient compte de la rotation créée par le fluide ou d'une distorsion possible. Les expressions possibles sont celles suivantes :

- la dérivée de JAUMAN,
- la dérivée d'OLDROYD
- et la dérivée intrinsèque.

## I DÉRIVÉE DE JAUMAN

Ici, l'effet de rotation est pris en compte . Ainsi, la dérivée se met sous forme :

$$\begin{cases} \frac{d\tau_{xz}}{dt} = u \frac{\partial \tau_{xz}}{\partial x} + v \frac{\partial \tau_{xz}}{\partial y} + w \frac{\partial \tau_{xz}}{\partial z} + \frac{1}{2} \left( \frac{\partial v}{\partial x} - \frac{\partial u}{\partial y} \right) \tau_{yz} \\ \frac{d\tau_{yz}}{dt} = u \frac{\partial \tau_{yz}}{\partial x} + v \frac{\partial \tau_{yz}}{\partial y} + w \frac{\partial \tau_{yz}}{\partial z} - \frac{1}{2} \left( \frac{\partial v}{\partial x} - \frac{\partial u}{\partial y} \right) \tau_{xz} \end{cases}$$

## II DÉRIVÉE D'OLDROYD

Si les déformations dans le fluide sont grandes, la dérivée de JAUMAN est insuffisante et doit contenir des termes supplémentaires. La dérivée d'OLDROYD est alors utilisée. Elle se met sous la forme suivante :

$$\begin{cases} \frac{d\tau_{xz}}{dt} = u \frac{\partial \tau_{xz}}{\partial x} + v \frac{\partial \tau_{xz}}{\partial y} + w \frac{\partial \tau_{xz}}{\partial z} + \left(\frac{\partial u}{\partial x} + \frac{\partial w}{\partial z}\right) \tau_{xz} + \frac{\partial v}{\partial x} \tau_{yz} \\ \frac{d\tau_{yz}}{dt} = u \frac{\partial \tau_{yz}}{\partial x} + v \frac{\partial \tau_{yz}}{\partial y} + w \frac{\partial \tau_{yz}}{\partial z} + \left(\frac{\partial u}{\partial x} + \frac{\partial w}{\partial z}\right) \tau_{yz} + \frac{\partial v}{\partial x} \tau_{xz} \end{cases}$$

## III DÉRIVÉE INTRINSÈQUE

Si les déformations élastiques du lubrifiant sont relativement petites, la dérivée peut être approchée par la dérivée intrinsèque qui se met sous la forme suivante :

$$\begin{cases} \frac{d\tau_{xz}}{dt} = u \frac{\partial \tau_{xz}}{\partial x} + v \frac{\partial \tau_{xz}}{\partial y} + w \frac{\partial \tau_{xz}}{\partial z} \\ \frac{d\tau_{yz}}{dt} = u \frac{\partial \tau_{yz}}{\partial x} + v \frac{\partial \tau_{yz}}{\partial y} + w \frac{\partial \tau_{yz}}{\partial z} \end{cases}$$

Pour la résolution de l'équation de Reynolds non newtonien, nous avons utilisé la dérivée intrinsèque.

# ANNEXE 2 : ETABLISSEMENT DE L'EQUATION DE REYNOLDS NON NEWTONIEN [42]

On part des équations d'équilibre pour film mince que nous rappelons ci dessous:

$$\begin{cases} \frac{\partial P}{\partial x} = \frac{\partial \tau_{xy}}{\partial z} \\ \frac{\partial P}{\partial y} = \frac{\partial \tau_{yz}}{\partial z} \\ \frac{\partial P}{\partial z} = 0 \end{cases}$$

et des équations de comportement rhéologique:

$$\begin{cases}
\tau_{xz} = \frac{\tau_e}{F(\tau_e)} \left( \frac{\partial u}{\partial z} - A \frac{d\tau_{xz}}{dt} \right) \\
\tau_{yz} = \frac{\tau_e}{F(\tau_e)} \left( \frac{\partial v}{\partial z} - A \frac{d\tau_{yz}}{dt} \right)
\end{cases}$$

En remplaçant les expressions des contraintes de cisaillement extraites des expressions des équations de comportement rhéologique dans les équations d'équilibre, on obtient :

$$\begin{cases} \frac{\partial P}{\partial x} = \frac{\partial}{\partial z} \left[ \frac{\tau_e}{F(\tau_e)} \left( \frac{\partial u}{\partial z} - A \frac{d\tau_{xz}}{dt} \right) \right] \\ \frac{\partial P}{\partial y} = \frac{\partial}{\partial z} \left[ \frac{\tau_e}{F(\tau_e)} \left( \frac{\partial v}{\partial z} - A \frac{d\tau_{yz}}{dt} \right) \right] \\ \frac{\partial P}{\partial z} = 0 \end{cases}$$

Une première intégration permet d'avoir les gradients des vitesses à travers l'épaisseur du film :

$$\begin{cases} \frac{\partial u}{\partial z} = \frac{F(\tau_e)}{\tau_e} \frac{\partial P}{\partial x} z + A \frac{d\tau_{xz}}{dt} + C_{u1}(x, y) \\ \frac{\partial v}{\partial z} = \frac{F(\tau_e)}{\tau_e} \frac{\partial P}{\partial y} z + A \frac{d\tau_{yz}}{dt} + C_{v1}(x, y) \end{cases}$$

Avec  $C_{u1}(x,y)$  et  $C_{v1}(x,y)$  des constantes d'intégration indépendantes de z .

Une deuxième intégration donnera accès aux champs de vitesses u et v:

$$\begin{cases} u = \frac{\partial P}{\partial x} I_m + K_{mx} + C_{u1} J_m + C_{u2} (x, y) \\ v = \frac{\partial P}{\partial y} I_m + K_{my} + C_{v1} J_m + C_{v2} (x, y) \end{cases}$$

Les expressions des termes  $I_m$ ,  $K_{mx}$ ,  $J_m$  sont notées a la fin de l'annexe,  $C_{u2}(x,y)$  et  $C_{v2}(x,y)$  sont des constantes d'intégration indépendante de z.

Les conditions aux limites sur les champs de vitesses sont obtenues en supposant qu'il n'y a pas de glissement du lubrifiant sur les parois:

$$u = U_1, v = V_1, w = W_1 \implies z = H_1$$
  
 $u = U_2, v = V_2, w = W_2 \implies z = H_2$ 

Ainsi, les quatre constantes d'intégration peuvent être déterminées :

$$\begin{cases} C_{u1}(x,y) = \frac{U_1 - U_2}{J_{m2}} - \frac{\partial P}{\partial x} \frac{I_{m2}}{J_{m2}} - \frac{K_{mx2}}{J_{m2}} \\ C_{v1}(x,y) = \frac{V_1 - V_2}{J_{m2}} - \frac{\partial P}{\partial y} \frac{I_{m2}}{J_{m2}} - \frac{K_{my2}}{J_{m2}} \\ C_{u2}(x,y) = 0 \\ C_{v2}(x,y) = 0 \end{cases}$$

Avec les expressions de ces constantes, les champs de vitesse s'écrivent :

$$\begin{cases} u = \frac{\partial P}{\partial x} \left( I_m - J_m \frac{I_{m2}}{J_{m2}} \right) + \left( U_2 - U_1 - K_{mx2} \right) \frac{J_m}{J_{m2}} + K_{mx} + U_1 \\ v = \frac{\partial P}{\partial y} \left( I_m - J_m \frac{I_{m2}}{J_{m2}} \right) + \left( V_2 - V_1 - K_{my2} \right) \frac{J_m}{J_{m2}} + K_{my} + V_1 \end{cases}$$

Et leurs gradients suivant l'épaisseur du film :

$$\begin{split} & \left\{ \frac{\partial u}{\partial z} = \frac{F\left(\tau_{e}\right)}{\tau_{e}} \frac{\partial P}{\partial x} \left(z - \frac{I_{m2}}{J_{m2}}\right) + \frac{F\left(\tau_{e}\right)}{\tau_{e}} \left(\frac{U_{2} - U_{1}}{J_{m2}} - \frac{K_{mx2}}{J_{m2}}\right) + A \frac{d\tau_{xz}}{dt} \right. \\ & \left\{ \frac{\partial v}{\partial z} = \frac{F\left(\tau_{e}\right)}{\tau_{e}} \frac{\partial P}{\partial y} \left(z - \frac{I_{m2}}{J_{m2}}\right) + \frac{F\left(\tau_{e}\right)}{\tau_{e}} \left(\frac{V_{2} - V_{1}}{J_{m2}} - \frac{K_{my2}}{J_{m2}}\right) + A \frac{d\tau_{yz}}{dt} \right. \end{split}$$

L'intégration de l'équation de continuité à travers l'épaisseur du film:

$$\frac{\partial w}{\partial z} + \frac{\partial v}{\partial y} + \frac{\partial u}{\partial x} = 0$$

permet d'avoir accès à la troisième composante des vitesses :

$$w = -\int_{H_1}^{z} \left( \frac{\partial v}{\partial y} + \frac{\partial u}{\partial x} \right) dz + W_1$$

En  $z = H_2$  cette relation devient :

$$\int_{H_1}^{H_2} \frac{\partial v}{\partial y} dz + \int_{H_1}^{H_2} \frac{\partial u}{\partial x} dz = W_1 - W_2$$

En intervertissant les intégrales et les dérivées, cette dernière équation devient :

$$\frac{\partial}{\partial y} \int_{H_{1}}^{H_{2}} v dz + \frac{\partial}{\partial x} \int_{H_{1}}^{H_{2}} u dz = W_{1} - W_{2} + U_{2} \frac{\partial H_{2}}{\partial x} - U_{1} \frac{\partial H_{1}}{\partial x} + V_{2} \frac{\partial H_{2}}{\partial y} - V_{1} \frac{\partial H_{1}}{\partial y}$$

Intégrons cette dernière relation par partie :

$$\begin{cases} \int\limits_{H_{1}}^{H_{2}} u dz = U_{2} \left( H_{2} + H_{1} \right) - \int\limits_{H_{1}}^{H_{2}} \left( z - H_{1} \right) \frac{\partial u}{\partial z} dz \\ \int\limits_{H_{1}}^{H_{2}} v dz = V_{2} \left( H_{2} + H_{1} \right) - \int\limits_{H_{1}}^{H_{2}} \left( z - H_{1} \right) \frac{\partial v}{\partial z} dz \end{cases}$$

En remplaçant les dernières expressions des gradients de vitesses dans l'équation çidessus, on obtient l'équation de Reynolds Modifiée pour les fluides non Newtoniens :

$$\begin{split} & \frac{\partial}{\partial x} \left( G_m \frac{\partial P}{\partial x} \right) + \frac{\partial}{\partial y} \left( G_m \frac{\partial P}{\partial y} \right) = \frac{\partial}{\partial x} \left( U_2 (R_2 - F_m) + U_1 F_m \right) + \\ & \frac{\partial}{\partial y} \left( V_2 (R_2 - F_m) + V_1 F_m \right) - U_2 \frac{\partial h}{\partial x} - V_2 \frac{\partial h}{\partial y} + W_2 - \left( \frac{\partial L_{mx}}{\partial x} + \frac{\partial L_{my}}{\partial y} \right) \end{split}$$

## Avec:

- $H_1$  et  $H_2$ : les hauteurs des surfaces  $S_1$  et  $S_2$ .
- $U_1$ ,  $V_1$  et  $W_1$ : les vitesses de  $S_1$  suivant les trois directions,
- $U_2$ ,  $V_2$  et  $W_2$ :: les vitesses de  $S_2$  suivant les trois directions,
- $R_2 = H_2$
- $\bullet F_m = \frac{1}{J_{m2}} \int_0^h \frac{F(\tau_e)}{\tau_e} z dz$
- $\bullet G_m = \int_0^h \frac{F(\tau_e)}{\tau_e} z_2 dz I_{m2} F_m$
- $\bullet L_{mx} = \int_{0}^{h} A \frac{d\tau_{xz}}{dt} z dz K_{mxz} F_{m}$
- $\bullet L_{my} = \int_{0}^{h} A \frac{d\tau_{xz}}{dt} z dz K_{my2} F_{m}$
- $\bullet I_{m_2} = \int_{0}^{H_2} \frac{F(\tau_e)}{\tau_e} z dz$
- $\bullet \quad K_{m_{x2}} = \int_{0}^{H_2} A \frac{d\tau_{xz}}{dt} dz$
- $\bullet K_{m_{y2}} = \int_{0}^{H_2} A \frac{d\tau_{yz}}{dt} dz$

# ANNEXE 3 : EXPRESSION DES COEFFICIENTS HOMOGENEISES DE L'EQUATION DE REYNOLDS NON-NEWTONIEN

On part de l'expression de :

$$\tau_e = \tau_{e0} + \varepsilon \tau_{e1}$$

 $\frac{F\left(\tau_{e}\right)}{\tau_{e}}$  que l'on développe :

$$\frac{F\left(\tau_{e}\right)}{\tau_{e}} = \frac{F\left(\tau_{e0} + \varepsilon \tau_{e1}\right)}{\tau_{e0} + \varepsilon \tau_{e1}}$$

D'après le développement de TAYLOR, on a :

$$\begin{cases} F\left(\tau_{e0} + \varepsilon \tau_{e1}\right) = F\left(\tau_{e0}\right) + \varepsilon \tau_{e1} F'\left(\tau_{e0}\right) + \dots \\ \frac{1}{\left(\tau_{e0} + \varepsilon \tau_{e1}\right)} = \frac{1}{\tau_{e0}} \left(1 - \varepsilon \frac{\tau_{e1}}{\tau_{e0}}\right) + \dots \end{cases}$$

D'où:

$$\frac{F\left(\tau_{e}\right)}{\tau_{e}} = \frac{F\left(\tau_{e0}\right)}{\tau_{e0}} + \varepsilon \left(\frac{\tau_{e1}}{\tau_{e0}}F'\left(\tau_{e0}\right) - \frac{\tau_{e1}}{\tau_{e0}^{2}}F\left(\tau_{e0}\right)\right)$$

On pose:

$$\begin{cases} f_0\left(\tau_e\right) = \frac{F\left(\tau_{e0}\right)}{\tau_{e0}} \\ f_1\left(\tau_e\right) = \frac{\tau_{e1}}{\tau_{e0}} F'\left(\tau_{e0}\right) - \frac{\tau_{e1}}{\tau_{e0}^2} F\left(\tau_{e0}\right) \end{cases}$$

On cherche maintenant les expressions de  $I_m$  et  $J_m$  que l'on exprimera sous la forme:

$$\begin{cases} \boldsymbol{I}_{m} = \boldsymbol{I}_{m0} + \varepsilon \boldsymbol{I}_{m1} + \dots \\ \boldsymbol{J}_{m} = \boldsymbol{J}_{m0} + \varepsilon \boldsymbol{J}_{m1} + \dots \end{cases}$$

En utilisant l'expression de  $\frac{F(\tau_e)}{\tau_e}$ , on trouve :

$$\begin{cases} I_{m} = \int\limits_{0}^{z} \frac{F\left(\tau_{e}\right)}{\tau_{e}} s ds = \int\limits_{0}^{z} f_{0}\left(\tau_{e}\right) s ds + \varepsilon \int\limits_{0}^{z} f_{1}\left(\tau_{e}\right) s ds + \dots \\ J_{m} = \int\limits_{0}^{z} \frac{F\left(\tau_{e}\right)}{\tau_{e}} ds = \int\limits_{0}^{z} f_{0}\left(\tau_{e}\right) ds + \varepsilon \int\limits_{0}^{z} f_{1}\left(\tau_{e}\right) ds + \dots \end{cases}$$

D'où:

$$\begin{cases} I_{m0} = \int_{0}^{z} f_{0}(\tau_{e}) s ds & \text{et } I_{m1} = \int_{0}^{z} f_{1}(\tau_{e}) s ds \\ J_{m0} = \int_{0}^{z} f_{0}(\tau_{e}) ds & \text{et } J_{m1} = \int_{0}^{z} f_{1}(\tau_{e}) ds \end{cases}$$

Cherchons  $F_m$ :

$$F_{m} = \frac{1}{J_{m2}} \int_{0}^{h} \frac{F(\tau_{e})}{\tau_{e}} z dz$$

Sachant que:

$$J_{m2} = J_{m20} + \varepsilon J_{m21} + \dots$$

Alors  $F_m$  devient:

$$F_{m} = \frac{1}{J_{m20}} \left( 1 - \varepsilon \frac{J_{m21}}{J_{m20}} \right) \left( \int_{0}^{z} f_{0}\left(\tau_{e}\right) ds + \varepsilon \int_{0}^{z} f_{1}\left(\tau_{e}\right) ds \right) + \dots$$

Ecrivons  $F_m$  sous la forme :

$$F_{m} = F_{m0} + \varepsilon F_{m1} + \dots$$

Alors:

$$F_{m0} = \frac{1}{J_{m20}} \int_{0}^{h} f_{0}(\tau_{e}) s ds \quad \text{et} \quad F_{m1} = \frac{J_{m21}}{J_{m20}^{2}} \int_{0}^{z} f_{0}(\tau_{e}) s ds$$

De la même manière on calcule :

$$\begin{cases} G_{m} = G_{m0} + \varepsilon G_{m1} + \dots \\ K_{mx2} = K_{mx20} + \varepsilon K_{mx21} + \dots \\ K_{my2} = K_{my20} + \varepsilon K_{my21} + \dots \\ L_{mx} = L_{mx0} + \varepsilon L_{mx1} + \dots \\ L_{my} = L_{my0} + \varepsilon L_{my1} + \dots \end{cases}$$

Avec:

$$I_{m2} = I_{m20} + \varepsilon I_{m21} + \dots$$

$$\bullet G_{m0} = \int_{0}^{h} \frac{F(\tau_{e0})}{\tau_{e0}} z^{2} dz - I_{m20} F_{m0}$$

$$\bullet \qquad L_{mx0} = \int_{0}^{h} A \frac{d\tau_{xz0}}{dt} z dz - K_{mx20} F_{m0}$$

• 
$$L_{my0} = \int_{0}^{h} A \frac{d\tau_{yz0}}{dt} z dz - K_{my20} F_{m0}$$

$$\bullet I_{m20} = \int_{0}^{h} \frac{F(\tau_{e0})}{\tau_{e0}} z dz$$

$$\bullet K_{mx20} = \int_{0}^{h} A \frac{d\tau_{xz0}}{dt} dz$$

$$\bullet K_{my20} = \int_{0}^{h} A \frac{d\tau_{yz0}}{dt} dz$$

Passons au calcul des expressions de  $\tau_e$  ,  $\frac{d\tau_{xz}}{dt}$  et  $\frac{d\tau_{yz}}{dt}$  .

On part des expressions suivantes :

$$\begin{cases} \tau_{xz} = \frac{\partial P}{\partial x} \left( z - \frac{I_{m2}}{J_{m2}} \right) + \frac{U - K_{mx2}}{J_{m2}} \\ \tau_{yz} = \frac{\partial P}{\partial y} \left( z - \frac{I_{m2}}{J_{m2}} \right) - \frac{K_{my2}}{J_{m2}} \end{cases}$$

En remplaçant chaque terme par son équivalent homogénéisé et en les écrivant sous la forme :

$$\begin{cases} \tau_{xz} = \tau_{xz0} + \varepsilon \tau_{xz1} + \dots \\ \tau_{yz} = \tau_{yz0} + \varepsilon \tau_{yz1} + \dots \end{cases}$$

on obtient:

$$\begin{cases} \tau_{xz0} = \frac{\partial P_0}{\partial x_1} \left( z - \frac{I_{m20}}{J_{m20}} \right) + \frac{U - K_{mx20}}{J_{m20}} + \frac{\partial P_1}{\partial y_1} \left( z - \frac{I_{m20}}{J_{m20}} \right) \\ \tau_{yz0} = \frac{\partial P_0}{\partial x_2} \left( z - \frac{I_{m20}}{J_{m20}} \right) - \frac{K_{mx20}}{J_{m20}} + \frac{\partial P_1}{\partial y_2} \left( z - \frac{I_{m20}}{J_{m20}} \right) \\ \tau_{xz1} = \left( \frac{\partial P_0}{\partial x_1} + \frac{\partial P_1}{\partial y_1} \right) \left( \frac{J_{m21}I_{m20}}{J_{m20}^2} - \frac{I_{m21}}{J_{m20}} \right) + \frac{J_{m21}}{J_{m20}} \left( \frac{U - K_{mx20}}{J_{m20}} \right) + \frac{\partial P_1}{\partial x_1} \left( z - \frac{I_{m20}}{J_{m20}} \right) - \frac{K_{mx20}}{J_{m20}} \\ \tau_{yz1} = \left( \frac{\partial P_0}{\partial x_2} + \frac{\partial P_1}{\partial y_2} \right) \left( \frac{J_{m21}I_{m20}}{J_{m20}^2} - \frac{I_{m21}}{J_{m20}} \right) - \frac{K_{mx20}}{J_{m20}} \frac{J_{m21}}{J_{m20}} + \frac{\partial P_1}{\partial x_2} \left( z - \frac{I_{m20}}{J_{m20}} \right) - \frac{K_{mx20}}{J_{m20}} \right) \end{cases}$$

De la même façon pour les vitesses,

$$\begin{cases} u = \frac{\partial P}{\partial x} \left( I_m - J_m \frac{I_{m2}}{J_{m2}} \right) + J_m \left( \frac{U - K_{mx2}}{J_{m2}} \right) + K_{mx} \\ v = \frac{\partial P}{\partial y} \left( I_m - J_m \frac{I_{m2}}{J_{m2}} \right) - J_m \left( \frac{K_{mx2}}{J_{m2}} \right) + K_{my} \end{cases}$$

On se retrouve avec:

$$\begin{cases} u_{0} = \left(\frac{\partial P_{0}}{\partial x_{1}} + \frac{\partial P_{1}}{\partial y_{1}}\right) \left(I_{m0} - \frac{J_{m0}I_{m20}}{J_{m20}}\right) + \left(U - K_{mx20}\right) \frac{J_{m0}}{J_{m20}} + K_{mx0} \\ v_{0} = \left(\frac{\partial P_{0}}{\partial x_{2}} + \frac{\partial P_{1}}{\partial y_{2}}\right) \left(I_{m0} - \frac{J_{m0}I_{m20}}{J_{m20}}\right) + \left(U - K_{my20}\right) \frac{J_{m0}}{J_{m20}} + K_{my0} \end{cases}$$

$$\begin{cases} u_{1} = \frac{\partial P_{1}}{\partial x_{1}} I_{m0} + \left(\frac{\partial P_{0}}{\partial x_{1}} + \frac{\partial P_{1}}{\partial y_{1}}\right) \left(I_{m1} + \frac{J_{m0} I_{m20} J_{m21}}{J_{m20}^{2}} - \frac{J_{m0} I_{m21}}{J_{m20}} - \frac{J_{m1} I_{m20}}{J_{m20}}\right) + \\ \left(U - K_{mx20}\right) \left(\frac{J_{m1}}{J_{m20}} - \frac{J_{m0} I_{m20}}{J_{m20}^{2}}\right) - K_{mx21} \frac{J_{m0}}{J_{m20}} + K_{mx1} \\ v_{1} = \frac{\partial P_{1}}{\partial x_{2}} I_{m0} + \left(\frac{\partial P_{0}}{\partial x_{2}} + \frac{\partial P_{1}}{\partial y_{2}}\right) \left(I_{m1} + \frac{J_{m0} I_{m20} J_{m21}}{J_{m20}^{2}} - \frac{J_{m0} I_{m21}}{J_{m20}} - \frac{J_{m1} I_{m20}}{J_{m20}}\right) - \\ K_{my20} \left(\frac{J_{m1}}{J_{m20}} - \frac{J_{m0} I_{m20}}{J_{m20}^{2}}\right) - K_{my21} \frac{J_{m0}}{J_{m20}} + K_{my1} \end{cases}$$

On peut donc calculer la dérivée temporelle des contraintes de cisaillement :

$$\begin{cases} \frac{d\tau_{xz}}{dt} = \left\{ \frac{d\tau_{xz}}{dt} \right\}_{0} + \varepsilon \left\{ \frac{d\tau_{xz}}{dt} \right\}_{1} + \dots \\ \frac{d\tau_{yz}}{dt} = \left\{ \frac{d\tau_{yz}}{dt} \right\}_{0} + \varepsilon \left\{ \frac{d\tau_{yz}}{dt} \right\}_{1} + \dots \end{cases}$$

Avec:

$$\begin{cases} \left\{ \frac{d\tau_{xz}}{dt} \right\}_{0}^{2} = u_{0} \left( \frac{\partial \tau_{xz0}}{\partial x_{1}} + \frac{\partial \tau_{xz1}}{\partial y_{1}} \right) + v_{0} \left( \frac{\partial \tau_{xz0}}{\partial x_{2}} + \frac{\partial \tau_{xz1}}{\partial y_{2}} \right) + w_{0} \left( \frac{\partial \tau_{xz0}}{\partial x_{3}} + \frac{\partial \tau_{xz1}}{\partial y_{3}} \right) \\ \left\{ \frac{d\tau_{yz}}{dt} \right\}_{0}^{2} = u_{0} \left( \frac{\partial \tau_{yz0}}{\partial x_{2}} + \frac{\partial \tau_{yz1}}{\partial y_{2}} \right) + v_{0} \left( \frac{\partial \tau_{yz0}}{\partial x_{1}} + \frac{\partial \tau_{yz1}}{\partial y_{1}} \right) + w_{0} \left( \frac{\partial \tau_{yz0}}{\partial x_{3}} + \frac{\partial \tau_{yz1}}{\partial y_{3}} \right) \\ \left\{ \frac{d\tau_{xz}}{dt} \right\}_{1}^{2} = u_{0} \frac{\partial \tau_{xz1}}{\partial x_{1}} + v_{0} \frac{\partial \tau_{xz1}}{\partial x_{2}} + w_{0} \frac{\partial \tau_{xz1}}{\partial x_{3}} \\ + u_{1} \left( \frac{\partial \tau_{xz0}}{\partial x_{1}} + \frac{\partial \tau_{xz1}}{\partial y_{1}} \right) + v_{1} \left( \frac{\partial \tau_{xz0}}{\partial x_{2}} + \frac{\partial \tau_{xz1}}{\partial y_{2}} \right) + w_{1} \left( \frac{\partial \tau_{xz0}}{\partial x_{3}} + \frac{\partial \tau_{xz1}}{\partial y_{3}} \right) \\ \left\{ \frac{d\tau_{yz}}{dt} \right\}_{1}^{2} = u_{0} \frac{\partial \tau_{yz1}}{\partial x_{1}} + v_{0} \frac{\partial \tau_{yz1}}{\partial x_{2}} + w_{0} \frac{\partial \tau_{yz1}}{\partial x_{3}} \\ + u_{1} \left( \frac{\partial \tau_{yz0}}{\partial x_{1}} + \frac{\partial \tau_{yz1}}{\partial x_{1}} \right) + v_{1} \left( \frac{\partial \tau_{yz0}}{\partial x_{2}} + \frac{\partial \tau_{yz1}}{\partial x_{2}} \right) + w_{1} \left( \frac{\partial \tau_{yz0}}{\partial x_{3}} + \frac{\partial \tau_{yz1}}{\partial y_{3}} \right) \end{cases}$$

Pour le calcul de la contrainte équivalent, on a :

$$\tau_e = \sqrt{\tau_{xz}^2 + \tau_{yz}^2}$$

que l'on écrit sous la forme suivante :

$$\tau_a = \tau_{a0} + \varepsilon \tau_{a1} + \dots$$

En remplaçant les deux contraintes de cisaillement par leur expressions homogénéisées, on obtient :

$$\tau_{e0} = \sqrt{\tau_{xz0}^2 + \tau_{yz0}^2}$$

### ANNEXE 4: LES RESULTATS DU MODELE VISCOPLASTIQUE

L'influence de l'orientation des rugosités sur les caractéristiques du contact est examinée. Cinq de ces orientations seront étudiées, en partant des rugosités transversales jusqu'aux rugosités longitudinales :

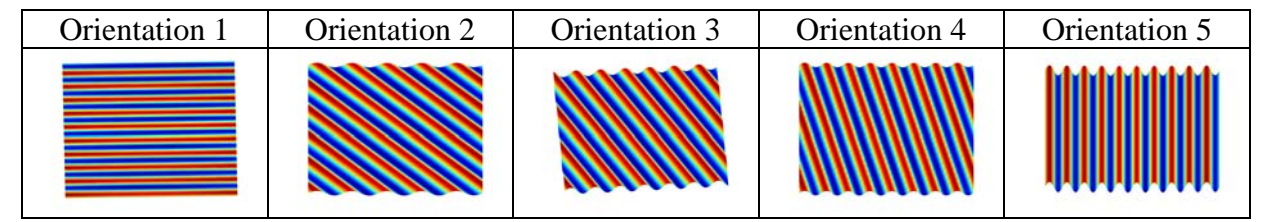


Tableau 42: Orientations étudiées.

L'expression de la contrainte limite utilisée dans ces calcul est :

$$\tau_L(Pa) = 100 * \mu \times h_{\min} \times t_r \times 2 \times \pi \times R$$

Les résultats homogénéisés seront comparés aux résultats des calculs classiques pour réaliser une analyse directe. Les paramètres comme l'orientation des rugosités, le nombre des rugosités, l'amplitude des rugosité et le module de cisaillement du fluide entre autres varieront afin de quantifier leurs influences respectives. Les données communes à tous les calculs sont :

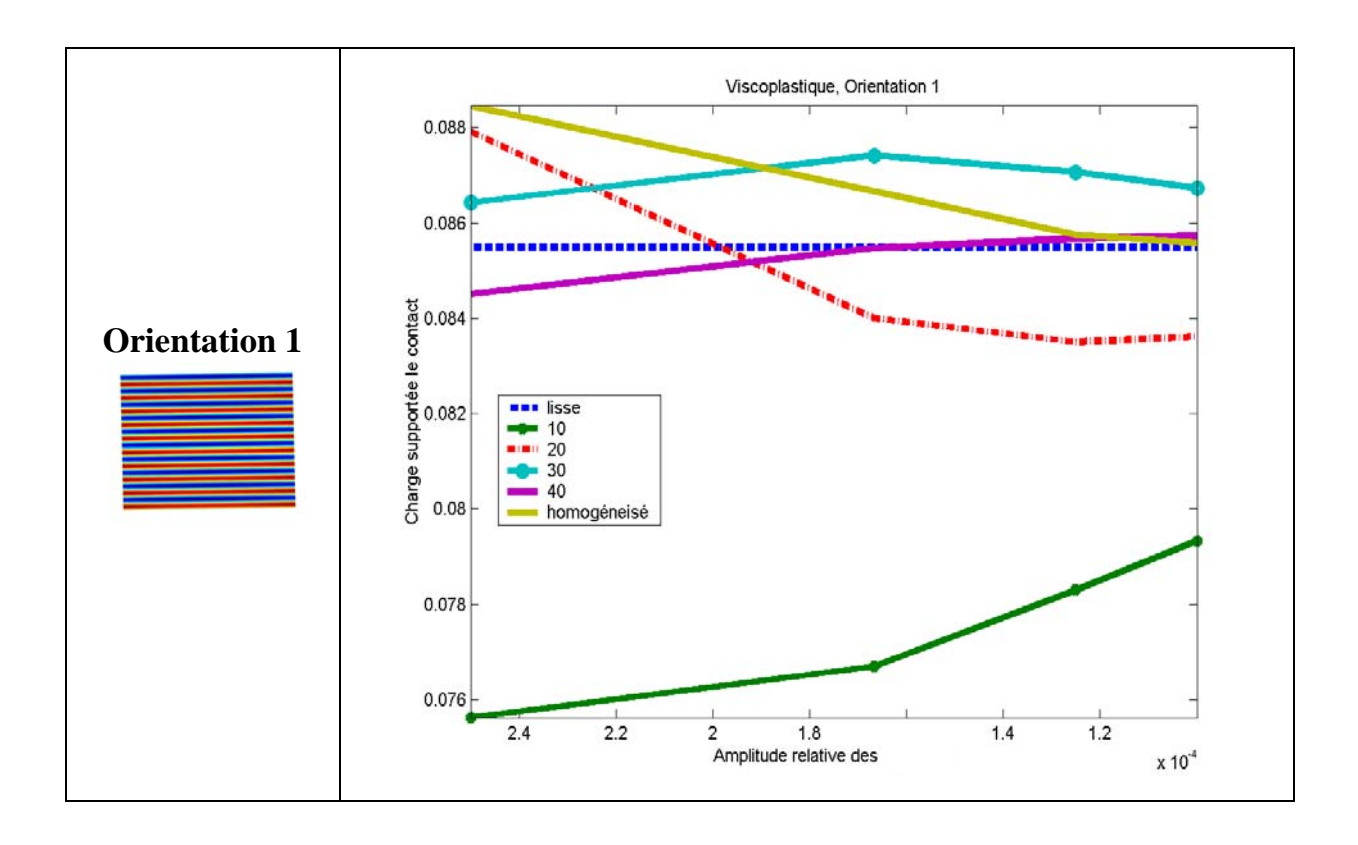
- $h_{\min}(m) = 1E-5$
- $\bullet \quad \mu(Pa.s) = 0.05$
- R(m) = 80E-3

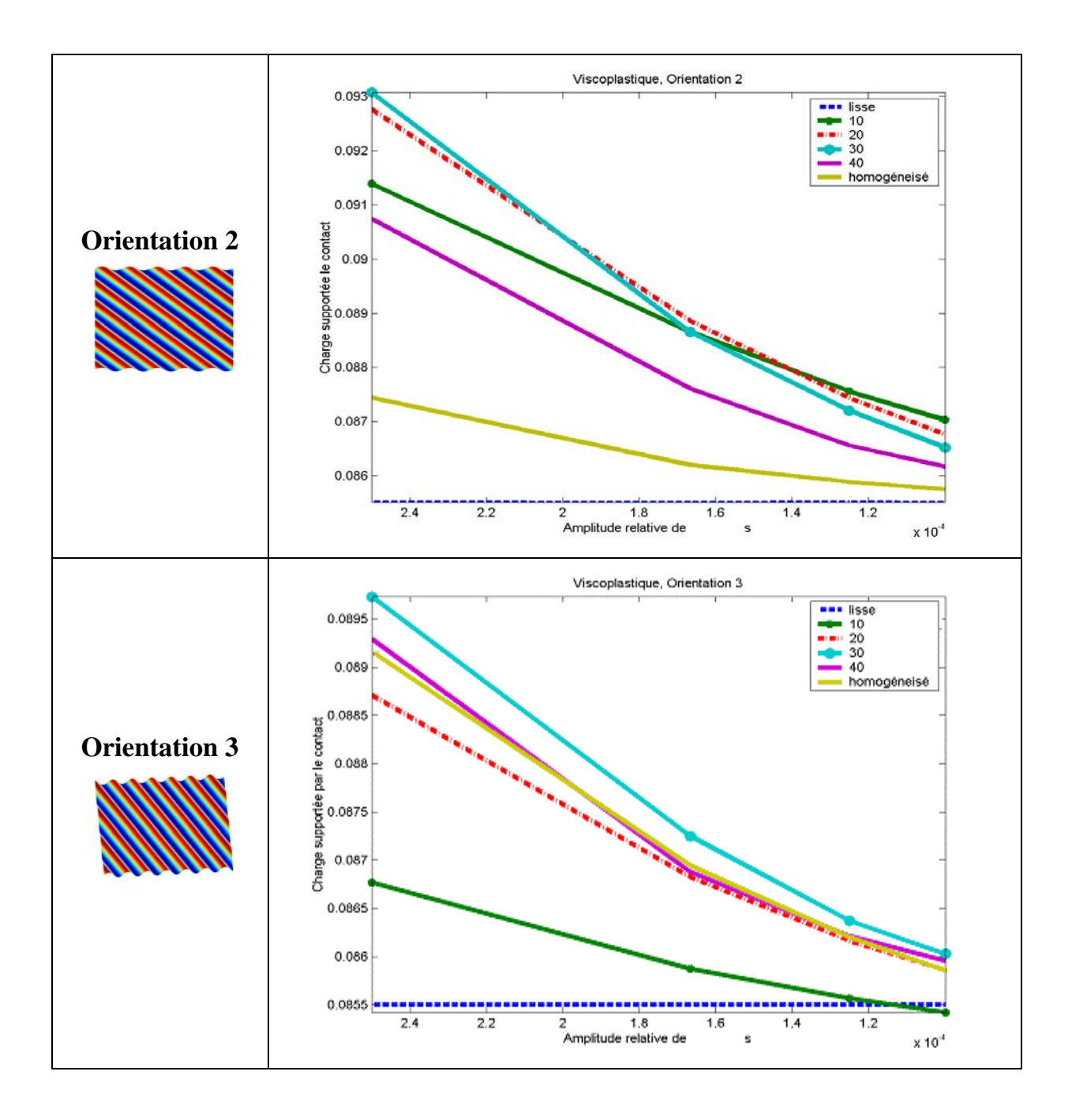
$$\frac{L}{D} = 1$$

$$t_r / mn = 3000$$

• l'amplitude des rugosités est exprimée en microns.

## I CHARGE SUPPORTÉE PAR LE CONTACT





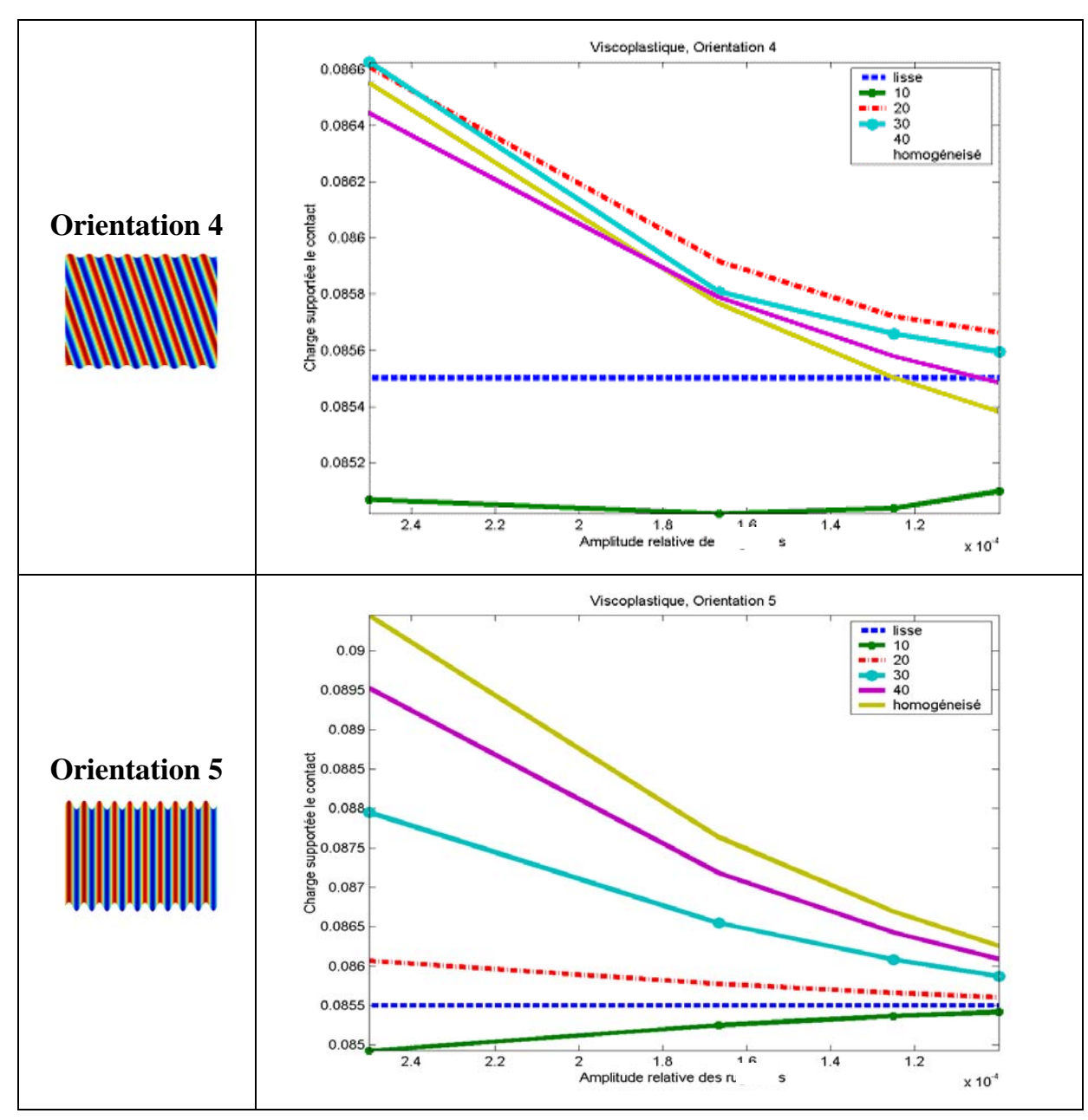
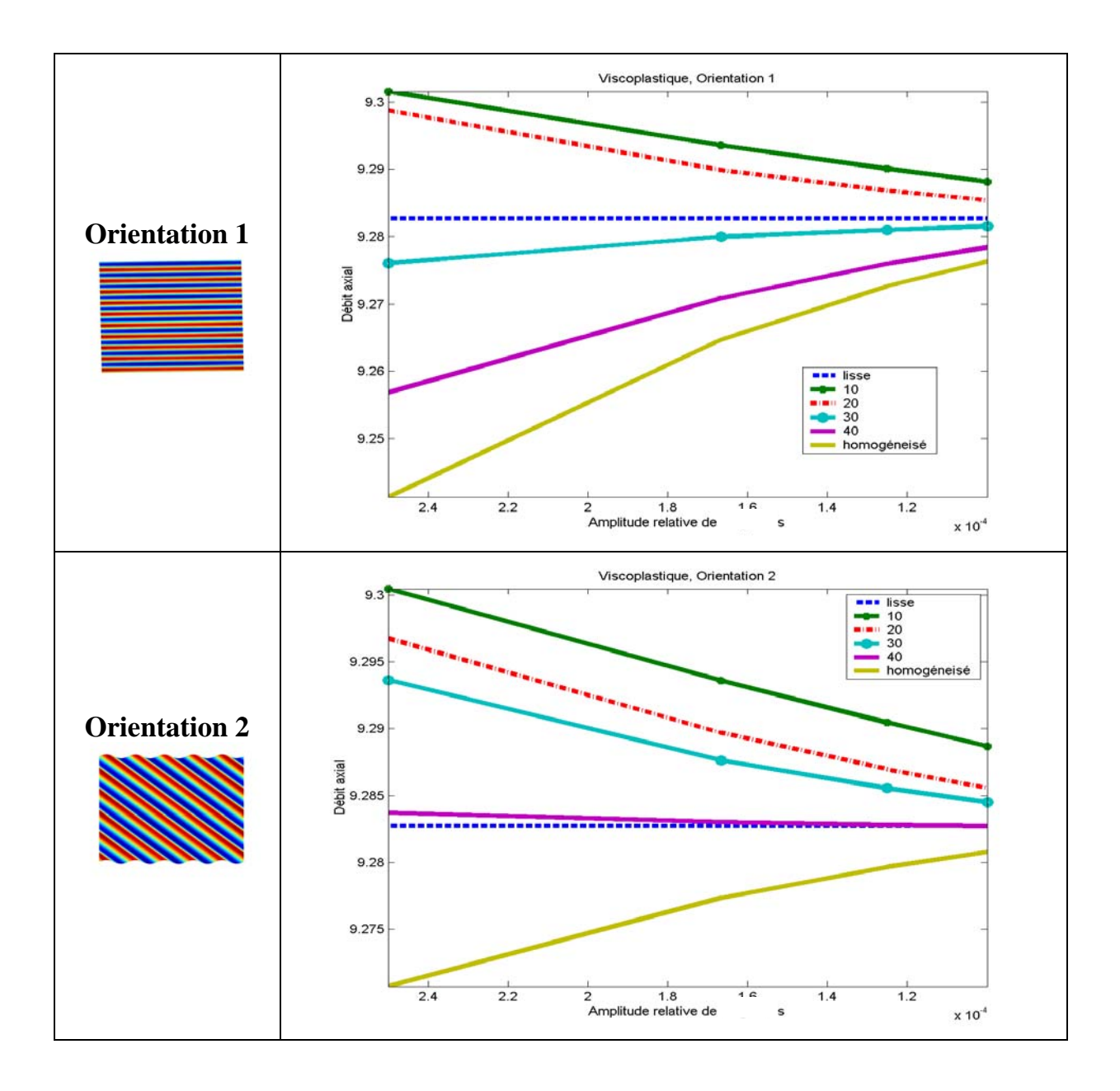
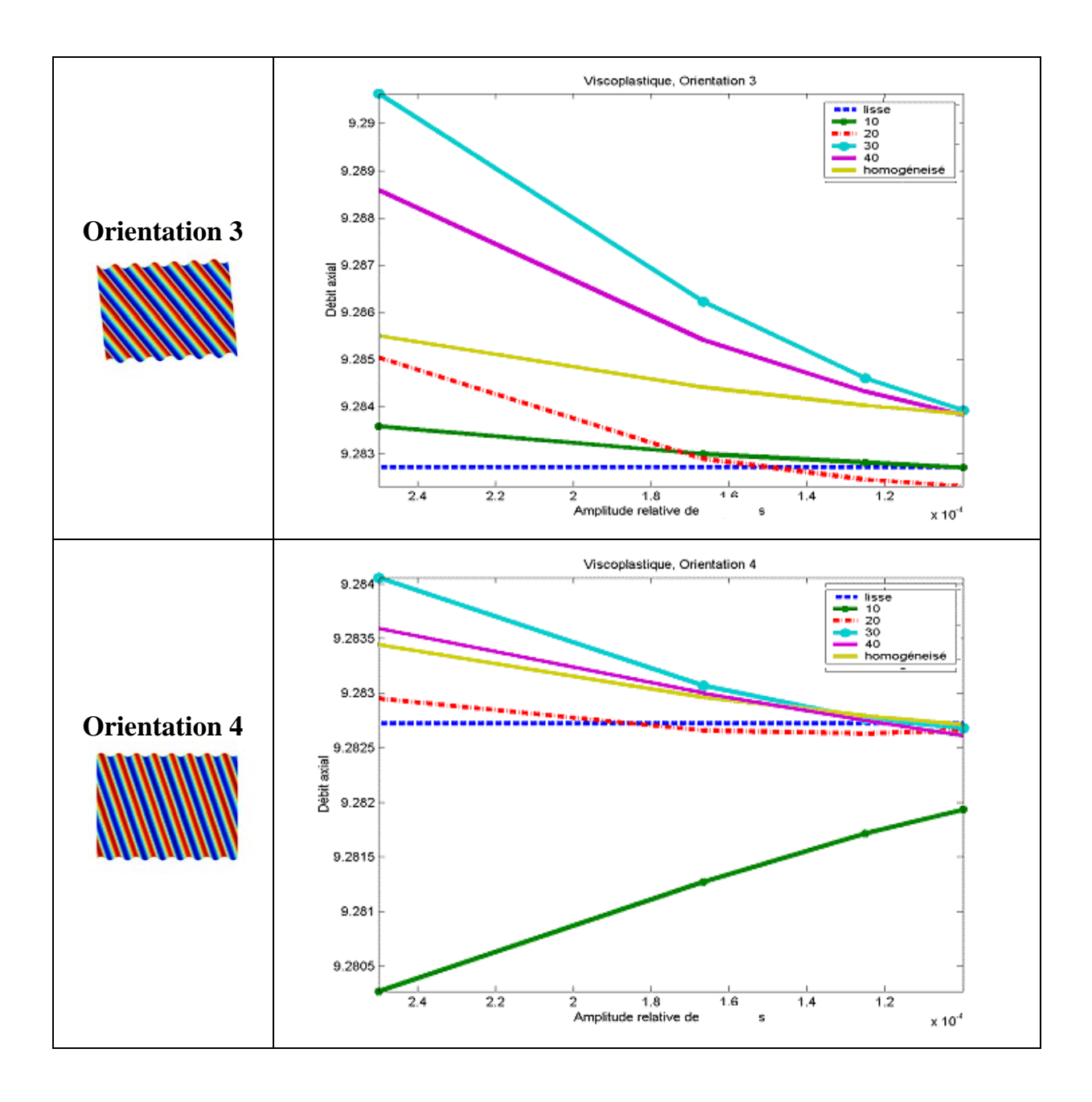


Tableau 43: Variation de la charge, modèle viscoplastique.

# II DÉBIT AXIAL





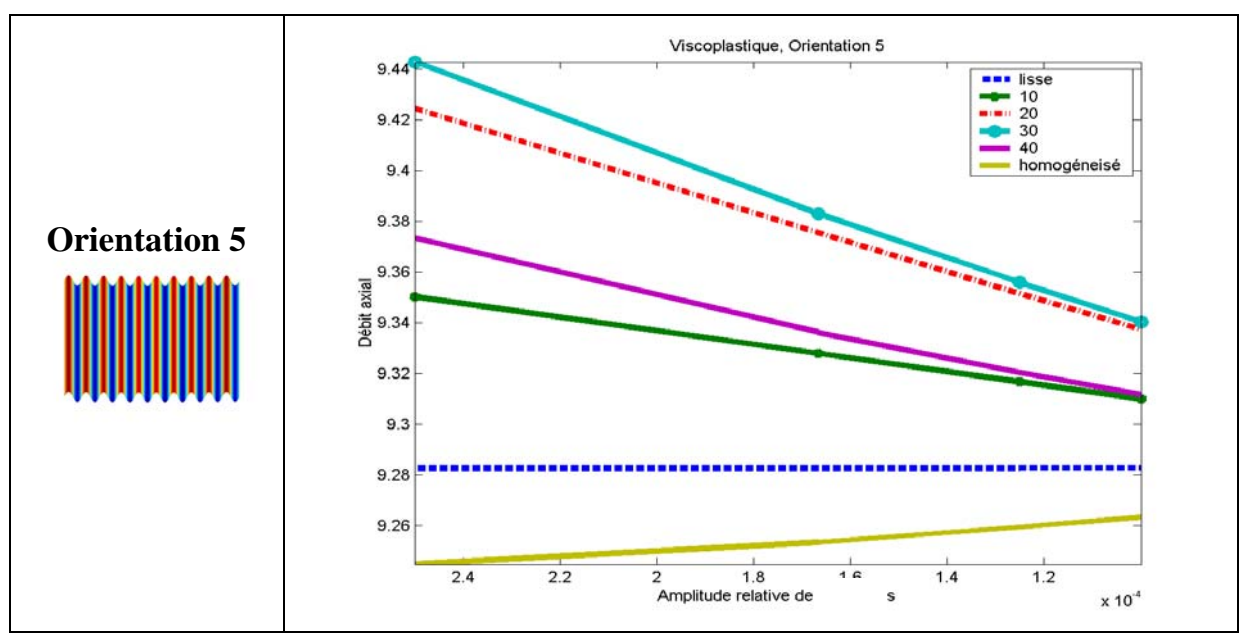
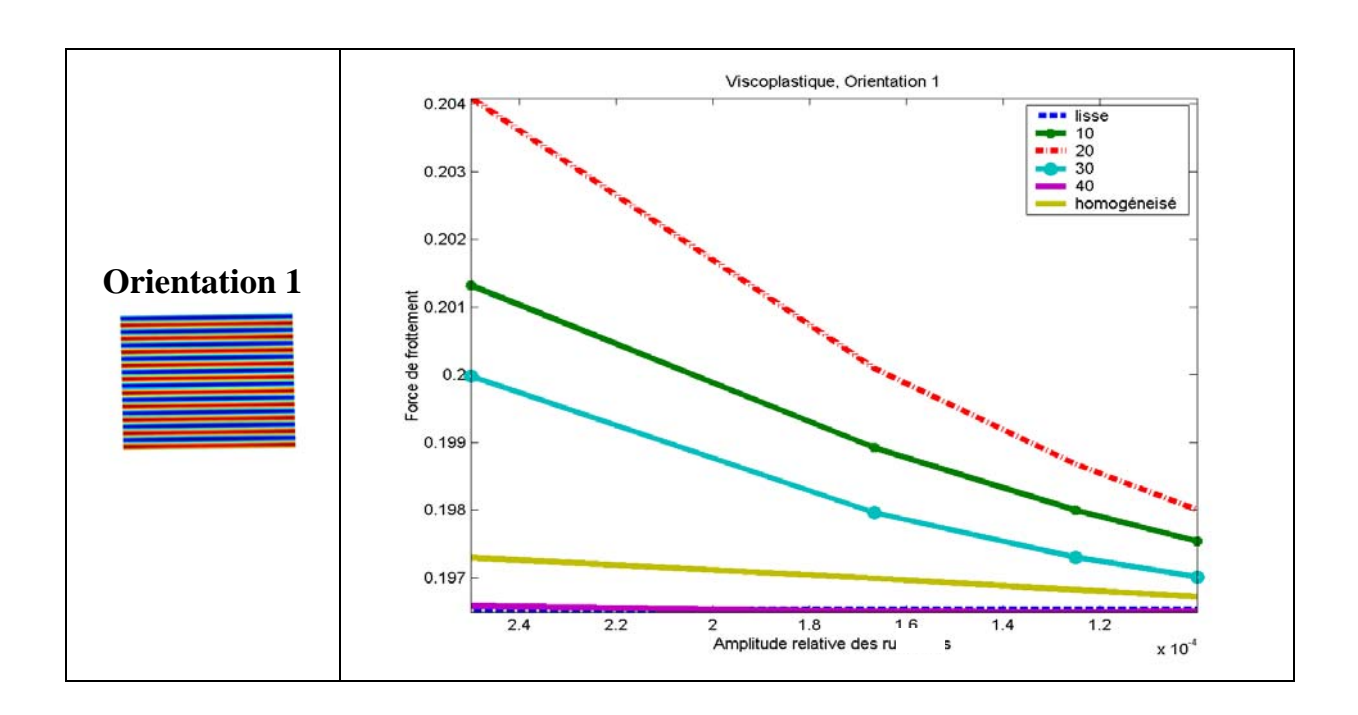
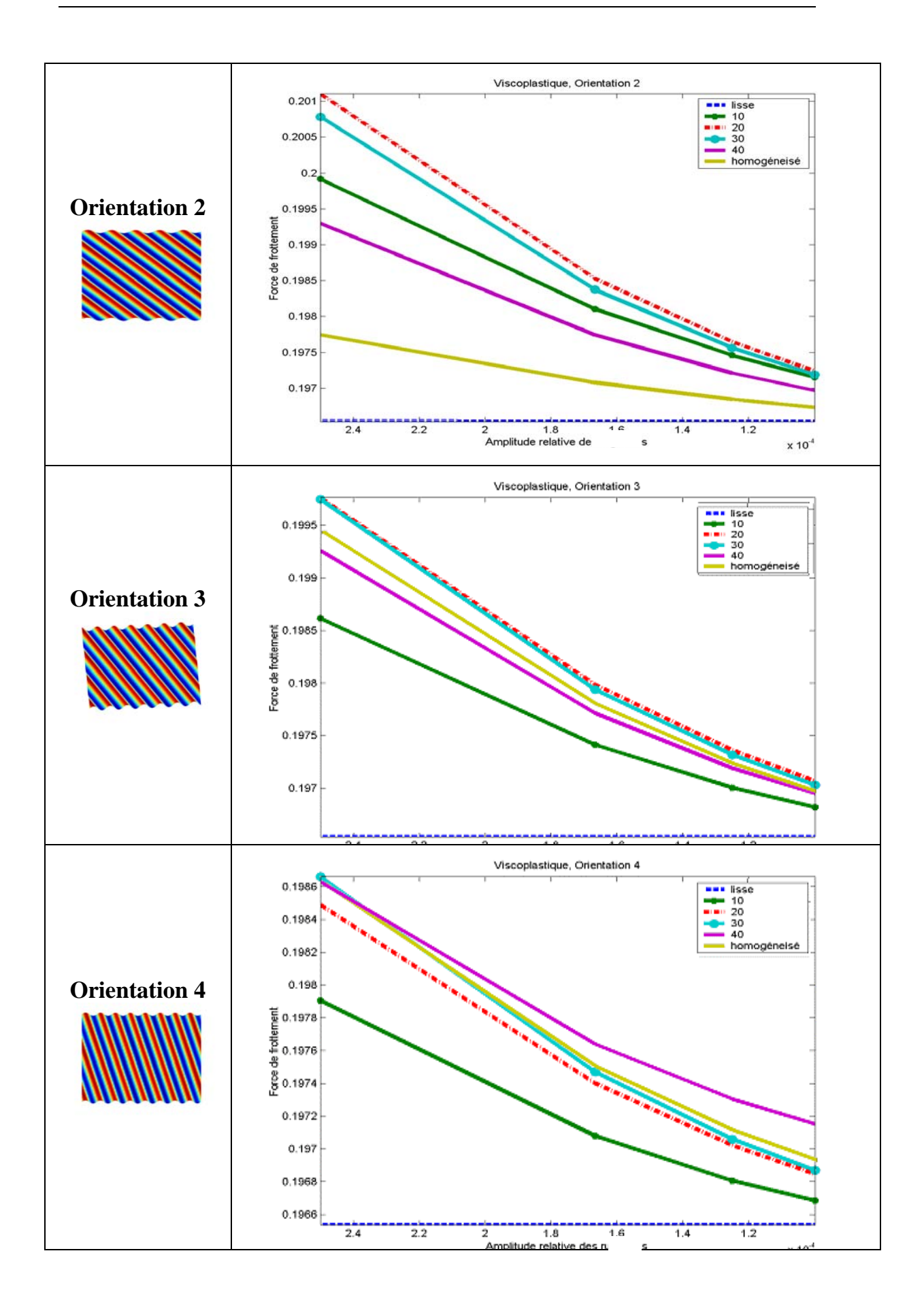


Tableau 44: Variation du débit, modèle viscoplastique.

### III FORCE DE FROTTEMENT





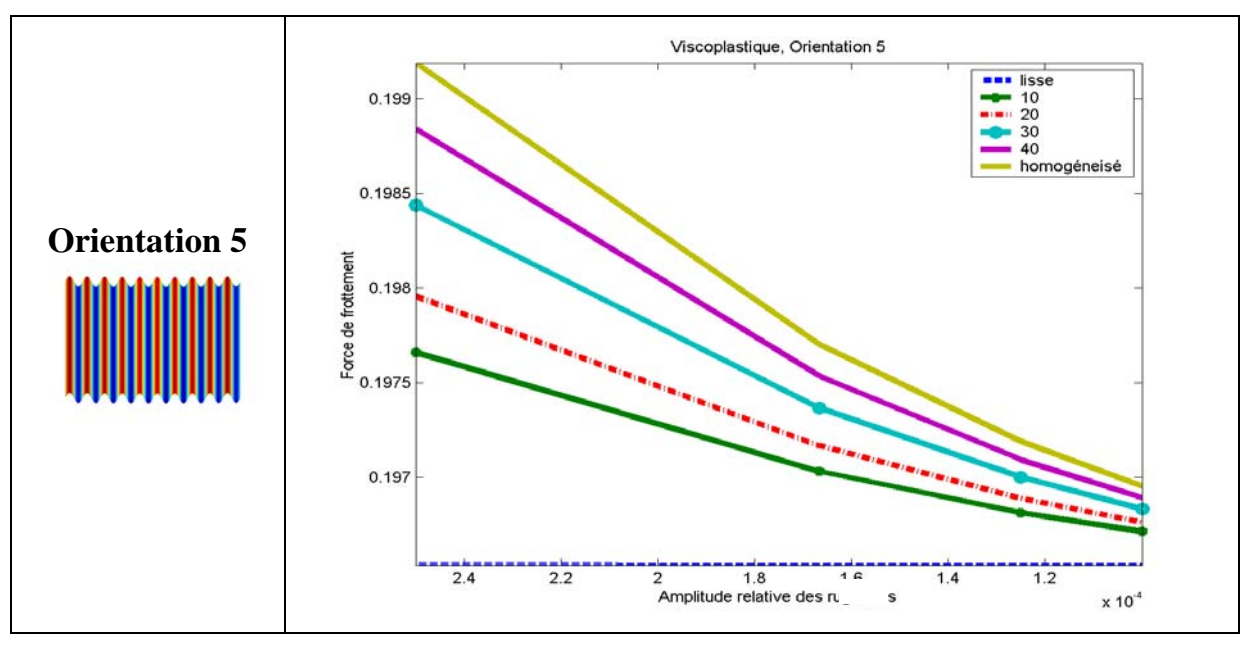
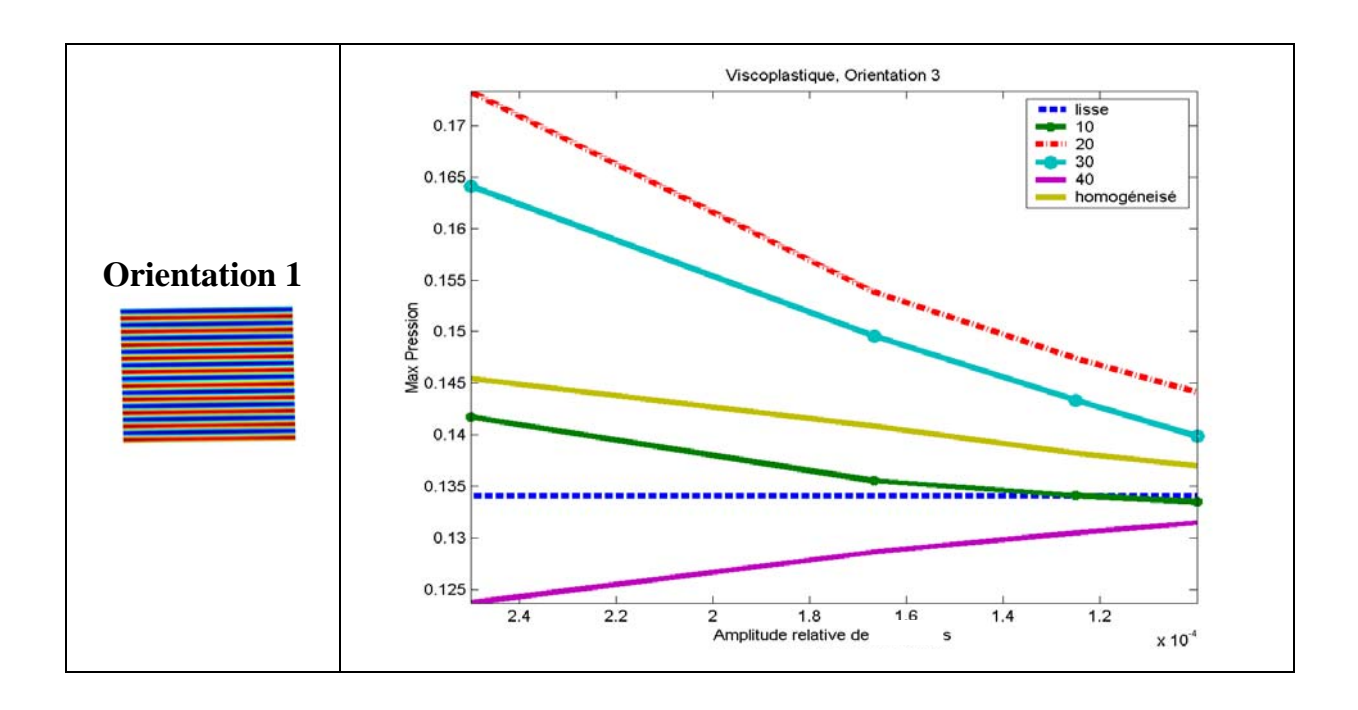
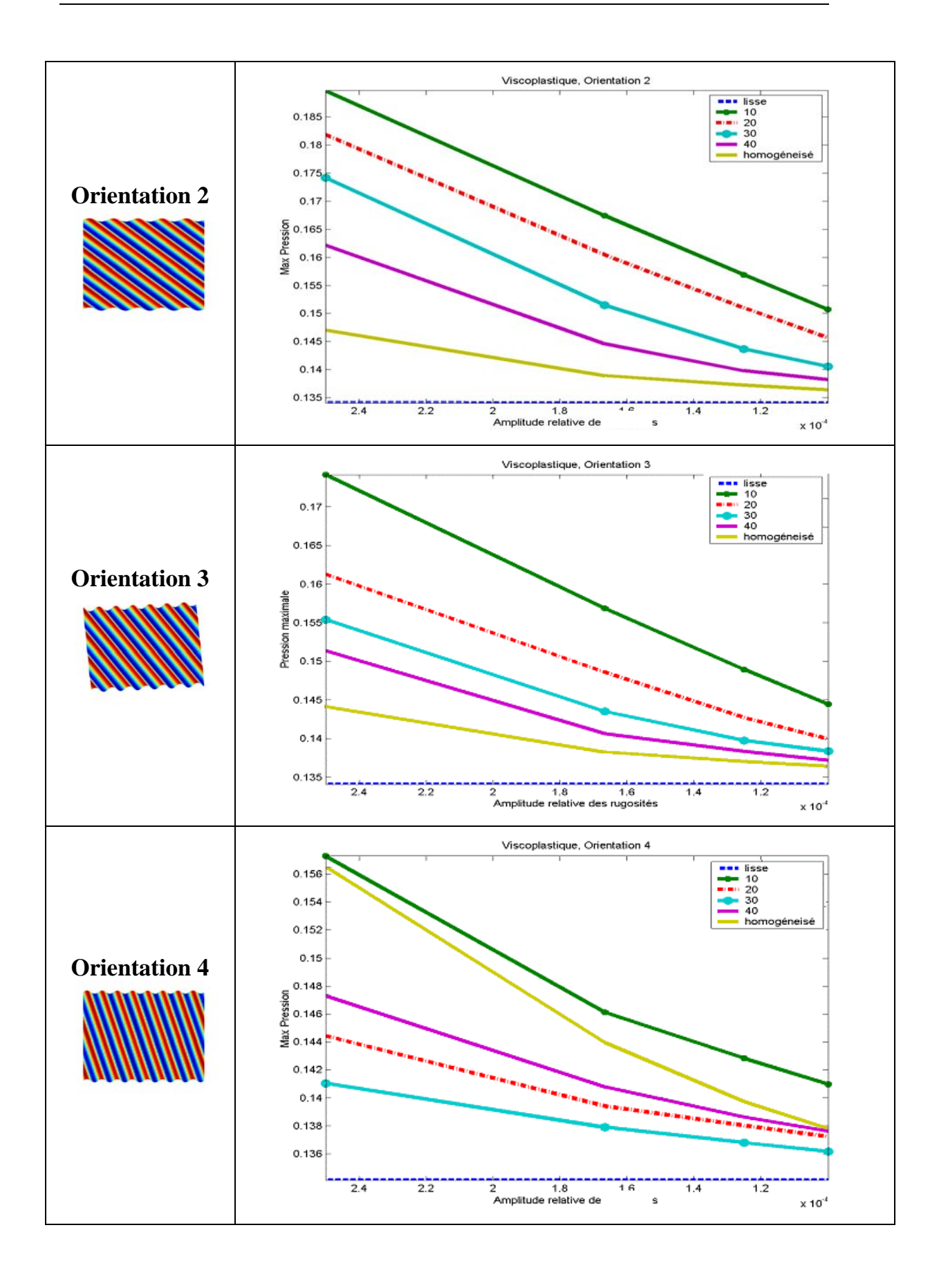


Tableau 45: Variation de la force de frottement, modèle viscoplastique.

## IV MAXIMUM DE PRESSION





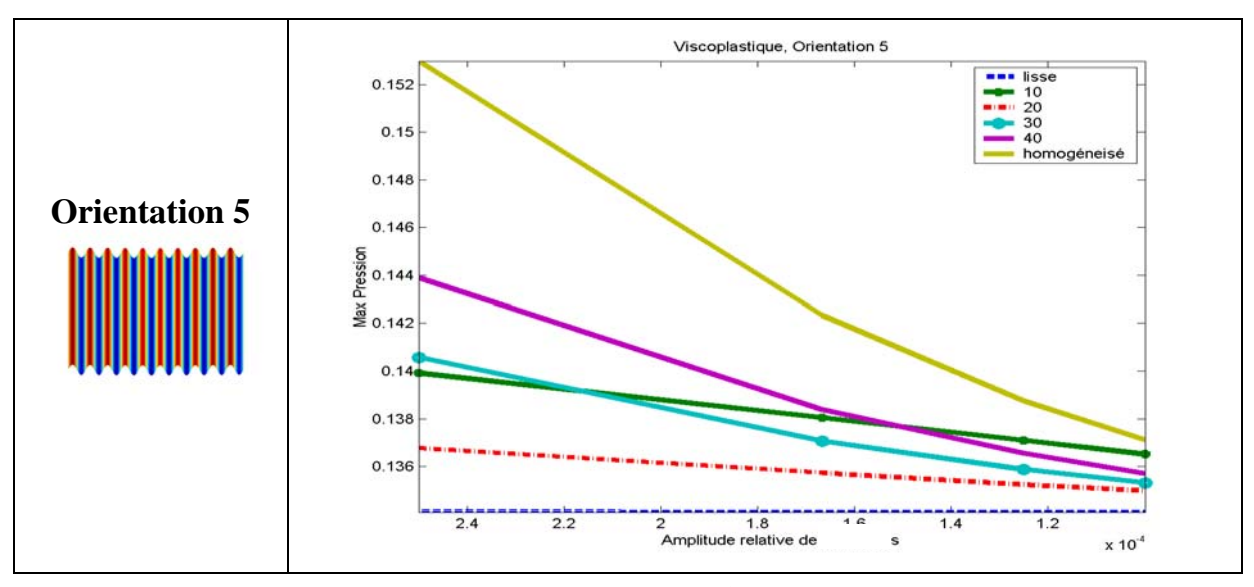


Tableau 46: Variation de la pression, modèle viscoplastique.

### V ANALYSE ET CONCLUSION

Pour les données choisies les résultats diffèrent peu du cas viscoélastique. Néanmoins ceci nous a permis de valider le cas d'une loi de comportement viscoplastique. Dans tous les cas de figure et pour toutes les caractéristiques calculées ici (charge, débit, force de frottement ainsi que le maximum de pression) la solution obtenue d'une manière directe converge vers la solution homogénéisée. Le caractère limitatif de la contrainte limite a peu d'influence sur les résultats.

#### FOLIO ADMINISTRATIF

#### THESE SOUTENUE DEVANT L'INSTITUT NATIONAL DES SCIENCES APPLIQUEES DE LYON

NOM: KANE DATE de SOUTENANCE: 10 Mars 2003

(avec précision du nom de jeune fille, le cas échéant)

Prénoms : Malal

TITRE:

Contribution à l'étude de l'influence de la rugosité et des effets non-newtoniens dans les contact sévères lubrifiés.

NATURE : Doctorat Numéro d'ordre : 03ISAL0008

Formation doctorale : MEGA

Cote B.I.U. - Lyon: T 50/210/19 / et bis CLASSE:

#### RESUME:

L'étude entreprise dans cette thèse vise à mettre en place un nouveau modèle composé d'une partie analytique et d'une partie numérique utilisant de nouvelles techniques d'analyse dite d'homogénéisation et pouvant prendre en compte la géométrie locale et un comportement non Newtonien des fluides. Les diverses simulations numériques que nous avons effectuées ont permis de valider les équations homogénéisées que nous avons établies ainsi que les modèles numériques mis en œuvre. Le logiciel développé permet de traiter avec rigueur n'importe quel type de rugosité ( quelconque, anisotrope ou quelconques ) et des lois de comportement de fluide de type Maxwell ( visqueux, viscoélastique, voscoélastoplastique ).

MOTS-CLES: rugosité, fluide non-Newtonien, homogénéisation

Laboratoire (s) de recherches :LamCos Directeur de thèse: Benyebka Bou-Saïd

Président de jury :

Composition du jury :

BOU-SAÏD Benyebka Maître de conférences HDR INSA de Lyon Directeur de thèse

DALMAZ GérardProfesseurINSA de LyonFLAMAND LouisProfesseurINSA de LyonJAÏ MohamedMaître de conférencesINSA de Lyon

NAJJI Brahim Professeur ENIM de Rabat Rapporteur

VILLECHAISE Bernard Professeur IUT d'Angoulème Rapporteur